



รายงานผลการวิจัย

เรื่อง การศึกษาผลของสภาวะเครียดที่มีต่อการสังเคราะห์แอนโกลไซยานินในข้าวและยาสูบที่มีการแสดงออกของยีนสร้างแอนโกลไซยานิน

Study on Effects of Stress on Anthocyanin Biosynthesis in Transgenic Rice and Tobacco Expressing a Gene for Production of Anthocyanin Pigment

ได้รับการจัดสรรงบประมาณวิจัย ประจำปี 2555
จำนวน 250,000 บาท

หัวหน้าโครงการ นางสาวช่อพิพา สกุลสิงหาโรจน์

ผู้ร่วมโครงการ
นายศรีเมฆ ชาวโพงพาง
นางสาวแสงทอง พงษ์เจริญกิต
นางสาววรารภณ์ แสงทอง

งานวิจัยเสริจสิ้นสมบูรณ์

27 ธันวาคม 2556

กิตติกรรมประกาศ

ขอขอบพระคุณสำนักวิจัยและส่งเสริมวิชาการการเกษตร มหาวิทยาลัยแม่โจ้ ที่ได้ให้
ทุนอุดหนุนการวิจัยแก่คณาจารย์ ในการปีงบประมาณ 2555 ขอขอบพระคุณ Professor Dr. Thomas W.
Okita จาก Institute of Biological Chemistry, Washington State University ประเทศสหรัฐอเมริกา
ที่ให้ความอนุเคราะห์เชื่อมโยงแบบที่เรียน และ binary vector และขอขอบพระคุณ ดร.เจษฎาพร
พิทักษ์สุธิพงศ์ จากศูนย์พันธุวิศวกรรมและเทคโนโลยีชีวภาพแห่งชาติ สำหรับการเป็นที่ปรึกษา
โครงการวิจัยที่ให้คำแนะนำเป็นอย่างดี

ขอขอบพระคุณสาขาวิชาพันธุศาสตร์ คณะวิทยาศาสตร์ มหาวิทยาลัยแม่โจ้ ที่ให้การ
สนับสนุนด้านสถานที่และเครื่องมือสำหรับการทำวิจัยเป็นอย่างดี และขอขอบพระคุณศูนย์
เทคโนโลยีชีวภาพ มหาวิทยาลัยแม่โจ้ สำหรับการให้ใช้บริการ โรงเรือนกระจาดสำหรับปลูกพืช

นอกจากนี้ขอขอบคุณนางสาวพัชราภา หมื่นภิรมย์ นางสาวนิฤตยา กาดีวงศ์ และนายวิษณุ
แก้วการ ไร นักศึกษาปริญญาตรี สาขาวิชาพัชราภา (พีชพัก) คณะผลิตกรรมการเกษตร มหาวิทยาลัย
แม่โจ้ นางสาวพุนทรี อินดี้ และนางสาวรออยพิมพ์ สุขเก嗔 นักศึกษาปริญญาโท สาขาวิชาพันธุ
ศาสตร์ คณะวิทยาศาสตร์ มหาวิทยาลัยแม่โจ้ ที่มีส่วนสำคัญทำให้งานวิจัยนี้สำเร็จลุล่วงไปได้

คณาจารย์

มีนาคม 2556

สารบัญ

สารบัญตาราง	๑
สารบัญภาพ	๑
บทคัดย่อ	๒
Abstract	๔
คำนำ	๔
วัตถุประสงค์ของการวิจัย	๔
ประโยชน์ที่คาดว่าจะได้รับ	๕
ตรวจสอบสาร	๖
อุปกรณ์และวิธีการ	๒๒
ผลการวิจัยและวิจารณ์ผล	๓๔
สรุปผลการวิจัย	๖๑
เอกสารอ้างอิง	๖๕

สารบัญตาราง

	หน้า
ตารางที่ 1	ยืนที่ตรวจสอบการแสดงออกในต้นยาสูบ, Product size และ Annealing temperature ในการทำ PCR 31
ตารางที่ 2	ยืนที่ตรวจสอบการแสดงออกในข้าว, Product size และ Annealing temperature ในการทำ PCR 32
ตารางที่ 3	ปริมาณแอนโอลไซดานินโดยเฉลี่ยในต้น WT และต้น TR เพาะเลี้ยงบนอาหารสูตร MS ที่ระดับความเข้มข้นของในต่อเจนต่างๆ 38
ตารางที่ 4	ปริมาณแอนโอลไซดานินที่สกัดจากต้น WT และ TR ที่เพาะเลี้ยงบนอาหารสูตร MS ที่มีความเข้มข้นของน้ำตาลซึ่งโครงสร้างตับต่างๆ โดยการวัดค่าดูดกลืนแสง (A_{530} และ A_{657}) 43
ตารางที่ 5	ค่าเฉลี่ยปริมาณแอนโอลไซดานินที่สะสมในต้นยาสูบ WT และ TR ที่เพาะเลี้ยงบนอาหารที่มีความเข้มข้นของฟอสฟอรัสระดับต่าง ๆ 49

สารบัญภาพ

	หน้า
ภาพที่ 1 ลักษณะของต้นและราก ของข้าวเจ้าหมอนิล (ก.) และลักษณะเมล็ดข้าว (ข.)	8
ภาพที่ 2 กระบวนการสังเคราะห์ฟลาโวนอยด์	10
ภาพที่ 3 ลักษณะของต้นข้าวเหนียวดำ และเมล็ด	10
ภาพที่ 4 ตัวอย่างโครงสร้างและโมเลกุลของสารกลุ่มฟลาโวนอยด์ (Flavonoids)	12
ภาพที่ 5 รูปภาพทั่วไปของต้นยาสูบ	15
ภาพที่ 6 วิธีการสังเคราะห์สารแอนโทไซยานิน	16
ภาพที่ 7 เปรียบเทียบการเจริญเติบโตของต้น WT และต้น TR เพาะเลี้ยงบนอาหารสูตร MS ปกติ (MS-1) เป็นเวลา 2 สัปดาห์ และ 4 สัปดาห์	34
ภาพที่ 8 การเจริญเติบโตของต้น WT และ ต้น TR เพาะเลี้ยงในขวดอาหารสภาวะเครียดที่มีความเข้มข้นของไนโตรเจนแตกต่างกัน (MS-1, MS-2, MS-3 และ MS-4) เป็นเวลา 3 สัปดาห์	35
ภาพที่ 9 ต้น WT และต้น TR ก่อนการสกัดอาร์อีนเอ และสกัดแอนโทไซยานิน เพาะเลี้ยงบนอาหารสูตร MS-1 เป็นเวลา 4 สัปดาห์ และย้ายต้นอ่อนไปเพาะเลี้ยงในขวดอาหารสูตร MS ที่มีความเข้มข้นในไนโตรเจนแตกต่างกัน (MS-1, MS-2, MS-3 และ MS-4) เป็นเวลา 3 สัปดาห์ (Scale bar = 1 เซนติเมตร)	36
ภาพที่ 10 ผลการสกัดแอนโทไซยานินจากต้น WT และต้น TR เพาะเลี้ยงบนอาหารสูตร MS ปกติ เป็นเวลา 4 สัปดาห์ และย้ายต้นอ่อนไปเพาะเลี้ยงในขวดอาหารสูตร MS ที่มีความเข้มข้นในไนโตรเจนแตกต่างกัน (MS-1, MS-2, MS-3 และ MS-4) เป็นเวลา 3 สัปดาห์	37
ภาพที่ 11 ปริมาณแอนโทไซยานินจากต้นยาสูบ TR เพาะเลี้ยงบนอาหารสูตร MS เป็นเวลา 4 สัปดาห์ และย้ายไปเพาะเลี้ยงในขวดอาหารสูตร MS ที่มีความเข้มข้นในไนโตรเจนแตกต่างกัน (MS-1, MS-2, MS-3 และ MS-4) เป็นเวลา 3 สัปดาห์	39
ภาพที่ 12 ผลการตรวจสอบการแสดงออกของยีน <i>pal1</i> , <i>CHS</i> , <i>CHI</i> , <i>F3H</i> , <i>F3'H</i> , <i>DFR</i> และ <i>ANS</i> โดยเทคนิค Semi-quantitative RT-PCR ของต้น WT และต้น TR เพาะเลี้ยงบนอาหารสูตร MS ปกติ เป็นเวลา 4 สัปดาห์ และย้ายต้นอ่อนไปเพาะเลี้ยงในขวดอาหารสูตร MS ที่มีความเข้มข้นในไนโตรเจนแตกต่างกัน (MS-1, MS-2, MS-3 และ MS-4)	40

หน้า	
ภาพที่ 13 การเจริญเติบโตของต้น WT และ TR อายุ 2 สัปดาห์ และ 4 สัปดาห์ ที่เพาะเลี้ยงบนอาหารสูตร MS ปกติ	41
ภาพที่ 14 ต้น WT และต้น TR เพาะเลี้ยงบนอาหารสูตร MS ที่มีความเข้มข้นของน้ำตาลซูโคโรสระดับต่างๆ เป็นเวลา 2 สัปดาห์	42
ภาพที่ 15 ลักษณะสีของแอนโกลไซยานินที่สกัดจากต้น WT และต้น TR ที่เพาะเลี้ยงบนอาหารสูตร MS ที่มีความเข้มข้นของน้ำตาลซูโคโรสระดับต่างๆ	43
ภาพที่ 16 ค่าเฉลี่ยของปริมาณแอนโกลไซยานินของต้น WT และต้น TR ที่เพาะเลี้ยงบนอาหารสูตร MS ที่มีน้ำตาลซูโคโรสความเข้มข้นต่างๆ	44
ภาพที่ 17 ต้น WT และต้น TR ที่ใช้ในการสกัดอาร์เอ็นเอ อายุ 6 สัปดาห์ เพาะเลี้ยงบนอาหารสูตร MS 4 สัปดาห์และขยายเพาะเลี้ยงในขวด 2 สัปดาห์ ที่อาหารสูตร MS ความเข้มข้นของน้ำตาลซูโคโรสระดับต่างๆ	45
ภาพที่ 18 การวิเคราะห์การแสดงออกของยีนที่เกี่ยวข้องในการสังเคราะห์แอนโกลไซยานิน โดยเทคนิค semi-quantitative RT-PCR ในต้นยาสูบ WT และต้น TR ที่เพาะเลี้ยงบนอาหารที่มีความเข้มข้นของน้ำตาลซูโคโรสระดับต่างๆ	46
ภาพที่ 19 ต้นยาสูบ WT และ TR อายุ 4 สัปดาห์ ที่เพาะเลี้ยงบนอาหารสูตร MS ปกติ	47
ภาพที่ 20 การแสดงออกของสีแดงในต้นและใบของต้นยาสูบ WT และ TR อายุ 4 สัปดาห์ เมื่อเพาะเลี้ยงบนอาหาร MS	47
ภาพที่ 21 การแสดงออกของสีแดงของต้นและใบของต้นยาสูบ WT และ TR อายุ 6 สัปดาห์ ที่เพาะเลี้ยงบนอาหารที่มีความเข้มข้นของฟอสฟอรัสระดับต่างๆ ที่นำไปสกัดและวัดปริมาณแอนโกลไซยานิน (bar เท่ากับ 1 cm)	48
ภาพที่ 22 ความเข้มของสีที่ได้จากการสกัดแอนโกลไซยานินจากต้นยาสูบ WT และ TR ที่เพาะเลี้ยงบนอาหารที่มีความเข้มข้นของฟอสฟอรัสระดับต่างๆ (การทดลองทำ 3 ช้ำ ช้ำละ 1 ต้น)	49
ภาพที่ 23 ปริมาณแอนโกลไซยานินที่สะสมของต้นยาสูบ WT และ TR ที่เพาะเลี้ยงบนอาหารที่มีความเข้มข้นของฟอสฟอรัสระดับต่างๆ	50
ภาพที่ 24 ผลการตรวจสอบการแสดงออกของยีนต่างๆ โดยเทคนิค Semi – quantitative RT – PCR ของต้นยาสูบ WT และ TR ที่เพาะเลี้ยงบนอาหารที่มีความเข้มข้นของฟอสฟอรัสระดับต่างๆ คือ K-1 (0 mM), K-2 (0.625 mM) และ K-3 (1.25 mM)	51

หน้า
ภาพที่ 25 การเจริญเติบโตของต้น WT และต้น TR เพาะเลี้ยงเมล็ดข้าวบนอาหารสูตร MS เป็นเวลา 2 สัปดาห์ 52
ภาพที่ 26 การเจริญเติบโตของต้น WT และ ต้น TR เมื่อเริ่มเพาะเลี้ยงในขวดอาหารสภาวะ เครียดที่มีความเข้มข้นของไนโตรเจนแตกต่างกัน (MS-1, MS-2, MS-3 และ MS 53
ภาพที่ 27 เปรียบเทียบการเจริญเติบโตของต้น WT และ ต้น TR เพาะเลี้ยงในขวดอาหาร สภาวะเครียดที่มีความเข้มข้นของไนโตรเจนแตกต่างกัน (MS-1, MS-2, MS-3 และ MS-4) เป็นเวลา 3 สัปดาห์ 53
ภาพที่ 28 ผลการตรวจสอบการแสดงออกของยีน <i>pap1</i> , <i>CHS</i> , <i>CHI</i> , <i>DFR</i> และ <i>ANS</i> โดย เทคนิค semi-quantitative RT-PCR ของต้น WT และต้น TR เพาะเลี้ยงต้นอ่อนอายุ 2 สัปดาห์ บนอาหารสูตร MS ที่มีความเข้มข้นของไนโตรเจนแตกต่างกัน (MS-1, MS-2, MS-3 และ MS-4) เป็นเวลา 3 สัปดาห์ 55
ภาพที่ 29 การเจริญเติบโตของต้น WT และ TR เมื่อเริ่มเพาะเลี้ยงบนอาหารสูตร MS ที่มี ความเข้มข้นของน้ำตาลซูโครสระดับต่างๆ 56
ภาพที่ 30 ต้น WT และต้น TR เพาะเลี้ยงบนอาหารสูตร MS ที่มีความเข้มข้นของน้ำตาล ซูโครสระดับต่างๆ เป็นเวลา 3 สัปดาห์ 56
ภาพที่ 31 การวิเคราะห์การแสดงออกของยีนที่เกี่ยวข้องในการสังเคราะห์เอนไซมานิ โดยเทคนิค semi-quantitative RT-PCR ในต้นข้าว WT และต้น TR ที่เพาะเลี้ยงบน อาหารที่มีความเข้มข้นของน้ำตาลซูโครสระดับต่างๆ 57
ภาพที่ 32 การเจริญเติบโตของต้น WT และ TR เมื่อเริ่มเพาะเลี้ยงบนอาหารสูตร MS ที่มี ความเข้มข้นของฟอสฟอรัสระดับต่างๆ 58
ภาพที่ 33 ต้น WT และต้น TR เพาะเลี้ยงบนอาหารสูตร MS ที่มีความเข้มข้นของฟอสฟอรัส ระดับต่างๆ เป็นเวลา 3 สัปดาห์ 59
ภาพที่ 34 ผลการตรวจสอบการแสดงออกของยีนต่าง ๆ โดยเทคนิค semi – quantitative RT – PCR ของต้นข้าว WT และ TR ที่เพาะเลี้ยงบนอาหารที่มีความเข้มข้นของ ฟอสฟอรัสระดับต่าง ๆ คือ K-1(0 mM), K-2 (0.625 mM) และ K-3 (1.25 mM) 60

การศึกษาผลของสภาวะเครียดที่มีต่อการสังเคราะห์แอนโกลิไซดานินในข้าวและยาสูบที่มี

การแสดงออกของยีนสร้างแอนโกลิไซดานิน

Study on Effects of Stress on Anthocyanin Biosynthesis in Transgenic Rice and Tobacco Expressing a Gene for Production of Anthocyanin Pigment

ชอตพิพา สกุลสิงหารoj¹, ศรีเมฆ ชาวโพงพาง² และทอง พงษ์เจริญกิต¹

และ วรารภณ์ แสงทอง แสงทอง¹

Chotipa Sakulsingharoj¹, Srimek Chowpongpan², Saengtong Pongjaroenkit¹
and Varaporn Sangtong¹

¹สาขาวิชาพันธุศาสตร์ คณะวิทยาศาสตร์ มหาวิทยาลัยแม่โจ้ จ.เชียงใหม่ 50290

²ภาควิชาโรคพืช คณะเกษตร มหาวิทยาลัยเกษตรศาสตร์ บางเขน กทม. 10900

บทคัดย่อ

ยีน *pap1* (production of anthocyanin pigment) เป็นยีนสร้าง MYB transcription factor ที่ควบคุมการสังเคราะห์แอนโกลิไซดานินในต้น *Arabidopsis* ในรายงานวิจัยก่อนหน้านี้คณาจารย์จิรัชย์ ใจดีได้ทำการถ่ายยีน *pap1* เข้าสู่ยาสูบและข้าวและพบว่าทำให้ต้นยาสูบดัดแปลงพันธุกรรมสามารถสังเคราะห์แอนโกลิไซดานินและเกิดต้นสีแดง แต่ข้าวดัดแปลงพันธุกรรมไม่เกิดสีแดง ในงานวิจัยนี้ได้ศึกษาผลของสภาวะเครียดจากสารอาหาร ในต้นยาสูบและข้าวดัดแปลงพันธุกรรมที่มียีน *pap1* โดยเพาะเลี้ยงต้นอ่อนของยาสูบและข้าวดัดแปลงพันธุกรรมบนอาหารที่มีระดับของสารอาหาร ในตอรเจน ซูโคโรส และฟอสฟอรัสต่าง ๆ กัน สังเกตพีโน ไทป์ของต้นพืช วิเคราะห์ปริมาณแอนโกลิไซดานินโดยวัดค่าการดูดกลืนแสง และตรวจสอบการแสดงออกของยีน *pap1* และยีน โครงสร้างที่เกี่ยวข้องในการสังเคราะห์แอนโกลิไซดานิน ได้แก่ ยีน *CHS, CHI, F3H, F3'H, DFR* และ *ANS* ด้วยเทคนิค semi-quantitative RT-PCR พบว่า ต้นยาสูบดัดแปลงพันธุกรรมที่เพาะเลี้ยงบนอาหารที่ไม่มีในตอรเจน หรือมีน้ำตาลซูโคโรสสูง หรือไม่มีฟอสฟอรัส พบว่า มีลักษณะใบสีแดงเข้มที่สุด มี

ปริมาณแอนโทไซยานินมากที่สุด และมีการแสดงออกของยีน โครงสร้าง คือ ยีน *CHS*, *CHI*, *F3H*, *DFR* และ *ANS* เพิ่มขึ้นมาก ดังนั้น ผลที่ได้จากการวิจัยนี้แสดงว่า สภาวะเครียดจากการขาดไนโตรเจน การเพิ่มขึ้นของน้ำตาลชูโกรส และการขาดฟอสฟอรัส มีผลต่อการขักนำให้มีการแสดงออกของยีน โครงสร้างซึ่งควบคุมโดยยีน *pap1* ในต้นยาสูบดัดแปลงพันธุกรรม ทำให้ส่งเสริมการสังเคราะห์แอนโทไซยานินในต้นยาสูบได้

ส่วนการทดลองในข้าวดัดแปลงพันธุกรรม พบว่า ในสภาวะเครียดที่ไม่มีไนโตรเจน หรือมีน้ำตาลชูโกรสมากขึ้น หรือไม่มีฟอสฟอรัส ต้นข้าวดัดแปลงพันธุกรรมไม่เกิดสีแดง และพบว่า รูปแบบการแสดงออกของยีน โครงสร้างต่าง ๆ ไม่แตกต่างจากต้น wild-type ซึ่งคาดว่ายีน *pap1* จากต้น *Arabidopsis* ซึ่งเป็นพืชใบเลี้ยงคู่ไม่สามารถไปกระตุ้นการแสดงออกของยีน โครงสร้างที่เกี่ยวข้องในการสังเคราะห์แอนโทไซยานินในข้าวซึ่งเป็นพืชใบเลี้ยงเดี่ยวได้ ถึงแม้ว่าจะอยู่ในสภาวะเครียดจากสารอาหารก็ตาม ส่งผลให้ต้นข้าวไม่เกิดการสังเคราะห์แอนโทไซยานิน

คำสำคัญ: ข้าว, ยาสูบ, ยีน *pap1*, แอนโทไซยานิน, ไนโตรเจน, ชูโกรส, ฟอสฟอรัส

Abstract

The *pap1* gene encodes MYB transcription factor which controls anthocyanin biosynthesis in *Arabidopsis* plants. In the previous report, we transformed *pap1* gene into tobacco and rice. It was previously found that transgenic tobacco plants accumulated anthocyanin pigments in all tissues; however, transgenic rice plants did not show anthocyanin pigmentation. In this study, effects of stress conditions due to the amounts of nitrogen, sucrose and phosphorus on induction of anthocyanin biosynthesis in transgenic tobacco and rice plants expressing *pap1* gene were investigated. The *pap1* tobacco and rice seedlings were cultured on different growth conditions with various contents of nitrogen, sucrose and phosphorus on MS media. The phenotypes of these plants were observed. The determination of anthocyanin contents by absorbance measurements and semi-quantitative RT-PCR analysis of expression of *pap1* gene and structural genes involved in anthocyanin biosynthesis including, *CHS*, *CHI*, *F3H*, *F3'H*, *DFR* and *ANS* were studied. The results showed that the *pap1* tobacco plants grown on the medium without nitrogen

or with high sucrose or without phosphorus contents produced the highest contents of anthocyanin which were consistent with the dark red leaves of these plants compared with invisible anthocyanin pigmentation in wild-type plants. The transcript levels of structural genes, *CHS*, *CHI*, *F3H*, *DFR* and *ANS*, in those tobacco plants were also increased. The results suggested that stress conditions due to nitrogen deficiency, increase in sucrose content and phosphorus deficiency resulted in induction of expression of the structural genes, probably mediated by *pap1* gene in transgenic plants, and also increased anthocyanin pigmentations in transgenic tobacco plants.

For *pap1* rice plants, the results showed that transgenic rice plants did not accumulate anthocyanin pigments under the stress conditions due to nitrogen deficiency, high sucrose content, or phosphorus deficiency. Transgenic rice plants showed expression patterns of structural genes at similar levels compared to those of wild-type plants. These results were probably due to *pap1* gene cloned from *Arabidopsis*, which is dicot, may not be able to activate structural genes in rice, which is monocot. These subsequently resulted in no anthocyanin biosynthesis in transgenic rice plants even though the plants were grown on the medium under stress conditions,

Keywords: rice, tobacco, *pap1* gene, anthocyanin, nitrogen, sucrose, phosphorus

คำนำ

แอนโทไชyanin คือ รงควัตถุที่สังเคราะห์โดย secondary metabolic pathway จากกรดอะมิโน phenylalanine ทำให้เกิดสีต่างๆ ในพืช คือกลุ่มสีน้ำเงิน สีม่วง และสีแดง แอนโทไชyanin มีบทบาทสำคัญต่อพืช เช่น ช่วยขับน้ำให้แมลงเข้ามาผสมเกสร, ช่วยป้องปื้นพืชจากรังสี UV และช่วยในการเคลื่อนย้ายฮอร์โมนพืช ในด้านสุขภาพแอนโทไชyanin ถือว่าเป็นสารต้านทานอนุមูลอิสระที่มีประสิทธิภาพสูง มีส่วนช่วยป้องกันและยับยั้งโรคต่างๆ เช่น โรคเกี่ยวกับการทำงานของหัวใจ การมองเห็น ระบบประสาทและสมอง ปักปื้นผิวนังจากรังสีบังชนิด ต้านทานการอักเสบ และที่สำคัญคือช่วยยับยั้งการเกิดมะเร็งชนิดต่างๆ ได้

ใน *pap1* (production of anthocyanin pigment 1) จากต้น *Arabidopsis* มีรหัสสร้างโปรตีน MYB transcription factor ซึ่งควบคุมการสังเคราะห์แอนโทไชyanin และยังมีผลทำให้ส่งเสริมการแสดงออกของยีนที่เกี่ยวข้องในกระบวนการของการสังเคราะห์แอนโทไชyanin มียีนที่เกี่ยวข้องหลายยีน เช่น *CHS*, *CHI*, *F3H*, *DFR* และ *ANS* สภาวะเครียดเป็นปัจจัยที่มีผลต่อการสังเคราะห์แอนโทไชyanin เช่น การขาดไนโตรเจน การขาดฟอสฟอรัส และการได้รับน้ำตามากขึ้น ส่งผลให้เกิดสภาวะเครียด ทำให้ยีน *pap1* มีการแสดงออกที่มาก ส่งเสริมการสังเคราะห์แอนโทไชyanin ให้เพิ่มขึ้น

ในงานวิจัยนี้ได้ทำการศึกษาผลของสภาวะเครียดจากการขาดสารอาหาร ในไนโตรเจนและฟอสฟอรัส และผลของการเพิ่มน้ำตาลซูโครสที่มีต่อการสังเคราะห์แอนโทไชyanin ในต้นยาสูบ และต้นข้าวคัดแปลงพันธุกรรมที่มียีน *pap1*

วัตถุประสงค์ของการวิจัย

เพื่อศึกษาผลของความเข้มข้นของไนโตรเจน น้ำตาลซูโครส และฟอสฟอรัสที่มีต่อการแสดงออกของยีน *pap1* ในต้นยาสูบและต้นข้าวคัดแปลงพันธุกรรม รวมทั้งศึกษาการแสดงออกของยีน โครงสร้างที่เกี่ยวข้องในการสังเคราะห์แอนโทไชyanin และปริมาณแอนโทไชyanin ในต้นยาสูบและต้นข้าวคัดแปลงพันธุกรรมที่เจริญในสภาวะเครียดจากการขาดดิบคล่อง

ประโยชน์ที่คาดว่าจะได้รับ

ได้ทราบปัจจัยสำคัญที่มีผลต่อการควบคุมและทำให้มีการเพิ่มการสังเคราะห์แอนโทไชyaninในยาสูบและข้าว เพื่อเป็นประโยชน์ต่อการเพิ่มการสังเคราะห์แอนโทไชyaninในพืชได้

การตรวจเอกสาร

ข้าว

ข้าวเป็นพืชอาหารที่สำคัญชนิดหนึ่งของโลก โดยเฉพาะประเทศไทยในภูมิภาคเอเชียที่นิยมรับประทานข้าวเป็นอาหารประจำวันมากกว่าในภูมิภาคอื่นๆ ของโลก การผลิต บริโภคและการค้าข้าวส่วนใหญ่จึงกระจุกตัวอยู่ในทวีปเอเชีย แต่ข้าวที่ผลิตได้ส่วนใหญ่จะใช้ในการบริโภคภายในประเทศ ทำให้มีข้าวเพียงร้อยละ 6 เท่านั้นที่เข้าสู่ตลาดการค้าข้าวระหว่างประเทศ โดยประเทศที่มีบทบาทมากที่สุดในการส่งออกข้าว คือประเทศไทย รองลงมาคือ อินเดีย เวียดนาม จีน และพม่า ตามลำดับ โดยไทยส่งออกข้าวปีละประมาณ 7 ล้านตัน เป็นสัดส่วนประมาณร้อยละ 30 ของการส่งออกข้าวทั้งหมดทั่วโลก

พันธุ์ข้าว (ศรษญ์กิจการเกษตร, 2542: ระบบออนไลน์)

ข้าวที่นำมาปลูกเป็นอาหารนั้นแบ่งออกได้เป็น 2 ชนิด คือ ข้าว *Oryza sativa* ปลูกในทวีปเอเชียและ *Oryza glaberrima* ปลูกในทวีปแอฟริกา แต่ข้าวที่ค้าขายกันในตลาดโลกเกือบทั้งหมด เป็นข้าวที่ปลูกจากแหล่งเชื้อพันธุ์เดียว ซึ่งข้าวชนิดดังกล่าวสามารถแบ่งได้ตามแหล่งปลูกอีก คือ

- 1.) ข้าวอินดิกา (Indica) มีลักษณะเมล็ดยาว ต้นสูง เป็นข้าวที่ปลูกในเอเชียตะวันออกเฉียงใต้ จีน เวียดนาม พลีบปินส์ ไทย อินโดนีเซีย อินเดีย และศรีลังกา ข้าวพันธุ์นี้ค้นพบครั้งแรกในอินเดียและต่อมาได้พัฒนาไปปลูกที่ทวีปอเมริกา
- 2.) ข้าวจาปอนิกา (Japonica) เป็นข้าวที่ปลูกในเขตตอนอุ่น เช่น จีน ญี่ปุ่น เกาหลี มีลักษณะเมล็ดป้อม กลมรี ต้นเตี้ย
- 3.) ข้าว javanica (Javanica) ปลูกในอินโดนีเซียและพลีบปินส์ มีเมล็ดป้อมใหญ่ แต่ไม่ได้รับความนิยม เพราะให้ผลผลิตต่ำ

สำหรับข้าวที่ปลูกในไทยเป็นพันธุ์ข้าวเมล็ดยาว คือ ข้าวอินดิกา แต่ประกอบด้วยหลายพันธุ์ทั้งที่มีการพัฒนาขึ้นใหม่ และข้าวพันธุ์พื้นเมืองซึ่งมีอยู่ประมาณ 3,500 พันธุ์ ซึ่งมีข้าวป่า ข้าวพื้นเมือง และข้าวที่ผสมโดยมนุษย์ขึ้นมาใหม่

ลักษณะที่สำคัญของข้าว (สารานุกรมไทยสำหรับเยาวชน เล่ม 3: ระบบออนไลน์)

ลักษณะที่สำคัญของข้าวแบ่งออกได้เป็นลักษณะที่เกี่ยวกับการเจริญเติบโต และลักษณะที่เกี่ยวกับการขยายพันธุ์ ดังนี้

1. ลักษณะที่เกี่ยวกับการเจริญเติบโต

ลักษณะที่มีความสัมพันธ์กับการเจริญเติบโตของต้นข้าว ได้แก่ ราก ลำต้น และใบ

1.1 راك راكเป็นส่วนที่อยู่ได้ผิวดิน ใช้ยึดสำลักกับดินเพื่อไม่ให้ต้นล้ม แต่บางครั้งก็มีรากพิเศษ เกิดขึ้นที่ข้อซึ่งอยู่เหนือพื้นดินด้วย ต้นข้าวไม่มีรากแก้ว แต่มีรากฟอยแตกแขนงกระจายแต่กางออกแบบนี้

1.2 สำลัก มีลักษณะเป็นโพรงตรงกลางและแบ่งออกเป็นปล้องๆ โดยมีข้อกั้นระหว่างปล้อง ความยาวของปล้องนั้นแตกต่างกัน จำนวนปล้องจะเท่ากับจำนวนใบของต้นข้าว ปกติมีประมาณ 20-25 ปล้อง

1.3 ใน ต้นข้าวมีใบไว้สำหรับสังเคราะห์แสง เพื่อเปลี่ยนแร่ธาตุ อาหาร น้ำ และคาร์บอน dioxide ให้เป็นแป้ง เพื่อใช้ในการเจริญเติบโตและ สร้างเมล็ดของต้นข้าว ในประกอบด้วย การใบและแผ่นใบ

2. ลักษณะที่เกี่ยวกับการขยายพันธุ์

ต้นข้าวนิการขยายพันธุ์ด้วยเมล็ดซึ่งเกิดจากการผสมระหว่างเกสรตัวผู้และเกสรตัวเมีย เพราะฉะนั้น ลักษณะที่สำคัญเกี่ยวกับการขยายพันธุ์ ได้แก่ วง ดอกข้าวและเมล็ดข้าว

2.1 วงข้าว (panicle) หมายถึงช่อดอกของข้าว (inflorescence) ซึ่งเกิดขึ้นที่ข้อของปล้องอันสุดท้ายของต้นข้าว ระยะระหว่างข้ออันบนของปล้องอันสุดท้ายกับข้อต่อของใบชง เรียกว่า គ่องวง

2.2 ดอกข้าว หมายถึง ส่วนที่เกสรตัวผู้และเกสรตัวเมียสำหรับผสมพันธุ์ ดอกข้าวประกอบด้วยเปลือกนอกใหญ่สองแผ่นประสานกัน เพื่อห่อ หุ้มส่วนที่อยู่ภายในไว้ เปลือกนอกใหญ่แผ่นนอกเรียกว่า เล็มนา (lemma) ส่วนเปลือกนอกใหญ่แผ่นใน เรียกว่า พาเดีย (palea) ทั้งสองเปลือกนี้ ภายนอกของมันอาจมีขนหรือไม่มีขนก็ได้

2.3 เมล็ดข้าว หมายถึง ส่วนที่เป็นแป้งที่เรียกว่า เอ็นโดสเปอร์ม (endosperm) และส่วนที่เป็นคัพกะซึ่งห่อหุ้มไว้โดยเปลือกนอกใหญ่สองแผ่น เอ็นโดสเปอร์มเป็นแป้งที่เราบริโภค คัพกะเป็นส่วนที่มีชีวิตและออกอกรากเป็นต้นข้าวเมื่อเอาไปเผา

ข้าวพันธุ์ Kitaake

ข้าวพันธุ์ Kitaake จัดอยู่ในสายพันธุ์ข้าวป่อนิกา (Toki, 1997) มีโครโนโซนเป็น $2n = 2x = AA = 24$ (สมศักดิ์ และคณะ, 2542) สำลักเต็ม ความสูงประมาณ 60 – 100 เซนติเมตร ใบสั้นและแคบ เมล็ดป้อมสั้น ลักษณะพิเศษของข้าวญี่ปุ่น คือ ข้าวสารสุกได้อุณหภูมิต่ำประมาณ 65 – 85 องศาเซลเซียส ปริมาณอะไนโตรสต้า ทำให้ข้าวสุกนุ่มนวล ยืดหยุ่น และเหนียวคล้ำมียาง เมล็ดข้าวสุกจะเกาะกัน ต่างจากข้าวอินเดียที่ปริมาณอะไนโตรสต้าสูง เมื่อหุงเสร็จข้อน้ำร้อน ข้าวญี่ปุ่นใช้เวลา

เพาะปลูกจนถึงเก็บเกี่ยวเพียง 3 เดือน เป็นข้าวที่ไม่ต้องการใช้น้ำมากจึงเหมาะสมสำหรับที่เพาะปลูกที่ขาดแคลนน้ำและอายุเพาะปลูกสั้น

ข้าวที่เกี่ยวข้องกับการสร้างสี

ข้าวเจ้าหอนนิล (บริษัท สินิลไทร์ จำกัด : ระบบออนไลน์)

เป็นข้าวที่กล้ายืนต้นจากข้าวเหนียวคำด้านเตี้ยของจีน โดยมีความสูงประมาณ 60-75 เซนติเมตร อายุวันเก็บเกี่ยว 95-105 วัน แตกกอตี คำด้านและใบสีเขียวปานม่วง เมล็ดยานมีสีม่วงเข้ม (ภาพที่ 1) กลิ่นหอม ผลผลิตประมาณ 400-700 กิโลกรัมต่อไร่ จากการศึกษาเอกลักษณ์พันธุกรรมโดยใช้ microsatellite จำนวน 48 ตำแหน่ง ชี้ให้เห็นว่า ข้าวเจ้าหอนนิลมีความแตกต่างข้าว Hei Bao และ Xua Bue Huq จากจีน แสดงให้เห็นว่า ข้าวทั้ง 3 ไม่ได้เป็นข้าวพันธุ์เดียวกัน



(ก.)



(ข.)

ภาพที่ 1 ลักษณะของต้นและรวง ของข้าวเจ้าหอนนิล (ก.) และลักษณะเมล็ดข้าว (ข.)
ที่มา: บริษัท สินิลไทร์ จำกัด, 2553: ระบบออนไลน์

ข้าวเจ้าหอนนิลนับเป็นข้าวที่มีโภชนาการสูง โดยมีโปรตีนอยู่ในช่วงประมาณ 10-12.5 % มีแคดเชียม 4.2 มิลลิกรัมต่อ 100 กรัม ธาตุเหล็กแปรปรวนระหว่าง 2.25-3.25 มิลลิกรัมต่อ 100 กรัม และธาตุสังกะสีประมาณ 2.9 มิลลิกรัม มีปริมาณ antioxidant สูงประมาณ 293 ไมโครโมลต่อกรัม จากข้อมูลทางโภชนาการนับได้ว่าข้าวเจ้าหอนนิล เป็นข้าวที่มีศักยภาพในการแปรรูปทางอุตสาหกรรมอาหารสูง เช่น cracker หรือ cooky

คุณประโยชน์ของสีม่วงในข้าวเจ้าหอนนิล

ข้าวเจ้าหอนนิลมีเมล็ดสีม่วงดำ เมื่อวิเคราะห์ปริมาณสีของเมล็ด สีม่วงดำประกอบไปด้วย สีม่วงเข้ม (cyanidin) สีชมพูอ่อน (peonidin) และสีน้ำตาล (procyanidin) ผสมกัน ซึ่งสีที่เห็นนั้นเป็นสารประกอบกลุ่ม flavonoid ที่เรียกว่า สารแอนโธไซยานิน (anthocyanin) ที่ประกอบไปด้วยสาร

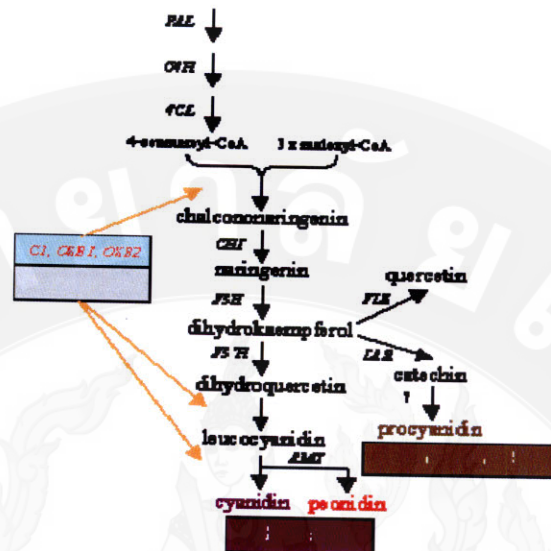
cyanidin กับ สาร peonidin สารโปรแอนโทไซานิน (proanthocyanidin) ประกอบด้วยสาร procyanidin (ภาพที่ 2) ซึ่งสารดังกล่าวทั้งหมดนี้เป็นสาร antioxidant ที่ทำหน้าจับกับอนุญาติสร้างแล้วช่วยทำให้กลไกการทำงานของร่างกายมีประสิทธิภาพมากขึ้นกว่าปกติ

สารแอนโทไซานิน มีรายงานวิจัยพบว่า สามารถช่วยลดการอักเสบของเนื้อเยื่อ ช่วยลดไขมันอุดตันในสีน้ำเลือดที่หัวใจ และสมอง บรรเทาโรคเบาหวาน ช่วยบำรุงสายตาเพื่อเพิ่มประสิทธิภาพการมองเห็นเวลาองค์ตอนกลางคืน สาร cyanidin มีประสิทธิภาพในการ antioxidation ได้ดีกว่าวิตามินอี หลายเท่า และยังขับยุงการเจริญเติบโตของ epidermal growth factor receptor ในเซลล์มะเร็ง สาร โปรแอนโทไซานิน หรือเรียกว่าสาร condensed tannins มีรายงานวิจัยพบว่า สาร โปรแอนโทไซานิน ทำการ antioxidation ได้ดีกว่าวิตามินซี วิตามินอี และ เบต้าแคโรทีน (beta-carotene) สาร โปรแอนโทไซานิน ยังไปจับกับอนุภาคของกัมมันตภาพรังสีทำให้เซลล์ในร่างกายทำงานได้อย่างปกติ และช่วยลดไขมันอุดตันในสีน้ำเลือดป้องกันโรคหัวใจ และโรคความดันโลหิตสูง ยังขับยุงการเจริญเติบโตของเซลล์มะเร็งเต้านม ปอด กระเพาะอาหาร และเม็ดเลือดขาว และยังป้องกันไวรัส HSV-1 และยังขับยุงการทำงานของเอนไซม์ reverse transcriptase ใน ไวรัส HIV

การศึกษาในที่ควบคุมการสังเคราะห์สีในแมล็ดข้าวเจ้าหอนนิล

ข้าวเจ้าหอนนิลมีแมล็ดข้าวกล้องสีดำ แต่ที่จริงคือสีม่วงเข้มที่สะสมอยู่ในส่วนของราก (pericarp) ซึ่งประกอบไปด้วยทั้งหมดสามสี คือ สีน้ำตาลอ่อน (procyanidin), สีแดง (peonidin), และสีม่วง (cyanidin) (ภาพที่ 2) สีทั้งหมดของข้าวเป็นรงควัตถุ (pigments) ที่ได้จากการบวนการสังเคราะห์ flavonoid ในต้นข้าวซึ่งอาศัย 2 ปัจจัยหลักคือ

- 1.) ปัจจัยของพันธุกรรม (genetic factor) เช่น ระบบการทำงานของยีนควบคุม (regulatory genes) และยีนโครงสร้าง
- 2.) ปัจจัยของสภาพแวดล้อม (Environment factor) เช่น สภาพของดิน แร่ธาตุ สารอาหาร pH อุณหภูมิ และแสง



ภาพที่ 2 กระบวนการสังเคราะห์ฟลาโวโนイด

ที่มา: บริษัท สีนิลไทร์ จำกัด, 2553: ระบบออนไลน์

ในข้าวสีดำจะมีการแสดงออกของยืนความคุณการสังเคราะห์สี *OSB1* ถูกแปลรหัสสารพันธุกรรม (translational) ไปเป็นโปรตีนที่ควบคุม การแสดงออกยืนโครงสร้าง (transcriptional activator) ส่วนในข้าวสีขาวไม่มีการแสดงออกยืนนี้

ข้าวเหนียวดำหรือข้าวกำ

ข้าวเหนียวดำหรือข้าวกำ (ภาพที่ 3) คือข้าวเหนียวที่มีเยื่อหุ้มเมล็ด (pericarp) สีม่วงแดงจนถึงสีดำ รวมทั้งการมีรังควัตถุ (pigment) ที่ปรากฏในส่วนต่างๆ ของต้นข้าว ซึ่งเป็นลักษณะประจำพันธุ์ของข้าวชนิดนี้ รังควัตถุที่มีสีส่วนใหญ่พูนในส่วนของลำต้น ใบ และเกือบทุกส่วนของช่อดอก (floral part) ยกเว้นในส่วนของ embryo หรือ endosperm ที่ไม่พบการกระจายตัวของรังควัตถุ



ภาพที่ 3 ลักษณะของต้นข้าวเหนียวดำ และเมล็ด

ที่มา: ลัคดาวัลย์ กรรมนุช, 2553: ระบบออนไลน์

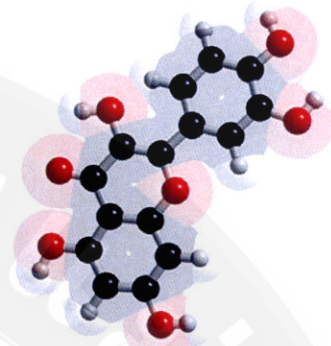
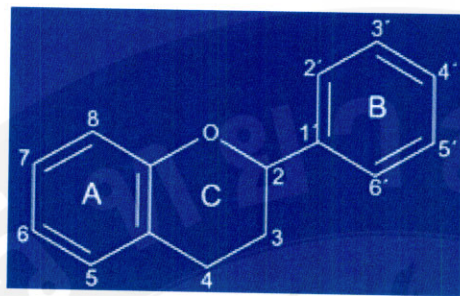
โดยทั่วไปข้าวเหนียวคำที่เกย์ตระกรปลูกเป็นข้าวพันธุ์พื้นเมือง ที่มีการปลูกเฉพาะพื้นที่มาเป็นเวลานานแล้ว และเกย์ตระกรจะเก็บเมล็ดพันธุ์ไว้สำหรับปลูกในดินปลูกต่อไปเอง พันธุ์ข้าวเหนียวคำที่เกย์ตระกรใช้ปลูกเป็นพันธุ์ที่ให้ผลผลิตต่อพื้นที่ค่อนข้างต่ำเมื่อเทียบกับข้าวพันธุ์อื่นๆ นอกจานนี้ยังรวมถึงคุณภาพการหุงต้มของข้าวเหนียวคำยังไม่ดีพอ เช่น หลังจากหุงต้มแล้วข้าวแข็งและร่วนจนเกินไป และกลิ่นไม่หอม เป็นต้น ดังนั้นการปรับปรุงพันธุ์ เพื่อเพิ่มผลผลิตและคุณภาพผลผลิตของข้าวเหนียวคำ โดยเฉพาะคุณภาพการหุงต้มซึ่งมีความจำเป็น การรวบรวมพันธุ์ข้าวเหนียวคำและนำมาปลูกเพื่อประเมินลักษณะทางสัณฐานวิทยาและการให้ผลผลิตของข้าวเหนียวคำพันธุ์พื้นเมืองซึ่งมีความสำคัญ เพราะข้อมูลจากการศึกษาจะเป็นประโยชน์สำหรับการปรับปรุงพันธุ์ข้าวเหนียวคำต่อไป

ข้าวเหนียวคำมีสารประกอบที่มีประโยชน์ต่อร่างกายที่สูงกว่าข้าวขาวกล่าวคือ มีสารแแกมน่า-โอไรซานอล (gamma oryzanol) ซึ่งเป็นสารประกอบที่พบในรำข้าวเหนียวคำปริมาณสูงถึง 2.70 เปอร์เซ็นต์ เมื่อเทียบกับรำข้าวขาวซึ่งมีประมาณ 1.12 เปอร์เซ็นต์ (Teltathum, 2004) ตามภูมิปัญญาห้องฉันเชื่อกันว่าข้าวเหนียวคำเป็นสมุนไพร สารแแกมน่า-โอไรซานอลในน้ำมันรำข้าวมีคุณสมบัติเป็นสารแอนติออกซิเดนท์ ที่ดีกว่าวิตามินอี วิตามินซีและเบต้าแคโรทีน (สมวงศ์, 2546) นอกจานนี้ยังพบว่าสามารถลดการดูดซึมน้ำตาลและไขมันในอาหารสู่ร่างกาย ลดการสังเคราะห์คอเรสเทอโรลในตับ ลดปริมาณคอเรสเทอโรลในพลาสما (DeJian et al., 2002) ลดอาการผิดปกติในสตรีวัยที่กำลังจะหมดประจำเดือน (Zu et al., 2001)

นอกจากนี้แล้ว ข้าวเหนียวคำยังมีรงควัตถุที่สำคัญคือ แอนโทไซยานิน (anthocyanin) ซึ่งมีคุณสมบัติในการต้านการเกิดปฏิกิริยาออกซิเดชัน (antioxidation) ช่วยการหมุนเวียนของกระแสโลหิต ช่วยการเสื่อมของเซลล์ร่างกาย โดยเฉพาะแอนโทไซยานินชนิดที่พบในข้าวสีม่วงกลุ่มอินดิกา (indica type) (ซึ่งก็รวมข้าวเหนียวคำไทย) คือ cyanindin 3-glucoside มีคุณสมบัติในการขับยั้งการเจริญเติบโตของเซลล์มะเร็งปอดได้อีกด้วย

ฟลาโวนอยด์ (Flavonoids) (นิติบุตร สุดหน่องบัว. 2553, ระบบออนไลน์)

ฟลาโวนอยด์ (Flavonoid) เป็นสารกลุ่มที่รู้จักกันทั่วไปเกี่ยวกับความสามารถในการเป็นสารต้านอนุมูลอิสระ (สารประกอบที่สามารถป้องกันหรือช่วยลดการเกิดกระบวนการออกซิเดชัน) พบในธรรมชาติโดยเฉพาะในผลไม้ตระกูลส้ม เบอร์รี่ หัวหอม ชา โดยเฉพาะชาขาวและชาเขียว ไวน์แดง เป็นต้น



ภาพที่ 4 ตัวอย่างโครงสร้างและโมเลกุลของสารกลุ่มฟลาโวนอยด์ (Flavonoids)

ที่มา: นิตินุช สุค宦องบัว. 2553, ระบบออนไลน์

ตัวอย่างสารฟลาโวนอยด์ (ภาพที่ 4)

สารฟลาโวนอยด์ที่น่าสนใจหลายกลุ่มที่มีบทบาทที่สำคัญ Anthocyanidins, Catechins, Flavones, Isoflavones, Lignin, Tannins

สำหรับฟลาโวนอยด์หลายชนิดที่มีสี ที่จัดอยู่ในกลุ่มฟลาโวนอยด์จะมีสูตรโครงสร้างคล้ายคลึงกัน แต่ก็มีคุณสมบัติแตกต่างกันมาก อาจแบ่งฟลาโวนอยด์ออกเป็นกลุ่ม 3 กลุ่ม คือ

- 1.) แอนโซซานติน มีสีเหลืองนวล
- 2.) แอนโทไซยานิน มีสีม่วงแดง
- 3.) แทนนิน ไม่มีสีแต่เปลี่ยนเป็นสีน้ำตาลได้ง่าย

กลุ่มสารฟลาโวนอยด์ (Flavonoid)

เป็นสารที่มีอยู่ในกลุ่มโพลีฟีโนอล (สารประกอบฟีโนลิก) มีบทบาทในการช่วยชะลอความแก่ ต่อต้านการเกิดมะเร็ง และหัวใจได้

สมบัติเฉพาะของสารฟลาโวนอยด์ (Flavonoid)

เป็นกลุ่มสารที่ให้สีสันแก่พืช รวมถึงสีสันสวยงามของกลีบดอกไม้ สารกลุ่มนี้สามารถดูดซับรังสีอุลตราร้าวโอเลตได้ดีและเปล่งออก光芒 เป็นแสงสีต่างๆของดอกไม้ พืชได้พัฒนาระบวนการสร้างฟลาโวนอยด์ขึ้นเพื่อป้องกันอันตรายจากรังสีอุลตราร้าวโอเลต

การทำงานของสารกลุ่มฟลาโวนอยด์

สามารถทำงานร่วมกับวิตามินซี โดยสามารถเปลี่ยนให้เป็นรูปแบบที่ออกฤทธิ์ในการต้านอนุนุลอิสระที่ดีได้ นอกจากนี้ฟลาโวนอยด์ยังสัมพันธ์กับการควบคุมการสร้างไนตริกออกไซด์ (Nitric Oxide) ที่จำเป็นต่อการไหลเวียนโลหิต รวมทั้งการส่งผ่านสารอาหารให้กับเซลล์ประสาท อีกด้วย โดยปกติธรรมชาติอาจพบอนุพันธุ์ ฟลาโวนอยด์ในรูปของโพแทโนโนโลไซดิน (Proanthocyanidin) ในบิลเบอร์รี่ ซึ่งจะช่วยป้องกันการทำลายหลอดเลือดในดวงตา รวมทั้งยังช่วยส่งเสริมระบบไหลเวียนโลหิตอีกด้วยขณะที่ในชาเขียวจะพบสารฟลาโวนอยด์ที่มีบทบาทสำคัญในการป้องกันการทำลายเซลล์จากปฏิกิริยาออกซิเดชันของไขมันแอลดีเอล

การต้านอนุนุลอิสระ

สามารถป้องกันความเสื่อมของเซลล์ต่าง ๆ อันเนื่องมาจากการอนุนุลอิสระที่ได้มาจากการปฏิกิริยา Oxidation โดยสามารถเดือดหานผักและผลไม้สด ชา หัวหอม ถั่วเหลือง ไวน์แดง ซึ่งอุดมไปด้วยสารฟลาโวนอยด์ หรืออาจรับประทานสารสกัดฟลาโวนอยด์เสริมร่วมไปกับสารสกัดเมล็ดองุ่น, สารสกัดเปลือกสนฝรั่งเศส, ไลโคปีน หรือสารสกัดชาเขียว ก็ได้ขนาดรับประทานที่แนะนำสารฟลาโวนอยด์ 2-6 กรัม ร่วมกับสารสกัดเมล็ดองุ่นหรือสารสกัดเปลือกสนฝรั่งเศส 50 มิลลิกรัม และน้ำชาเขียว 3 ถ้วย หรือชาเขียวสกัด 300-400 มิลลิกรัม ทุกวัน

แอนโกลาโโซน

Anthocyanin (แอนโกลาโโซน) เป็นสารที่มีสีตึ้งแต่สีน้ำเงินเข้มในสภาพะเป็นด่าง ($\text{pH} > 7$) มีสีม่วงเมื่อเป็นกลาง ($\text{pH} = 7$) และจะเปลี่ยนเป็นสีแดงถึงส้มได้ในสภาพะเป็นกรด ($\text{pH} < 7$) เป็นสารสีที่พบได้ทั่วไปในดอกไม้ ผลไม้บางชนิด ในหรือลำต้นของพืชบางชนิดที่มีสีจัด ในปริมาณเพียงน้อยนิดก็สามารถแสดงสีได้ในความเข้มสูง มนุษย์ในบางพื้นที่รู้จักใช้สารตัวนี้มาเป็นเวลานานแล้วในกิจกรรมต่างๆ เช่น ไทยใช้สีจากดอกอัญชันทำขนม จีนใช้สีของเปลือกไม้และใบไม้บางชนิดในการข้อมผ้าให้มีสีต่างๆ ยุโรปใช้ผลไม้ป่า (Wild Berry) ในการทำเครื่องสำอางและทำขนม ซึ่งส่วนใหญ่แล้วจะเป็นอนุพันธุ์หนึ่งของ Anthocyanin ที่พบได้ในธรรมชาติซึ่งให้สีน้ำเงิน สีม่วง และสีแดงบางชนิด เกิดจากสารกลุ่มแอนโกลาโโซน (Anthocyanin) เป็นโมเลกุลให้สีที่มีส่วนประกอบสองส่วนคือ แอนโกลาโโซนิดิน (Anthocyanidin) และน้ำตาล

แอนโกลาโโซนมีหน้าที่ปกป้องผักและผลไม้จากการทำลายของรังสีอัลตราไวโอเลต มีฤทธิ์ต้านอนุนุลอิสระ การวิจัยพบว่าสารกลุ่มแอนโกลาโโซนนินมีฤทธิ์ต้านออกซิเดชันของไขมันแอลดีเอล (LDL) และยังทำให้เซลล์บุพนังหลอดเลือดมีความอ่อนนิ่ม การกินผักและผลไม้ที่มีสีน้ำเงิน

และสืบสานความสามารถในการเกิดโรคไขมันอุดตัน ในหลอดเลือดและโรคหลอดเลือดหัวใจแข็งตัวได้ ในประเทศไทยมีการใช้น้ำคั้นจากอัญชันช่วยป้องกันป้องกันคิว เชื่อว่าน้ำคั้นจากอัญชันทำให้มีคุณค่าได้สารแอนโทไซยาโนนในดอกอัญชันเพิ่มความสามารถในการยับยั้งเห็นหรือชะลอความเสื่อมของดวงตา เนื่องจากสารดังกล่าวเพิ่มความสามารถในการให้ผลลัพธ์ดีอีกด้วยในหลอดเลือดเล็กๆ ส่วนปลายทำให้มีเลือดมาเลี้ยงรากผมและดวงตาได้ดีขึ้นนั่นเอง ดอกอัญชันสามารถกินสดแก้ลมน้ำพริกหรือต้มน้ำดื่มน้ำได้

แอนโทไซยาโนนสืบสานจากพืชตระกูลบูบอร์รี่ ถูกใช้เพื่อเสริมสมรรถภาพการมองเห็น และลดปัญหาที่เกิดกับระบบหมุนเวียนของเลือด ในลักษณะเดียวกับการใช้น้ำคั้นอัญชันมาเป็นเวลานาน มีการใช้ในผู้ป่วยเบาหวานและแพลงในกระเพาะอาหาร ซึ่งมีคุณสมบัติต้านการเกิดโรคมะเร็ง ทำให้เซลล์มะเร็งเมี๊คเดือดขาวตายและต้านการเกิดสารก่อมะเร็งในสัตว์ทดลอง พืชที่มีแอนโทไซยาโนนมากพบสารกลุ่มโพลีฟินอลตัวขึ้น สารกลุ่มนี้มีฤทธิ์ต้านอนุมูลอิสระและช่วยชะลอสภาวะเสื่อมของเซลล์ อาหารที่มีสีน้ำเงินและสีม่วง ได้แก่ กะหล่ำปลีม่วง มันสีม่วง อุ่นแดง ชนผู้มะเหมี่ยว ชนผู้แดงอ่อนๆ ลูกหว้า ลูกไหน ลูกพรุน ลูกเกด ข้าวแดง ข้าวนิล ข้าวเหนียวดำ ถั่วแดงและถั่วคำ มะเขือม่วง หอมแดง หอมหัวใหญ่สีม่วง บลูเบอร์รี่ น้ำคั้นจากอัญชัน น้ำว่านกาบหอย มันดั้มสีม่วง และเผือก

ยาสูบ

ยาสูบ หรือ จะว่า เป็นไม้ล้มลุก ลำต้นมีขนอ่อนนุ่มปกคลุม สูงประมาณ 1 - 1.5 เมตร ในลักษณะเป็นรูปไข่กลับ โคนใบแคบ ในโคนามีขนอ่อนปกคลุม (ภาพที่ 5) ดอกออกเป็นช่อยาวที่ปลายยอด สีชมพูอ่อนหรือแดงเรื่อง ออกผลลักษณะเป็นแคปซูล ใช้ใบตากแห้งเป็นส่วนประกอบในบุหรี่ หรือยาเส้น

ชื่อสามัญ : Tobacco

ชื่อวิทยาศาสตร์ : *Nicotiana tabacum L.*

วงศ์ : Solanaceae เช่นเดียวกับมะเขือเทศ พริก มันฝรั่ง ผักต่างๆ ฯลฯ

สกุล : Nicotiana

ชื่ออื่นๆ : จะว้า (เบมร – สุรินทร์)

ชนิด : ยาสูบที่ปลูกกันทั่วไปมีมากกว่า 60 สายพันธุ์ หรือ 60 ชนิด แต่ที่ปลูกเป็นการค้าเกือบทั้งหมดเป็นพันธุ์ทามาคัม (*tabacum*) มีบางที่ปลูกพันธุ์รุสติกา (*rustica*) ทางตอนยุโรปตะวันออกและเอเชียไม่น้อย



ภาพที่ 5 รูปภาพทั่วไปของต้นยาสูบ
ที่มา Eco-agrotech, 2550 : ระบบอนไลน์

ยาสูบถูกใช้เป็นพืชต้นแบบ (Model plant) ที่นำมาใช้ในการทดลองอย่างแพร่หลาย เป็นพืชใบเลี้ยงคู่ ซึ่งมีประสิทธิภาพการถ่ายยืนที่สูง ถ่ายยืนง่าย เจริญเติบโตได้รวดเร็ว เพราะฉะนั้นจึงเหมาะสมในการนำมาถ่ายยืนในปัจจุบัน

ลักษณะทางพันธุกรรม

สามารถจำแนกยาสูบออกเป็น 60 สปีชีส์ ซึ่ง 36 สปีชีส์ มีการปลูกอยู่ในแถบอเมริกาใต้ 36 สปีชีส์ มีการปลูกอยู่ในแถบอเมริกาเหนือ และ 9 สปีชีส์ มีการปลูกอยู่ในแถบออสเตรเลีย และหมู่เกาะแปซิฟิกตอนใต้ ในจำนวน 15 สปีชีส์ ทั้งหมดของยาสูบมีอยู่ 2 สปีชีส์ ที่นิยมใช้ปลูกเป็นอย่างกว้างขวางในปัจจุบัน คือ *N. tabacum* และ *N. rustica* ซึ่งใช้ปลูกเพื่อผลิตเป็นยาสูบและยาเคี้ยวยาสูบทั้งสองสปีชีส์ นี้มีการปลูกกันทั่วไปในแถบอเมริกาใต้ อเมริกากลาง หมู่เกาะอินเดียตะวันตก บริเวณแถบตะวันตกเฉียงใต้และภาคเหนือของเม็กซิโก

จำนวนโครโน้มของยาสูบอยู่ในระหว่าง $n = 9$ ถึง $n = 24$ แต่ส่วนมากจะมีโครโน้ม $n = 12$ และ $n = 24$ ยาสูบพาก *N. tabacum* และ *N. rustica* มีจำนวนโครโน้ม $n = 24$ ($2n=48$)

ยีน *papI*

ยีนที่เกี่ยวข้องกับการสังเคราะห์เอนไซมานิน แบ่งออกเป็น

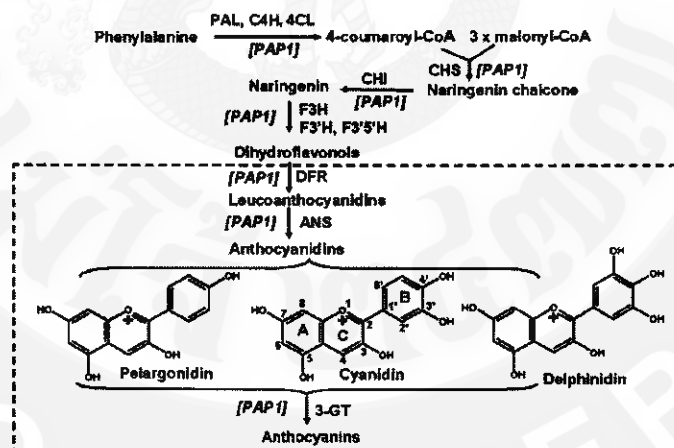
1. ยีนควบคุม กួยีนที่สร้าง Transcription factor ซึ่งควบคุมการแสดงออกของยีนโครงสร้างที่เกี่ยวข้องในการสังเคราะห์เอนไซมานิน

2. ยีนโครงสร้าง คือยีนที่สร้างเอนไซม์ใน pathway ของการสังเคราะห์แอนโทไซยานิน
(Lim et al., 2012)

ยีน *pap1* (*production of anthocyanin pigment*) เป็นยีนสร้าง MYB75 transcription factor ที่ควบคุมการส่งเสริมการสังเคราะห์สาร anthocyanin ซึ่งยีน *pap1* แยกได้จากต้น mutant *Arabidopsis* ที่มีการแสดงออกอย่างมาก (overexpression) ของยีน *pap1* การถ่ายยีน *pap1* เข้าสู่ *Arabidopsis* ทำให้เกิดต้น transgenic ที่มีการแสดงออกเป็นสีม่วงอ่อนจนถึงสีม่วงเข้ม และคงว่า yīn *pap1* ส่งเสริมการสร้าง anthocyanin และการ overexpression ของยีน *pap1* ทำให้ต้น *Arabidopsis* แสดงออก phenotype เป็นสีม่วงเข้ม และพบสีม่วงในทุกชิ้นส่วนของต้นพืชตลอดการพัฒนาการของพืช (Borevitz et al., 2000)

วิธีการสังเคราะห์สารแอนโทไซยานิน

ยีน *pap1* เป็นยีนควบคุมในการเปิดการทำงานของยีนสร้างเอนไซม์ต่าง ๆ ในการสังเคราะห์แอนโทไซยานิน (ภาพที่ 6)



ภาพที่ 6 วิธีการสังเคราะห์สารแอนโทไซยานิน

ที่มา Sullivan, 1998: ระบบอ่อนไก่น

งานวิจัยที่เกี่ยวข้องกับการสังเคราะห์แอนโทไซยานิน

Zuluaga *et al.* (2008) ได้ทำการศึกษาการแสดงของยีน *MYB75/pap1* (*production of anthocyanin pigment*) ที่มีผลการสร้างแอนโทไซยานินในต้นมะเขือเทศที่ผ่านการดัดแปลงพันธุกรรม โดยได้ทำการตัดต่อขึ้นจาก *Arabidopsis thaliana* (L.) Heyhn. และส่งถ่ายเข้าสู่อะโกรเบคที่เรียนสายพันธุ์ GV3101 จากนั้นก็ทำการส่งถ่ายเข้าสู่เมล็ดมะเขือเทศ พนว่ามีการแสดงออกของ *AiMYB75* โดยเพิ่มการสร้างแอนโทไซยานินทึ้งในใบ ลำต้น รากและดอก รวมถึงผลภายในส่วนของการเริ่มต้น โตกามปักติ แต่การแสดงออกจะแสดงออกเฉพาะในส่วนของเซลล์ที่อยู่ใน Epidermal หรือเปลือกหุ้นด้านนอก หรือในกลุ่มของห้องลำเลียงเท่านั้น แต่ยังพบอีกว่ามีการแสดงออกของ DFR (dihydroflavonol 4-reductase) อีกด้วย

Zhou *et al.* (2008) ได้ศึกษาระบวนการพัฒนาของแคลลัสของยาสูบ ซึ่งมีการแสดงออกของยีน *pap1/MYB75* ที่มีผลต่อการ transcription และการแสดงออกของลักษณะ โดยได้ทำการถ่ายขึ้น *pap1* เข้าสู่แคลลัสทำให้แคลลัสเกิดเป็น 2 ลักษณะ คือ แคลลัสที่เป็นสีแดง และแคลลัสที่เป็นสีขาว จากนั้นทำการตรวจสอบความคล้ายกันของแคลลัสที่ได้ด้วยเทคนิค RT – PCR เพื่อคุณการแสดงออกของยีน *pap1* เพาล์เดียงแคลลัสเป็นระยะเวลา 25 วัน จากนั้นทำการวิเคราะห์ด้วยเครื่อง HPLC พนว่ามี cyanidin, pelargonidin และ peonidin ซึ่งอยู่ในกลุ่มของ anthocyanidins และในการทดลองครั้งนี้ยังได้ศึกษาผลของ ความมืด แหล่ง ในโตรเจน และออกซิน ต่อการสร้างแอนโทไซยานินในแคลลัสด้วย และยังนำไปสู่การศึกษาความเหมาะสมในการทำงานของ *pap1* ต่อการสังเคราะห์แอนโทไซยานินในระดับ posttranscriptional ในเซลล์

Kim *et al.* (2007) ได้ทำการศึกษาการแสดงออกของยีนที่เกี่ยวข้องกับการสังเคราะห์แอนโทไซยานิน และอุณหภูมิที่มีผลต่อการควบคุมการสังเคราะห์แอนโทไซยานิน ในข้าว 2 สายพันธุ์ ได้แก่ พันธุ์ Ilpum และพันธุ์ Heugjinju ซึ่งพบว่า ในพันธุ์ Ilpum ไม่มีการสังเคราะห์แอนโทไซยานิน ส่วนในพันธุ์ Heugjinju พนว่า มีการสังเคราะห์แอนโทไซยานินได้ 3 ประเภท คือ cyanidin, cyanidin 3 - glucoside - O, และ peonidin 3 - glucoside - O นอกจากนี้ยังได้ทำการวิเคราะห์การแสดงออกของยีนสร้างแอนโทไซยานินในการสังเคราะห์เอนไซม์ต่าง ๆ เช่น phenylalanine ammonia lyase (PAL), chalcone synthase (CHS), flavanone 3[3-hydroxylase (F3H), dihydroflavonol reductase (DFR), และ anthocyanin synthase (ANS) ซึ่งพบว่าในใบและเมล็ดของข้าวพันธุ์ Heugjinju จะมีการแสดงออกมากกว่าในข้าวพันธุ์ Ilpum และยังพบอีกว่าข้าวพันธุ์ Heugjinju มียีน 2 ยีน ที่มีระดับการแสดงออกที่ค่อนข้างสูงและมีความจำเพาะสำหรับการสังเคราะห์แอนโทไซยานิน นั้นคือยีน DFR และ ANS นอกจากนี้การแสดงออกของยีน CHS, F3H,

DFR, และ *ANS* ซึ่งได้มีการเพิ่มขึ้นในระหว่างการสุกแก่เมล็ดพันธุ์ และมีความสัมพันธ์กับอุณหภูมิ ในช่วงการเจริญเติบโตของต้นกล้าอีกด้วย

Borevitz et. al. (2000) ได้ทำการศึกษาการติดแท็กเพื่อรับรู้ควบคุม *MYB* ของการสังเคราะห์ *Phenylpropanoid* โดยได้ทำการใช้การติดแท็กโดยแท็กที่ใช้ได้จากการตัดต่อยีนอะโกรเบคทีเรียมเข้ากับ T – DNA ที่ประกอบ *cauliflower mosaic virus 35S* ซึ่งเมื่อติดแท็กนี้เข้ากับ *Arabidopsis* เขาได้พบว่ามีการแสดงออกของสีม่วงที่มีความเข้มข้นสูงมากในส่วนต่างๆ ของต้นน้ำ ผลจากการควบคุมให้มีการแสดงออกมากนี้เองทำให้เกิดลักษณะโดดเด่น จึงทำให้เกิดการเปิดใช้งานยืนในการสังเคราะห์ *phenylpropanoid* การเพิ่มการสะสมของลิกนิน, *hydroxycinnamic acid esters* และฟลาโวนอยด์ รวมถึงแอนโทไซยานินต่างๆ ที่สร้างสีม่วงด้วย ซึ่งหากกล่าวว่า ลักษณะที่เกิดขึ้นเหล่านี้เกิดจาก การแทรกตัวของโปรโนเตอร์ในตำแหน่งยืนที่ใกล้กับ *MYB transcription* แสดงว่า การกระตุ้นโดยการติดแท็กสามารถควบคุมลักษณะทางพันธุกรรมที่เกี่ยวข้องกับการสะสมสารต่างๆ ในระหว่างการพัฒนาของพืช

Geekiyage et. al. (2007) ได้ใช้ยืน *VlmybA2* ในอุ่นให้แสดงออกในต้นยาสูบ และต้น *Arabidopsis* โดยทำการเพาะเลี้ยงเนื้อเยื่อเยื่อต้นยาสูบและต้น *Arabidopsis* สำหรับอาหารเพาะเลี้ยงเนื้อเยื่อต้นยาสูบ มีการเติมฮอร์โมน BA และ NAA ด้วย พนว่าต้นยาสูบและต้น *Arabidopsis* มีสีม่วงแดง ทึ้งต้น ใบ ดอก เมล็ด และราก และบังพบร่วมกับ การ over-expression ของ *VlmybA2* เพียงอย่างเดียวใน tobacco และ *Arabidopsis* ที่ได้รับการถ่ายยืน สามารถสร้างแอนโทไซยานินได้ ดังนั้น *VlmybA2* อาจจะมีความสามารถในการทำงานอย่างหลากหลายในพืชใบเลี้ยงคู่ สำหรับการ over-expression ของ *VlmybA2* ใช้ในการแยกต้นยาสูบที่ได้รับการถ่ายยืนเข้าไปได้ซึ่งเป็นการแก้ไขข้อกังวลที่เกี่ยวกับการสารยืนต้านสารปรบวัชพืชและยืนต้านสารปฏิชีวนะ ได้ ส่วนสีของเมล็ด *Arabidopsis* ทำให้เกิด phenotype ที่แตกต่าง จึงใช้ในการแยกเมล็ดที่ได้รับการถ่ายยืนได้

Xie et. al. (2006) ได้ใช้ *anthocyanidin reductase* และ *pap1* MYB transcription factor ให้แสดงออกร่วมกันใน metabolic engineering ของ proanthocyanidins พบร่วมกันที่มีเฉพาะยืน *pap1* มีการแสดงออกของพีโนไทป์มากกว่า ซึ่งจะเห็นเป็นสีม่วงแดงมากกว่า ไม่ว่าจะเป็นใบ ลำต้น ดอก และราก ก็มีสีม่วงแดง สำหรับต้นที่มีการแสดงออกร่วมกันของ *anthocyanidin reductase* และ *PAP1* MYB transcription factor จะให้สีม่วงแดงน้อยกว่าซึ่งจะมีสีเขียวปนด้วย ส่วนต้นที่มีแต่ยืน *anthocyanidin reductase* จะให้ต้นที่มีสีเขียวเหมือนต้นควบคุม (control)

Zhang et. al. (2009) ได้ใช้ยืน *AiCPC* จากต้น *Arabidopsis thaliana* ให้แสดงออกในยาสูบ โดยใช้ ใช้ยาสูบพันธุ์ Xanthi ในการถ่ายยืน *Agrobacterium* สายพันธุ์ EHA 105 และใช้ hygromycin เป็นสารคัดเลือกบนอาหาร ซึ่งผลที่ได้คือ ยาสูบจะมีสีเขียว สีเขียวอมชมพู และสีชมพู

ซึ่งสรุปได้ว่า โปรตีน MYB ถึงจะมาจากหลายพืชที่แตกต่างสปีชีส์กัน แต่ก็มีส่วนในการควบคุม phenylpropanoid metabolism และ pathways ที่เป็นกิ่งก้านสาขา เป็นพวงที่มีการสังเคราะห์ flavonoid งานวิจัยนี้แสดงให้เห็นว่า *AiCPC* สามารถที่จะควบคุมการผลิต anthocyanin ได้

งานวิจัยที่เกี่ยวข้องกับผลของสภาวะเครียดจากสารอาหารที่มีต่อการสังเคราะห์แอนโกลไซยานิน ผลของในโตรเจนที่มีต่อการสังเคราะห์แอนโกลไซยานิน

ในโตรเจนมีผลโดยตรงต่อการเริญเติบโตของต้นยาสูบและมีอิทธิพลต่อคุณภาพของยาสูบมาก (Akehurst *et al.*, 1981) โดยเป็นองค์ประกอบของโซโนโพลามะนี คลอโรฟิลล์ นิโกริน และสารที่สำคัญต่างๆ เช่น สารประกอบจำพวกโปรตีน เป็นต้น สำหรับการใช้ปุ๋ยในโตรเจนในระดับที่สูง สามารถเพิ่มผลผลิตน้ำหนักสดและน้ำหนักแห้งได้ แต่จะทำให้คุณภาพของใบยาแห้งลดลง ในยาสูบปกติจะมีชาตุในโตรเจนอยู่ 2-5 เปอร์เซ็นต์ และในลำต้นมีในโตรเจน 2.5-4.0 เปอร์เซ็นต์ของน้ำหนักแห้ง เมื่อให้ชาตุในโตรเจนแก่ต้นยาสูบน้อยองค์ประกอบของชาตุนี้ลดลงด้วย และเมื่อลดลงถึง 1.5-2.0 เปอร์เซ็นต์ของน้ำหนักแห้ง ต้นยาสูบจะแสดงอาการขาดชาตุในโตรเจน

Lea et al. (2007) จากการศึกษาสภาวะการขาดในโตรเจนที่มีผลต่อการแสดงของยีน *pap1D*, *pap2* และ *GL3* ซึ่งเป็นยีน transcription factors เกี่ยวข้องกับการควบคุมการสังเคราะห์ฟลาโวนอยด์ ซึ่ง MYB และ bHLH จะเป็นตัวควบคุมในการสังเคราะห์ฟลาโวนอยด์ ถูกซักนำในสภาวะที่ขาดในโตรเจนของต้น *Arabidopsis* ซึ่งการตอบสนองต่อการขาดในโตรเจน ทำให้เกิดการสะสมของฟลาโวนอยด์ ที่เพิ่มขึ้น

Shi and Xie (2010) ได้ทำการศึกษาการสังเคราะห์แอนโกลไซยานินต้น *Arabidopsis* ในต้น wild-type (WT) และต้นกล้าพันธุ์ *pap1-D* โดยให้พืชเริญเติบโตในสภาพเงื่อนไขที่เพาะเลี้ยงของแสงและระดับในโตรเจนแตกต่างกัน พบว่า เมื่อเพาะเลี้ยงต้น *Arabidopsis* บนอาหาร MS ที่มี 0 NH_4NO_3 และ 1/2 KNO_3 ซึ่งมีในโตรเจนน้อยกว่าอาหารปกติ และสภาวะแสงที่เพาะเลี้ยง 500 $\mu\text{mol m}^{-2}\text{s}^{-1}$ พบว่าต้น *Arabidopsis* ทั้ง WT และ *pap1-D* มีลักษณะต้นเด้งมากกว่าต้นที่เพาะเลี้ยงในสภาวะอื่นที่มีในโตรเจนมากกว่าและความเข้มแสงน้อย ดังนั้นความเข้มแสงในสภาวะเพาะเลี้ยงและการขาดในโตรเจนมีผลต่อการสังเคราะห์แอนโกลไซยานินในต้น *Arabidopsis* ทั้ง WT และ *pap1-D* ซึ่งทำให้ต้นมีลักษณะเด้ง โดยเฉพาะต้น *pap1-D* มีลักษณะเด้งกว่าต้น WT รวมทั้ง

ระดับการแสดงออกของยีน *pap1*, *PAL1*, *CHS*, *DFR* และ *ANS* ที่มีการแสดงออกอย่างมากในต้น *pap1-D* ซึ่งมากกว่าต้น WT

ผลของน้ำตาลซูโคโรสที่มีต่อการสังเคราะห์แอนโทไซยานิน

Kwon *et al.* (2011) ได้ศึกษา sucrose boxes ที่เกี่ยวข้องกับการแสดงออกของยีน *CHS* ในต้น *Arabidopsis* และน้ำตาลซูโคโรสจะเป็นตัวชักนำให้เกิดการสะสม flavonoid ที่มีระดับความเข้มข้นของน้ำตาลซูโคโรสต่างๆ โดยความเข้มข้นของซูโคโรสปานกลางจะมีการสะสมของระดับแอนโทไซยานินสูงขึ้นในการซักนำการสังเคราะห์แอนโทไซยานิน

Tang *et al.* (2005) ศึกษาการซักนำการสังเคราะห์แอนโทไซยานินโดยน้ำตาลซูโคโรสที่เป็นตัวกระตุ้นการแสดงออกของยีน *pap1/MYB75* ทำให้เกิดการซักนำการสะสมแอนโทไซยานินในต้น *Arabidopsis* ในระดับความเข้มข้นต่างๆ น้ำตาลซูโคโรสหนึ่งนำให้เกิดการเปลี่ยนแปลงแอนโทไซยานิน ในพืช *Arabidopsis* เมื่อน้ำตาลซูโคโรสสูงอาจก่อให้เกิดความเครียดและทำให้พืชมีการสะสมแอนโทไซยานินเพิ่มขึ้นและความเข้มข้นของซูโคโรสต้านมากก็กระตุ้นให้เกิดการสะสมแอนโทไซยานินเช่นเดียวกัน

Cinzia *et al.* (2006) ได้ศึกษาน้ำตาลซูโคโรสหนึ่งนำการสังเคราะห์แอนโทไซยานินในต้น *Arabidopsis* โดยน้ำตาลซูโคโรสซักนำให้เกิดการเปลี่ยนแปลงของยีนที่มีการสังเคราะห์แอนโทไซยานิน และส่งเสริมการแสดงออกของยีน ทำให้มีการสังเคราะห์แอนโทไซยานินสูงขึ้น

ผลของฟอสฟอรัสที่มีต่อการสังเคราะห์แอนโทไซยานิน

Yin *et al.* (2012) ทำการศึกษาการขาดฟอสฟอรัสของการสังเคราะห์แอนโทไซยานินและการแสดงออกของยีนที่เกี่ยวข้องในการเพาะเลี้ยงเซลล์อ่อนุ่น เมื่อเซลล์อ่อนุ่นที่เพาะเลี้ยงในอาหารที่ขาดฟอสฟอรัสจะมีการสังเคราะห์แอนโทไซยานินเพิ่มมากขึ้น และมียีน *VvmybA1*, *UFGT* และ *CHS* แสดงออกมาก

Xie *et al.* (2006) ได้ศึกษาการถ่ายยีน *pap1* รวมกับยีน *ANR* ข้าไปในต้นยาสูบ พบร่วมกับยีน *pap1* และยีน *ANR* สามารถส่งเสริมในต้นยาสูบมีสีแดงทึบตันแต่มีสีแดงน้อยกว่าต้นที่มีแต่ยีน *pap1* เพียงอย่างเดียว เพราะยีน *ANR* จะไปทำให้ต้นยาสูบมีการสังเคราะห์โปรแอนโทไซยานิน ที่ไม่มีสี จึงทำให้มีสีที่แดงน้อยกว่า ต้นยาสูบที่มีแต่ยีน *pap1* เพียงอย่างเดียว ซึ่งยาสูบดักแปลงพันธุกรรมที่มียีน *pap1* การสังเคราะห์แอนโทไซยานิน Cynanidin มากที่สุด ส่วนการถ่ายยีนนั้นยัง

pap1 จากต้น *Arabidopsis* สามารถส่งเสริมให้ต้นยาสูบสั้นเคราะห์แอนโทไซยานินได้ ทำให้มีสารสีม่วง แดง

Tang *et al.* (2005) ศึกษาน้ำตาลชูโครสที่มีผลขักรน้ำให้เกิดการสั้นเคราะห์แอนโทไซยานิน ในต้น *Arabidopsis* โดยนำน้ำตาลชูโครสจะไปกระตุนยีน *pap1/MYB75* ให้แสดงออก น้ำตาลชูโครส ที่ความเข้มข้นต่ำก่อให้เกิดสภาพเครียดจะเป็นตัวกระตุ้นในยีน *pap1/MYB75* แสดงออกมาก และ ส่งผลให้มีการสั้นเคราะห์แอนโทไซยานินเพิ่มขึ้น

อุปกรณ์และวิธีการ

พันธุ์ยาสูบที่ใช้ในการทดลอง

ยาสูบสายพันธุ์เบอร์เลีย (Burley) จาก อ.ดร.กนกรรัณ รุ่มยานนท์ สำนักงานพัฒนา
วิทยาศาสตร์และเทคโนโลยี (สวทช.) และ อ.ดร.ศรีเมฆ ชาวโพงพาง ห้องปฏิบัติการชีวโมเดลคุณ
ภาควิชาโรคพืช คณะเกษตร มหาวิทยาลัยเกษตรศาสตร์ (บางเขน) กรุงเทพมหานคร

พันธุ์ข้าวที่ใช้ในการทดลอง

ข้าวพันธุ์ Kitaake จัดอยู่ในสายพันธุ์ japonica ได้รับความอนุเคราะห์จาก Prof. Dr.
Thomas W. Okita (Washington State University, USA)

พลาสมิด

พลาสมิด *pap1* คือ พลาสมิด pCAMBIA1390 ที่มียีน *hpt* เป็นเครื่องหมายต้านทานสาร
ปฏิชีวนะไอกอร์มัยซินและยีนที่สนใจคือยีน *pap1* ย่อมาจาก *production of anthocyanin pigment 1*
เป็นยีนที่สร้าง MYB Transcription factor ซึ่งควบคุมการสังเคราะห์แอนโกลิไซดานิโนได้จากต้น
Arabidopsis thaliana

สารเคมี

1. 10% Sodium hypochlorite (UNION Science, Thailand)
2. SYBR Safe DNA Gel Stain (Invitrogen , USA)
3. สารละลายน้ำสำหรับการละลายอาร์เอ็นเอ DEPC Treated water
4. Absolute ethanol (Merck, Germany)
5. Agarose (Invitrogen, USA)
6. Chloroform (LAB-SCAN, Thailand)
7. Trizol Rragent (Invitrogen, USA)
8. HCl (Merck, Germany)
9. Methanol (Merck, Germany)
10. liquid nitrogen
11. Superscrip® III cDNA First – strand (Invitrogen, USA)
12. Red Dye Master Mix (Merck, Germany)
13. Propanol (Merck, Germany)

ดีเอ็นเอมาตรฐาน

1. GeneRuler™ 1 kb ladder Plus (Fermentas, USA)
2. λ /EcoRI+ HindIII (Fermentas, USA)

เอนไซม์

DNase I (Biolad NEB, England)

สารปฎิชีวนะที่ใช้ในการทดลอง

ไฮโกรนัยซิน (Hygromycin) (Caisson, USA)

วิธีทดลอง

แบ่งออกเป็น 4 ขั้นตอน ดังนี้

1. การทดลองเพาะเลี้ยงยาสูบ
2. การทดลองเพาะเลี้ยงต้นข้าว
3. การวัดปริมาณแอนโทไซยานิน
4. การวิเคราะห์การแสดงออกของยีนโดยเทคนิค semi-quantitative RT-PCR

1. การทดลองเพาะเลี้ยงยาสูบ

อาหารที่ใช้ในการทดลอง

1. อาหารสำหรับเพาะเมล็ดยาสูบ อาหารสูตร MS ที่ไม่เติมสารควบคุมการเจริญเติบโต ประกอบด้วยน้ำตาล 30 กรัมต่อลิตร และวุ้น 7 กรัมต่อลิตร
2. อาหารที่ใช้ในการทดลอง คือ อาหารสูตร MS ที่มีสภาวะความเครียดที่แตกต่างกัน ที่ดัดแปลงมาจากสูตรอาหาร MS เพื่อใช้ในการทดลอง ดังนี้

สภาวะความเข้มข้นของไนโตรเจนโดยไฟฟ์

MS-1 : NH_4NO_3 1:KNO₃1

MS-2 : NH_4NO_3 1/2 : KNO₃1/2

MS-3 : NH_4NO_3 0:KNO₃1/2

MS-4 : NH_4NO_3 0:KNO₃0

สภาวะความเข้มข้นของซูโครัสโดยให้

S-1 : Sucrose 0 mM

S-2 : Sucrose 50 mM

S-3 : Sucrose 100 mM

S-4 : Sucrose 200 mM

สภาวะความเข้มข้นของฟอสฟอรัสโดยให้

K-1 : KH₂PO₄ 0 mM

K-2 : KH₂PO₄ 0.625 mM

K-3 : KH₂PO₄ 1.25 mM

นายเหตุ สูตรอาหารสำหรับเพาะเมล็ดยาสูบ Transgenic (TR) ให้เติมสารปฎิชีวนะไฮโกรามycin (Hygromycin) ในอาหารปริมาณ 600 ไมโครลิตรต่อลิตร (ความเข้มข้น 30 มิลลิกรัมต่อลิตร) เพื่อคัดเลือกต้นยาสูบที่มียีน *pap 1* สำหรับอาหารที่ใช้เพาะเมล็ดยาสูบที่เป็น Wild type (WT) ไม่ต้องเติมสารปฎิชีวนะไฮโกรามycin (Hygromycin)

วิธีการทดลอง

การทดลองที่ 1 การเพาะเลี้ยงยาสูบบนสภาวะเครียดที่มีความเข้มข้นของไนโตรเจนแตกต่างกัน โดยนำต้นอ่อนเป็นเวลา 4 สัปดาห์ ที่เพาะเลี้ยงบนเพลทอาหารสูตร MS ข้ายต้นอ่อนไปนาเพาะเลี้ยงในขวดอาหารที่มีที่มีความเข้มข้นในไนโตรเจนต่าง ๆ ดังนี้

MS-1 : 1 NH₄NO₃; 1 KNO₃

MS-2 : 1/2 NH₄NO₃; 1/2 KNO₃

MS-3: 0 NH₄NO₃; 1/2 KNO₃

MS-4: 0 NH₄NO₃; 0 KNO₃

การทดลองที่ 2 การเพาะเลี้ยงยาสูบบนสภาวะเครียดที่มีความเข้มข้นของซูโครัสแตกต่างกัน โดยนำต้นอ่อนเป็นเวลา 4 สัปดาห์ที่เพาะเลี้ยงบนเพลทอาหารสูตร MS ข้ายต้นอ่อนไปนาเพาะเลี้ยงในขวดอาหารที่มีที่มีความเข้มข้นซูโครัสต่าง ๆ ดังนี้

S-1 : 0 mM Sucrose

S-2 : 50 mM Sucrose

S-3 : 100 mM Sucrose

S-4 : 200 mM Sucrose

การทดลองที่ 3 การเพาะเลี้ยงยาสูบบนสภาวะเครียดที่มีความเข้มข้นของฟอสฟอรัสแตกต่างกัน โดยนำต้นอ่อนเป็นเวลา 4 สัปดาห์ที่เพาะเลี้ยงบนเพลทอาหารสูตร MS ขับต้นอ่อนไปมาเพาะเลี้ยงในขวดอาหารที่มีที่มีความเข้มข้นฟอสฟอรัสต่าง ๆ ดังนี้

K-1 : 0 mM KH_2PO_4

K-2 : 0.625 mM KH_2PO_4

K-3 : 1.25 mM KH_2PO_4

การทดลองที่ 3 การทดลองนี้ได้นำต้นยาสูบ WT และต้นยาสูบ TR มาทำการทดลอง โดยต้นยาสูบ WT ใช้เป็นต้นควบคุม และต้นยาสูบ TR เป็นต้นที่ทำการศึกษาการสร้างแอนโกลไซยานิน วิธีทดลอง

การเพาะเลี้ยงยาสูบบนสภาวะเครียดที่มีความเข้มข้นของไนโตรเจน โซเดียม และฟอสฟอรัสที่มีระดับความเข้มข้นแตกต่างกัน โดยนำต้นอ่อนเป็นเวลา 4 สัปดาห์ที่เพาะเลี้ยงบนเพลทอาหารสูตร MS ขับต้นอ่อนไปเพาะเลี้ยงในขวดอาหารที่มีขั้นตอนและวิธีการดำเนินงานทดลอง ดังต่อไปนี้

การเพาะเมล็ดยาสูบเพื่อเตรียมสำหรับการทดลอง

1. แกะเมล็ดยาสูบ WT และ TR ออกแล้วนำมาย้อมด้วยผ้าขาวบาง
2. ฟอกผ่าเชื้อด้วยแอลกอฮอล์ 70 เปอร์เซ็นต์ ปริมาตร 35 มิลลิลิตร เขย่าเบาๆ เป็นเวลา 15 วินาที จากนั้นเทแอลกอฮอล์ทิ้ง
3. หลังจากนั้นฟอกผ่าเชื้อด้วยโซเดียมไอกไซเดียมไฮเปอร์คลอไรด์เข้มข้น 10 เปอร์เซ็นต์ ปริมาตร 35 มิลลิลิตร เขย่าโดยใช้เครื่องเขย่า ความเร็ว 150 รอบต่อนาที นาน 15 นาที เมื่อครบ 15 นาที ให้เทโซเดียมไฮเปอร์คลอไรด์ทิ้ง แล้วเติมโซเดียมไฮเปอร์คลอไรด์ 10 เปอร์เซ็นต์ นำไปเยียบอีกครั้ง (ทำ 2 รอบ)

4. หลังจากครั้งที่ 2 ให้เทโซเดียมไอกไซเปอร์คลอไรด์ทิ้ง (โดยขันตอนนี้ต้องทำในตู้ปลอดเชื้อ) แล้วล้างด้วยน้ำกลับอีก 5 ครั้ง
5. นำเมล็ดยาสูบวางบนอาหาร MS ปกติ โดยวาง 30 เมล็ดต่อ 1 งานเพาะเลี้ยง หลังจากนั้นนำไปเลี้ยงในห้องความคุณอุณหภูมิ โดยให้แสง 16 ชั่วโมงต่อวัน ที่อุณหภูมิ 28 ± 2 องศาเซลเซียสเป็นเวลา 4 สัปดาห์
6. เมื่อต้นยาสูบอายุ 4 สัปดาห์ ทำการขยับลงอาหารในสภาวะเครียดของสารอาหาร ในโตรเจน น้ำตาลซูโครัส และฟอสฟอรัส (ขวด 12 อนซ.) หลังจากนั้นนำไปเลี้ยงในห้องความคุณอุณหภูมิ โดยให้แสง 16 ชั่วโมงต่อวัน ที่อุณหภูมิ 28 ± 2 องศาเซลเซียส เป็นเวลา 2 สัปดาห์
7. หลังจากขยับต้นยาสูบครบ 2 สัปดาห์ รวมเป็น 6 สัปดาห์ ทำการวัดแอนโทไซยานินและสกัด RNA เพื่อตรวจสอบการแสดงออกขึ้นต่างๆ ได้แก่ *actin, papl, CHS, CHI, F3H, F3'H, DFR และ ANS*

2 การทดลองเพาะเลี้ยงต้นข้าว

การเตรียมอาหารสูตร MS สำหรับเพาะเลี้ยงต้นข้าว

1. อาหารที่ใช้เป็นอาหารสูตร MS หักนำไปเมล็ดข้าวเกิด ยอด راك และต้น
2. ในการเพาะเลี้ยงเมล็ดข้าวตัดเปล่งพันธุกรรม (TR) บนอาหารสูตร MS ที่เติมไอกซ์โกร์มบีชิน โดยเติมไอกซ์โกร์มบีชินความเข้มข้น 50 มิลลิกรัม/มิลลิลิตร ปริมาตร 300 ไมโครลิตร ลงในอาหาร 500 มิลลิลิตร (ให้มีความเข้มข้นสุดท้ายของไอกซ์โกร์มบีชินเท่ากับ 30 มิลลิกรัม/ลิตร) ในการทำการทดลอง ได้แบ่งออกเป็น 3 การทดลอง ดังนี้

การทดลองที่ 1 การเพาะเลี้ยงข้าวในสภาวะเครียดที่มีความเข้มข้นของไอกซ์โกร์มบีชิน โดยทำการเพาะเลี้ยงเมล็ดข้าวนบนอาหารสูตร MS เป็นเวลาครบ 2 สัปดาห์ และขยับต้นอ่อนไปเพาะเลี้ยงบนอาหารสูตร MS ในขวดอาหารที่มีที่มีความเข้มข้นของไอกซ์โกร์มบีชินต่าง ๆ เป็นเวลา 3 สัปดาห์ ซึ่งมีระดับความเข้มข้นของไอกซ์โกร์มบีชินที่ต่างกัน ดังนี้

MS-1 : 1 NH_4NO_3 ; 1 KNO_3

MS-2 : 1/2 NH_4NO_3 ; 1/2 KNO_3 ,

MS-3: 0 NH_4NO_3 ; 1/2 KNO_3

MS-4: 0 NH_4NO_3 ; 0 KNO_3

การทดลองที่ 2 การเพาะเลี้ยงข้าวในสภาวะเครียดที่มีความเข้มข้นของซูโครัสแตกต่างกัน โดยทำการเพาะเลี้ยงเมล็ดข้าวนอกอาหารสูตร MS เป็นเวลาครบ 2 สัปดาห์ และข้ายต้นอ่อนไปเพาะเลี้ยงบนอาหารสูตร MS ใน恢ดอาหารที่มีความเข้มข้นของซูโครัสต่าง ๆ เป็นเวลา 3 สัปดาห์ ซึ่งระดับความเข้มข้นของซูโครัสมีดังนี้

S-1 : 0 mM Sucrose

S-2 : 50 mM Sucrose

S-3 : 100 mM Sucrose

S-4 : 200 mM Sucrose

การทดลองที่ 3 การเพาะเลี้ยงข้าวในสภาวะเครียดที่มีความเข้มข้นของฟอสฟอรัสแตกต่างกัน โดยทำการเพาะเลี้ยงเมล็ดข้าวนอกอาหารสูตร MS เป็นเวลาครบ 2 สัปดาห์ และข้ายต้นอ่อนไปเพาะเลี้ยงบนอาหารสูตร MS ใน恢ดอาหารที่มีความเข้มข้นของฟอสฟอรัสต่าง ๆ เป็นเวลา 3 สัปดาห์ ซึ่งระดับความเข้มข้นของฟอสฟอรัสที่ทำการทดลองมีดังนี้

K-1 : 0 mM KH_2PO_4

K-2 : 0.625 mM KH_2PO_4

K-3 : 1.25 mM KH_2PO_4

โดยทั้ง 3 การทดลองนี้ เพาะเลี้ยงเมล็ดข้าว Wild-type (WT) บนอาหารที่ไม่เติมสารปฏิชีวนะ ไฮโกรนัมยชิน และเพาะเลี้ยงเมล็ดข้าวคัดเปล่งพันธุกรรม (TR) บนอาหารสูตร MS ที่เติมไฮโกรนัมยชินเพื่อทำการคัดเลือกต้นที่มียีน *papI* และใน恢ดอาหารสูตร MS เพาะเลี้ยงต้นข้าว ไม่มีการเติมไฮโกรนัมยชิน เพราะไฮโกรนัมยชิน มีผลต่อการเจริญเติบโตของต้นข้าว ทำให้ต้นข้าว TR ที่เพาะเลี้ยงบนสูตรอาหาร MS ที่มีไฮโกรนัมยชินเล็กกว่าต้นข้าว WT ที่เพาะเลี้ยงใน恢ดอาหารสูตร MS จึงไม่เติมไฮโกรนัมยชิน

การเพาะเลี้ยงต้นข้าว

การขักนำเมล็ดข้าว

1. แกะเมล็ดข้าว WT และ TR
2. ฟอกนำเชื้อเมล็ดด้วยแอลกอฮอล์ 70 เปอร์เซ็นต์ในปริมาตร 35 มิลลิลิตร เขย่าเบาๆ 15 วินาที เสร็จแล้วเทแอลกอฮอล์ทิ้ง
3. หลังจากนั้นฟอกนำเชื้อด้วยโซเดียมไฮเปอร์คลอไรด์ 10 เปอร์เซ็นต์ในปริมาณ 35 มิลลิลิตร เขย่าโดยใช้เครื่องเขย่า ความเร็ว 150 รอบ/นาที เป็นเวลา 15 นาที เมื่อครบ 15 นาที ให้เท

โฉเดิมไสเปอร์คลอไรด์ 10 เปอร์เซ็นต์ทึ้งแล้วเติมโฉเดิมไสเปอร์คลอไรด์ 10 เปอร์เซ็นต์นำไปเขย่าอีก (ทำ 2 รอบ)

4. หลังจากเขย่าครั้งที่ 2 เสร็จ ให้เทโฉเดิมไสเปอร์คลอไรด์ 10 เปอร์เซ็นต์ทึ้ง (โดยขั้นตอนนี้ต้องทำในตู้ป้องกันเชื้อ) แล้วล้างด้วยน้ำกลั่นอีก 5 ครั้ง
5. นำเมล็ดข้าววางบนอาหารสูตร MS ที่มีระดับความเข้มข้นของไนโตรเจน โดยรวม 15 เมล็ดต่อ 1 ชานเพาะ
6. นำไปวางในห้องที่ควบคุมอุณหภูมิ 28 ± 2 องศาเซลเซียส ใช้แสง 16 ชั่วโมง/วัน

การขยี้ต้นข้าว

ทำการขยี้ต้นอ่อนข้าวที่เพาะเลี้ยงบนเพลทอาหาร MS มาเพาะเลี้ยงในขวดอาหารสูตร MS (ขั้นตอนนี้ทำในตู้ป้องกันเชื้อ เพื่อป้องกันต้นข้าวปนเปื้อนเชื้อต่างๆ) เมื่อเพาะเลี้ยงข้าวบนเพลทอาหารสูตร MS เป็นเวลา 2 สัปดาห์ ทำการขยี้ต้นอ่อนไปข้าวเพาะเลี้ยงในขวดอาหารสูตร MS ที่มีระดับความเข้มข้นของไนโตรเจน ชูโกรสทรีโอฟอสฟอรัส เป็นเวลา 3 สัปดาห์ นำไปวางในห้องที่ควบคุมอุณหภูมิอุณหภูมิ 28 ± 2 องศาเซลเซียส ใช้แสง 16 ชั่วโมง/วัน จากนั้นจึงนำมาสกัดแอนโทไชyaninเพื่อวัดปริมาณแอนโทไชyaninและสกัดอาร์เอ็นเอ นำมาทำการตรวจสอบการแสดงออกของยีนที่เกี่ยวข้องในการสังเคราะห์แอนโทไชyaninโดยใช้เทคนิค semi – quantitative RT - PCR

3. การวัดปริมาณแอนโทไชyanin

1. ชั่งต้นยาสูบนำหนัก 100 - 200 กรัม
2. นำต้นยาสูบที่ชั่งไปปิดในโกร่งให้กระเอียด
3. เมื่อกระเอียดแล้วให้กระลายด้วย extraction buffer ปริมาตร 500 ไมโครลิตร (extraction buffer ประกอบด้วย 80% (v/v) methanol และ 1% (v/v) HCl) และขยี้ไปยังหลอดในโกรทิวปี
4. นำไปปั่นเหวี่งที่ 12,000 รอบต่อนาที นาน 5 นาที เพื่อให้ตกรตะกอน
5. เมื่อตกรตะกอนให้คูดส่วนใส (supernatant) ใส่หลอดในโกรทิวปีใหม่
6. เติม chloroform ปริมาตร 500 ไมโครลิตร แล้วผสมให้เข้ากัน (vortex)
7. นำไปปั่นเหวี่งอีกครั้งที่ 12,000 รอบต่อนาที นาน 5 นาที
8. คูดเก็บส่วนบน (aqueous / methanol phase) ใส่หลอดในโกรทิวปี
9. นำไปวัดโดยเครื่องสเปกโตรโฟโตมิเตอร์ ที่ค่าดูดกลืนแสง A_{530} และ A_{657}

$$10. \text{ นำค่าที่ได้คำนวณจากสูตร ปริมาณแอนโธไซยานิน} = \frac{A_{530} - A_{657}}{\text{น้ำหนักสด}}$$

**4. การวิเคราะห์การแสดงออกของยีนโดยเทคนิค semi-quantitative RT-PCR
การสกัดอาร์เอ็นเอทั้งหมด (total RNA)**

1. ขั้นตอน Homogenization

- 1.1. บดใบอ่อนหนัก 100-200 กรัม โดยใช้ในโตรเจนเหลว
- 1.2. เติม Trizol® reagent 0.5 มิลลิลิตร ลงในหลอดในโครทิวป์

2. ขั้นตอน Phase separation

- 2.1. บ่มที่อุณหภูมิห้อง เป็นเวลา 5 นาที
- 2.2. เติม Chloroform 0.1 มิลลิลิตร
- 2.3. พลิกกลับหลอด เป็นเวลา 15 วินาที
- 2.4. บ่มที่อุณหภูมิห้อง เป็นเวลา 2-3 นาที
- 2.5. ปั่นเหวี่ยงที่อุณหภูมิ 4 องศาเซลเซียส ที่ความเร็ว 12,000 รอบ/นาที เป็นเวลา 20 นาที

3. ขั้นตอนตกรตะกอนอาร์เอ็นเอ

- 3.1. ดูดส่วนไส้ชั้นบนใส่ในหลอดใหม่ประมาณ 500 ไมโครลิตร
- 3.2. จากนั้นเติม Isopropyl alcohol 500 ไมโครลิตร
- 3.3. บ่มที่อุณหภูมิห้อง เป็นเวลา 10 นาที
- 3.4. ปั่นเหวี่ยงที่อุณหภูมิ 4 องศาเซลเซียส ที่ความเร็ว 12,000 รอบ/นาที เป็นเวลา 10 นาที

4. ขั้นตอนล้างตะกอนอาร์เอ็นเอ

- 4.1. เทส่วนไส้ทึบลงบน
- 4.2. เติม 75% ethanol 1 มิลลิลิตร
- 4.3. ปั่นเหวี่ยงที่อุณหภูมิ 4 องศาเซลเซียส ที่ความเร็ว 12,000 รอบ/นาที เป็นเวลา 5 นาที
- 4.4. เทส่วนไส้ทึบ ทำเหมือนข้อ 4.1-4.3 ซ้ำอีกครั้ง
- 4.5. ตากตะกอนให้แห้ง เป็นเวลา 25-30 นาที

5. ขั้นตอนการละลายตะกอนอาร์เอ็นเอ

- 5.1. ละลายตะกอนกลับด้วย DEPC - treated water 30 ไมโครลิตร
- 5.2. ผสมให้เข้ากัน แล้วบ่มที่อุณหภูมิห้อง เป็นเวลา 15 นาที

การสังเคราะห์ First Strand cDNA

1. นำอาร์เอ็นเอทั้งหมดที่สกัดได้ ทำให้เป็น cDNA โดยใช้เทคนิค reverse transcription โดยใช้ Oligo(dT) เป็นไพรเมอร์ในการสังเคราะห์ cDNA เตรียมส่วนประกอบดังต่อไปนี้

องค์ประกอบ	ปริมาณที่ใช้ (ในโคลลิตร/ปฏิกิริยา)
Total RNA	6
Primer (50 µM oligo(dT))	1
10 mM dNTP mix	1
DEPC - Treated water	2
Total	10

2. บ่มที่ 65 องศาเซลเซียส เป็นเวลา 5 นาที และเมื่อครบ 5 นาที นำหลอดออกมายจากเครื่อง PCR และวางบนน้ำแข็ง เป็นเวลา 1 นาที เตรียมปฏิกิริยา cDNA synthesis ดังต่อไปนี้

องค์ประกอบ	ปริมาณที่ใช้ (ในโคลลิตร/ปฏิกิริยา)
10X RT buffer	2
25mM MgCl ₂	4
0.1M DTT	2
RNase Out (40 U/µl)	1
Superscript III RT (200 U/µl)	1
Total	10

3. เติม cDNA synthesis Mix 10 ไมโครลิตร ในแต่ละหลอดที่เตรียมไว้ในข้อ 2 ผสม และ spin down จากนั้นบ่มที่อุณหภูมิ 60 องศาเซลเซียส เป็นเวลา 50 นาที

4. หยุดปฏิกิริยาที่อุณหภูมิ 85 องศาเซลเซียส เป็นเวลา 5 นาที และวางบนน้ำแข็งทันที

5. Spin down และเติม RNase H ปริมาณ 1 ไมโครลิตร และนำไปบ่มที่ 37 องศาเซลเซียส เป็นเวลา 20 นาที

6. cDNA ที่ได้สามารถนำไปเก็บไว้ตู้เย็นที่ -20 องศาเซลเซียส เพื่อใช้ในการศึกษาต่อไป

**การตรวจสอบการแสดงออกของยีนที่เกี่ยวข้องในการสังเคราะห์แอนโทไซยานินโดยใช้
เทคนิค semi – quantitative RT - PCR**

ตรวจสอบการแสดงออกของยีนต่างๆที่เกี่ยวข้องในการสังเคราะห์แอนโทไซยานิน ได้แก่ ยีน *pap1*, *CHI*, *CHS*, *F3H*, *F3'H*, *DFR*, *ANS* และ *actin* ใช้ไพรเมอร์ที่จำเพาะต่อยีนนั้น ๆ โดยใช้ Red Master Mix (Merck, Germany) ที่มีองค์ประกอบดังต่อไปนี้

องค์ประกอบ	ปริมาณที่ใช้ (ไมโครลิตร/ปฏิกิริยา)
Red Master Mix	10
Primer F 10 μ M (ของยีนที่ทำการศึกษา)	1
Primer R 10 μ M (ของยีนที่ทำการศึกษา)	1
dH ₂ O	7.5
cDNA	0.5
Total	20

ตารางที่ 1 ยีนที่ตรวจสอบการแสดงออกในต้นยาสูบ, Product size และ Annealing temperature ใน การทำ PCR

ชื่อยีน	Product size (bp)	Annealing temperature (องศาเซลเซียส)
<i>production of anthocyanin pigment I (pap1)</i>	400	53
<i>Chalone synthase (CHS)</i>	215	54
<i>Chalone isomerase (CHI)</i>	222	54
<i>Flavanone 3 – Hydroxylase (F3H)</i>	206	54
<i>Flavanone 3' – Hydroxylase (F3'H)</i>	228	53
<i>Dihydroflavonol reductase (DFR)</i>	201	53
<i>Anthocyanidin synthase (ANS)</i>	222	54
<i>Actin</i>	231	48

สภาวะในการทำ PCR มีดังนี้

Initial denaturation	95 องศาเซลเซียส	3 นาที	28 รอบ
Denaturation	95 องศาเซลเซียส	1 นาที	
Annealing	xx องศาเซลเซียส (อุณหภูมิ ตามตารางที่ 1)	1 นาที	
Extension	72 องศาเซลเซียส	1 นาที	
Final extension	72 องศาเซลเซียส	5 นาที	

จากนั้นนำไปวิเคราะห์ด้วยการทำ agarose gel electrophoresis

ตารางที่ 2 ยืนยันตรวจสอบการแสดงออกในข้าว, Product size และ Annealing temperature ในการทำ PCR

ชื่อยีน	Product size (bp)	Annealing Temp. (องศาเซลเซียส)
<i>Osactin</i>	276	53
<i>OsANS</i>	527	57
<i>OsDFR</i>	383	54
<i>OsF3'H</i>	479	55
<i>OsF3H</i>	469	52
<i>OsCHI</i>	337	54
<i>OsCHS</i>	365	53

สภาวะในการทำ PCR มีดังนี้

Initial denaturation	95 องศาเซลเซียส	3 นาที	26 รอบ
Denaturation	95 องศาเซลเซียส	1 นาที	
Annealing	xx องศาเซลเซียส (อุณหภูมิ ตามตารางที่ 2)	1 นาที	
Extension	72 องศาเซลเซียส	1 นาที	
Final extension	72 องศาเซลเซียส	5 นาที	

การวิเคราะห์ผล semi-quantitative RT-PCR ด้วยเทคนิค agarose gel electrophoresis

ชั้ง agarose 1 มิลลิกรัม เติม 0.5X TBE buffer 100 มิลลิลิตร หลอมเจลผสมให้เป็นเนื้อเดียวกัน รอให้อุณหภูมิลดลงพอเอามือจับได้จึงเติม SYBR Safe DNA Gel Stain (Invitrogen, USA) เทใส่ถ้วยเจล ทึ่งไว้ที่อุณหภูมิห้องเพื่อให้เจลแข็งตัวในที่มีด เมื่อเจลแข็งตัวให้ขย้ำถ้วยเจลใส่ใน chamber เติม 0.5X TBE buffer ให้ท่วมเจล จากนั้นนำตัวอย่างที่ได้จากการทำ semi-quantitative RT - PCR ใส่ลงในหลุม (well) เจล และใช้ DNA มาตรฐาน 1 kb DNA ladder (Fermentas, USA) เป็น DNA Marker แล้วให้กระแสไฟฟ้า 100 โวลต์ เป็นเวลา 28 นาที จากนั้นจึงนำเจลที่ได้ไปตรวจสอบภายใต้แสง UV ด้วยเครื่อง UV Transilluminator

ผลการวิจัยและวิจารณ์ผล

ผลการวิจัยยาสูบ

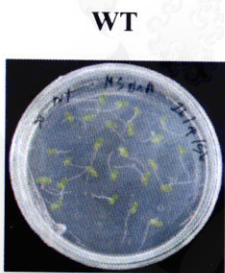
ผลการทดลองที่ 1

การเพาะเลี้ยงเมล็ดยาสูบบนอาหารสูตร MS ปกติ เป็นเวลาครบ 4 สัปดาห์ และข้ามต้นอ่อนไปเพาะเลี้ยงบนอาหารสูตร MS ที่มีความเข้มข้นในโตรเจนแตกต่างกัน

พืโนไทป์ของยาสูบ

เมื่อเพาะเลี้ยงเมล็ดยาสูบบนอาหารสูตร MS ปกติ เป็นเวลา 2 สัปดาห์ พบร่ว่าต้น WT และต้น TR มีการเจริญเติบโตที่ดีในเริ่มแรกแต่ยังไม่มีความแตกต่างกันมาก เมื่อเพาะเลี้ยงในอาหารทึ้ง 4 สูตร ต้นยาสูบ WT และ TR พบร่ว่าเป็นเวลา 4 สัปดาห์ มีการเจริญเติบโตที่ดีในมีขนาดขยายใหญ่ขึ้น เมื่อความเข้มข้นของในโตรเจนลดลงพบร่ว่าต้น TR สังเกตเห็นสีแดงเพิ่มขึ้นตามลำดับ (ภาพที่ 7)

ต้นยาสูบ อายุ 2 สัปดาห์

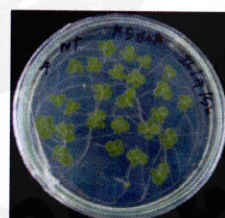


TR

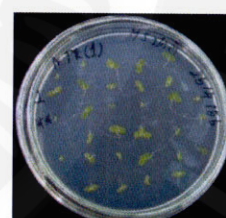


ต้นยาสูบ อายุ 4 สัปดาห์

WT

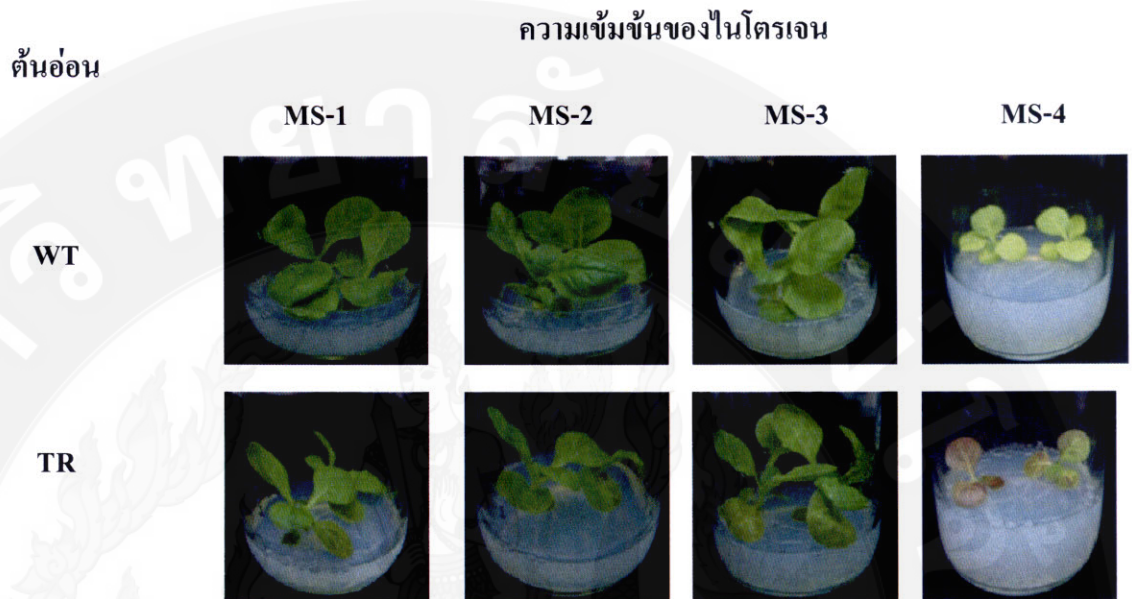


TR



ภาพที่ 7 เปรียบเทียบการเจริญเติบโตของต้น WT และต้น TR เพาะเลี้ยงบนอาหารสูตร MS ปกติ (MS-1) เป็นเวลา 2 สัปดาห์ และ 4 สัปดาห์

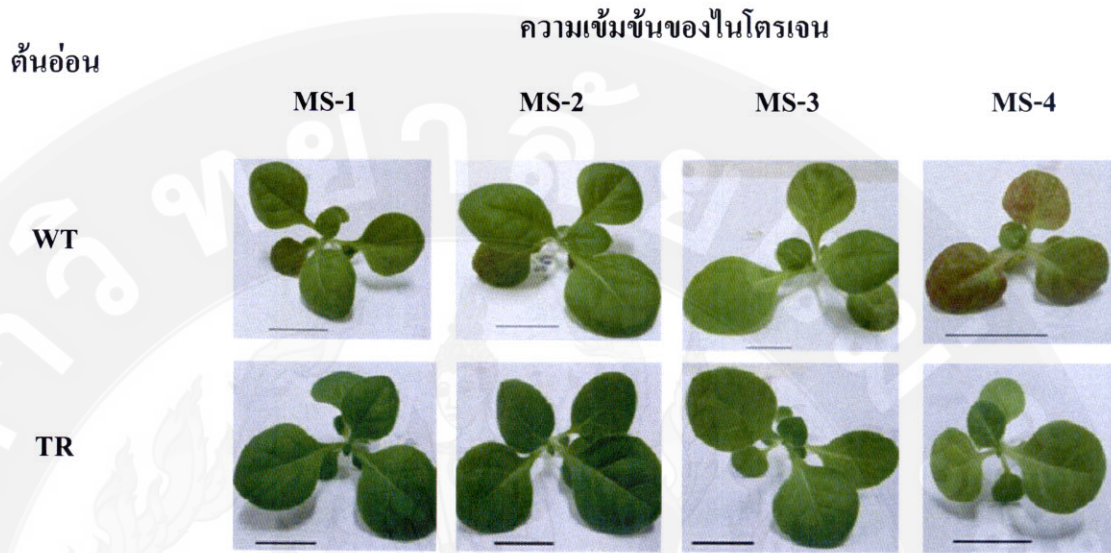
ทำการข้ามต้นอ่อน (อายุ 4 สัปดาห์) ไปเพาะเลี้ยงในขวดอาหารสูตร MS ที่มีระดับความเข้มข้นของในโตรเจน 4 ระดับ คือ MS-1 ($1\text{ NH}_4\text{NO}_3$; 1 KNO_3), MS-2 ($1/2\text{ NH}_4\text{NO}_3$; $1/2\text{ KNO}_3$), MS-3 ($0\text{ NH}_4\text{NO}_3$; $1/2\text{ KNO}_3$) และ MS-4 ($0\text{ NH}_4\text{NO}_3$; 0 KNO_3) เป็นเวลา 3 สัปดาห์ พบร่ว่าต้น TR ในเป็นสีแดงและแดงมากขึ้น เมื่อระดับความเข้มข้นของในโตรเจนลดลง คือ MS-1 ใบมีสีแดงน้อยที่สุด และ MS-4 ใบมีสีแดงมากที่สุด โดยที่ต้น WT มีใบเป็นสีเขียว (ภาพที่ 8)



ภาพที่ 8 การเจริญเติบโตของต้น WT และ ต้น TR เพาะเลี้ยงในขวดอาหารสภาระเครียดที่มีความเข้มข้นของไนโตรเจนแตกต่างกัน (MS-1, MS-2, MS-3 และ MS-4) เป็นเวลา 3 สัปดาห์

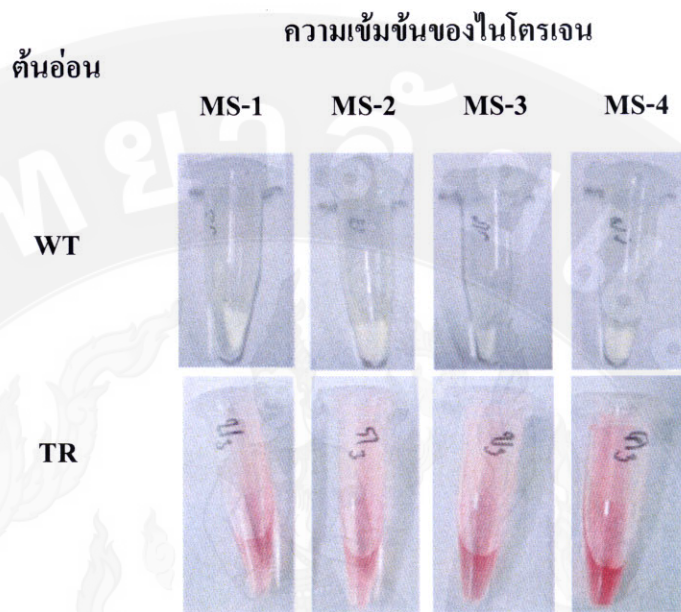
ปริมาณแอนโกลไซยานิน

ต้น WT และ ต้น TR เพาะเลี้ยงในขวดอาหารสูตร MS ที่มีระดับความเข้มข้นของไนโตรเจนแตกต่างกัน คือ MS-1 ($1 \text{ NH}_4\text{NO}_3$: 1 KNO_3), MS-2 ($1/2 \text{ NH}_4\text{NO}_3$: $1/2 \text{ KNO}_3$), MS-3 ($0 \text{ NH}_4\text{NO}_3$: $1/2 \text{ KNO}_3$) และ MS-4 ($0 \text{ NH}_4\text{NO}_3$: 0 KNO_3) เป็นเวลา 3 สัปดาห์ นำมาสกัดหาปริมาณแอนโกลไซยานินของต้นยาสูบ ลักษณะต้นยาสูบที่นำมาสกัดแอนโกลไซยานิน ต้น WT มีใบสีเขียวและเหลืองซีดลง เมื่อระดับความเข้มข้นของไนโตรเจนลดลง ส่วนต้น TR ในมีสีแดงและแดงเพิ่มขึ้น เมื่อระดับความเข้มข้นของไนโตรเจนลดลง (ภาพที่ 9)



ภาพที่ 9 ต้น WT และต้น TR ก่อนการสกัดอาร์เอ็นเอ และสกัดแอนโทไซยานิน เพาะเลี้ยงบนอาหารสูตร MS-1 เป็นเวลา 4 สัปดาห์ และข้ายต้นอ่อนไปเพาะเลี้ยงในขวดอาหารสูตร MS ที่มีความเข้มข้นไนโตรเจนแตกต่างกัน (MS-1, MS-2, MS-3 และ MS-4) เป็นเวลา 3 สัปดาห์ (Scale bar = 1 เซนติเมตร)

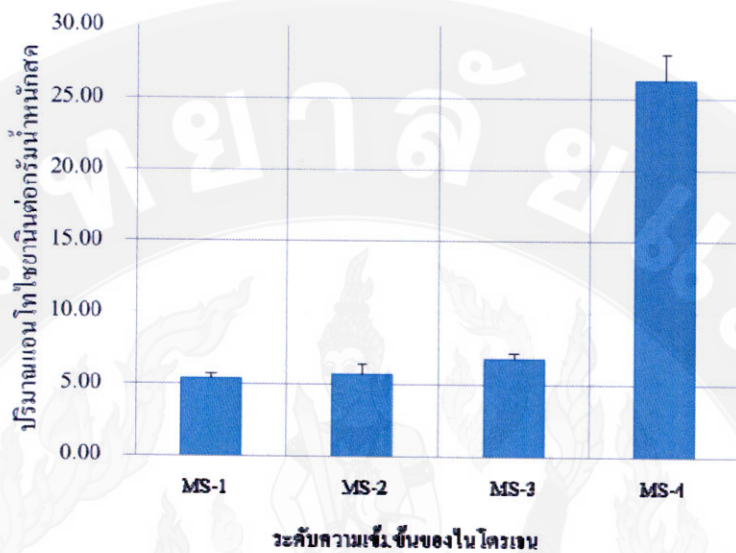
ปริมาณแอนโทไซยานินที่สกัดได้จากต้นยาสูบที่เพาะเลี้ยงบนอาหารที่มีระดับความเข้มข้นของไนโตรเจนที่แตกต่างกัน โดยเฉพาะต้น TR สีที่เห็นมีลักษณะสีแดงที่เข้มขึ้น ตามลำดับ (ภาพที่ 10) นำไปวัดค่าการดูดกลืนแสงด้วยเครื่องสเปกโตรโฟโตมิเตอร์ (spectrophotometer) โดยวัดค่า A_{530} และ A_{657} ได้ค่าเฉลี่ยของปริมาณแอนโทไซยานิน (ตารางที่ 3) และกราฟแสดงค่าเฉลี่ยของปริมาณแอนโทไซยานิน เมื่อระดับความเข้มข้นของไนโตรเจนลดลงปริมาณแอนโทไซยานินเพิ่มขึ้น (ภาพที่ 9 และภาพที่ 10)



ภาพที่ 10 ผลการสกัดแอนโกลไซยานินจากต้น WT และต้น TR เพาะเลี้ยงบนอาหารสูตร MS ปกติ เป็นเวลา 4 สัปดาห์ และนำต้นอ่อนไปเพาะเลี้ยงในขวดอาหารสูตร MS ที่มีความเข้มข้นไนโตรเจนแตกต่างกัน (MS-1, MS-2, MS-3 และ MS-4) เป็นเวลา 3 สัปดาห์

ตารางที่ 3 ปริมาณแอนโกลไซยานินโดยเฉลี่ยในต้น WT และต้น TR เพาะเลี้ยงบนอาหารสูตร MS ที่ระดับความเข้มข้นของไนโตรเจนต่างๆ

ความเข้มข้นในไนโตรเจน	ปริมาณแอนโกลไซยานินต่อกรัมน้ำหนักสด	
	WT	TR
MS-1 NH_4NO_3 ; KNO_3 1: 1	0	5.39
MS-2 NH_4NO_3 ; KNO_3 1/2: 1/2	0	5.79
MS-3 NH_4NO_3 ; KNO_3 0: 1/2	0	6.86
MS-4 NH_4NO_3 ; KNO_3 0: 0	0	26.25

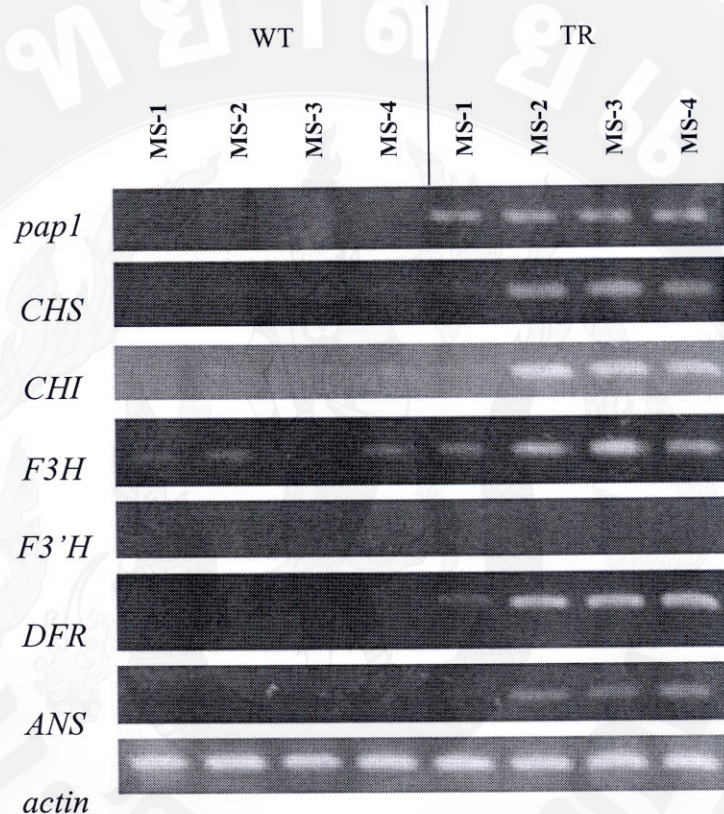


ภาพที่ 11 ปริมาณแอนโloyไซดานินจากต้นยาสูบ TR เพาะเลี้ยงบนอาหารสูตร MS เป็นเวลา 4 สัปดาห์ และข้ายไปเพาะเลี้ยงในขวดอาหารสูตร MS ที่มีความเข้มข้นในโตรเจนแตกต่างกัน (MS-1, MS-2, MS-3 และ MS-4) เป็นเวลา 3 สัปดาห์

การวิเคราะห์การแสดงออกของยีนโดยเทคนิค semi-quantitative RT-PCR

การวิเคราะห์การแสดงออกของยีนในต้นยาสูบที่เพาะเลี้ยงบนอาหารที่มีระดับความเข้มข้นของในโตรเจนที่แตกต่างกัน คือ MS-1 ($1\text{ NH}_4\text{NO}_3$; 1 KNO_3), MS-2 ($1/2\text{ NH}_4\text{NO}_3$; $1/2\text{ KNO}_3$), MS-3 ($0\text{ NH}_4\text{NO}_3$; $1/2\text{ KNO}_3$) และ MS-4 ($0\text{ NH}_4\text{NO}_3$; 0 KNO_3) เป็นเวลา 3 สัปดาห์ นำต้น WT และต้น TR มาทำการสกัดอาร์เอ็นเอ ลักษณะของต้นยาสูบที่ใช้สกัดอาร์เอ็นเอ (ภาพที่ 9) นำอาร์เอ็นเอทั้งหมดมาสังเคราะห์ cDNA เพื่อเป็นแม่พิมพ์ในการตรวจสอบการแสดงออกของยีนด้วยเทคนิค semi-quantitative RT-PCR และใช้ยีน *actin* เป็นยีนเปรียบเทียบ การตรวจสอบระดับการแสดงออกของยีน *pap1* ซึ่งเป็นยีนควบคุมการสังเคราะห์แอนโloyไซดานินอยู่ในต้น TR การตรวจสอบระดับการแสดงออกของยีน *CHS*, *CHI*, *F3H*, *F3'H*, *DFR* และ *ANS* ซึ่งเป็นยีนโตรเจนสร้างที่เกี่ยวข้องกับการสังเคราะห์แอนโloyไซดานิน พบว่า ต้นยาสูบ TR ที่เพาะเลี้ยงบนอาหารที่มีในโตรเจนความเข้มข้นต่างๆ มีการแสดงออกของยีน *pap1* ที่ใกล้เคียงกัน เมื่อทำการวิเคราะห์ยีน *CHS*, *CHI*, *F3H*, *DFR* และ *ANS* พบว่ามีการแสดงออกของยีนมากเมื่อมีความเข้มข้นในโตรเจน

ลดลง และการแสดงออกน้อยหรือไม่มีการแสดงออกเลยของยีน *CHS*, *CHI*, *F3H*, *DFR* และ *ANS* ในต้น WT ยกเว้นยีน *F3'H* ที่ไม่มีการแสดงออกทั้งต้น WT และต้น TR (ภาพที่ 12)



ภาพที่ 12 ผลการตรวจสอบการแสดงออกของยีน *pap1*, *CHS*, *CHI*, *F3H*, *F3'H*, *DFR* และ *ANS* โดยเทคนิค semi-quantitative RT-PCR ของต้น WT และต้น TR เพาะเลี้ยงบนอาหารสูตร MS ปกติ เป็นเวลา 4 สัปดาห์ และข้ายกต้นอ่อนไปเพาะเลี้ยงในบวดอาหารสูตร MS ที่มีความเข้มข้นในโตรเจน แตกต่างกัน (MS-1, MS-2, MS-3 และ MS-4)

ผลการทดลองที่ 2

การเพาะเลี้ยงต้นยาสูบในสภาพแวดล้อมและวัยต้นอ่อนอายุ 4 สัปดาห์ บนอาหารที่มีความเข้มข้นของน้ำตาลซูโครัส 4 ระดับคือ คือ S-1 (0 mM), S-2 (50 mM), S-3 (100 mM) และ S-4 (200 mM)

พีโนไทป์ของยาสูบ

การเพาะเลี้ยงต้นยาสูบในสภาพะปกตินอาหารสูตร MS ต้นยาสูบอายุ 2 สัปดาห์ สังเกตเห็นใบเริ่มอกแต่ยังไม่มีความแตกต่างกันมาก (ภาพที่ 13) เมื่อต้นยาสูบอายุ 4 สัปดาห์ มีการเจริญเติบโตที่เห็นได้ชัดเจน โดยใบมีขนาดใหญ่ขึ้น และสังเกตเห็นการแสดงออกของสีแดงเพิ่มขึ้น จากนั้นทำการย้ายต้นอ่อนเลี้ยงในขวดอาหารสูตร MS ที่มีระดับความเข้มข้นของน้ำตาลซูโครส 4 ระดับ คือ S-1 (0 mM), S-2 (50 mM), S-3 (100 mM) และ S-4 (200 mM) ต้นอ่อนที่อายุ 2 สัปดาห์ หลังจากขยับลงบนอาหารที่มีซูโครสระดับความเข้มข้นต่างๆ ต้น WT มีลักษณะใบสีเขียว ส่วนต้น TR ลักษณะใบล่างเป็นจุดสีแดงและเห็นสีแดงชัดเจนเมื่อเพาะเลี้ยงในความเข้มข้นซูโครสที่เพิ่มขึ้น โดยเฉพาะที่ความเข้มข้นซูโครส S-4 มีใบสีแดงเข้มมากที่สุด (ภาพที่ 14)

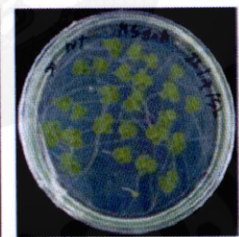
ต้นยาสูบ อายุ 2 สัปดาห์

WT

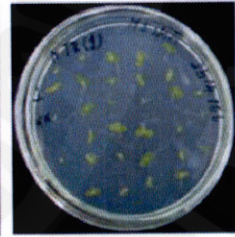


ต้นยาสูบ อายุ 4 สัปดาห์

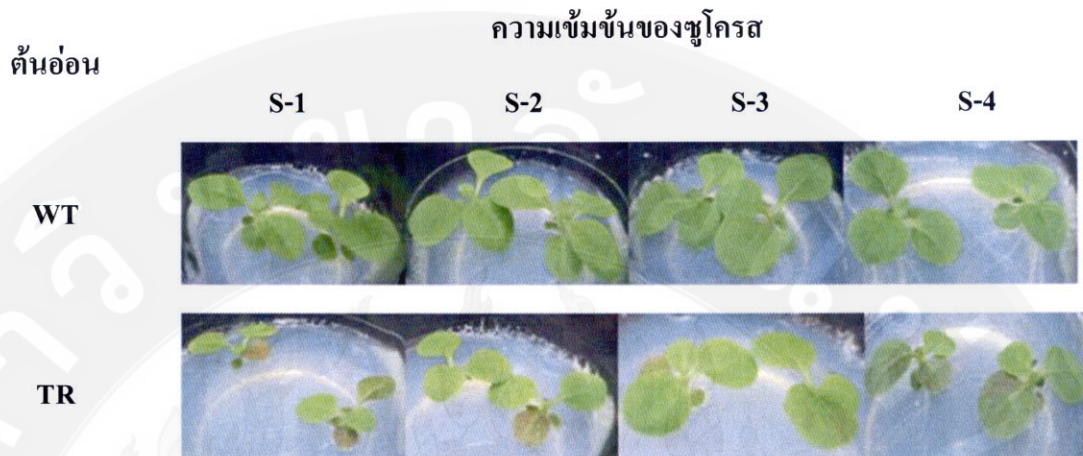
WT



TR



ภาพที่ 13 การเจริญเติบโตของต้น WT และ TR อายุ 2 สัปดาห์ และ 4 สัปดาห์ ที่เพาะเลี้ยงบนอาหารสูตร MS ปกติ

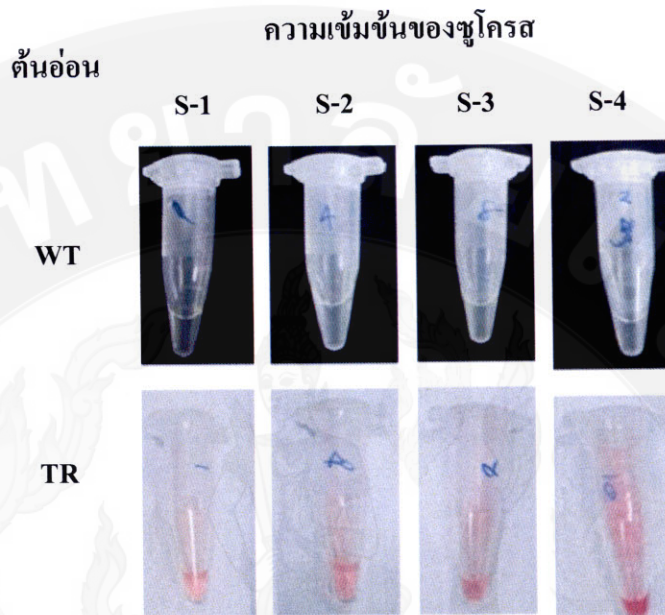


ภาพที่ 14 ต้น WT และต้น TR เพาะเลี้ยงบนอาหารสูตร MS ที่มีความเข้มข้นของน้ำตาลซูโครัส ระดับต่างๆ เป็นเวลา 2 สัปดาห์

ปริมาณแอนโทไซyanin

ต้นยาสูบอายุ 6 สัปดาห์ ที่ทำการเพาะเลี้ยงยาสูบในขวดบนอาหาร MS ที่มีซูโครัสระดับต่างๆ นำมาสกัดปริมาณแอนโทไซyanin (ภาพที่ 14) พบว่า ปริมาณแอนโทไซyanin ในต้นยาสูบ TR เพิ่มขึ้นเมื่อความเข้มข้นของซูโครัสสูงขึ้น ซึ่งสอดคล้องกับผลลัพธ์ของใบต้นยาสูบที่เพาะเลี้ยงบนขวดอาหารที่มีระดับความเข้มข้นของซูโครัสต่างๆ ที่ปรากฏ ทำให้ทราบว่าซูโครัสมีผลต่อการส่งเสริมให้มีการสังเคราะห์แอนโทไซyanin เช่นกัน โดยเฉพาะเมื่อเพาะเลี้ยงบนอาหารที่มีซูโครัส 200 mM (S-4) (ภาพที่ 15)

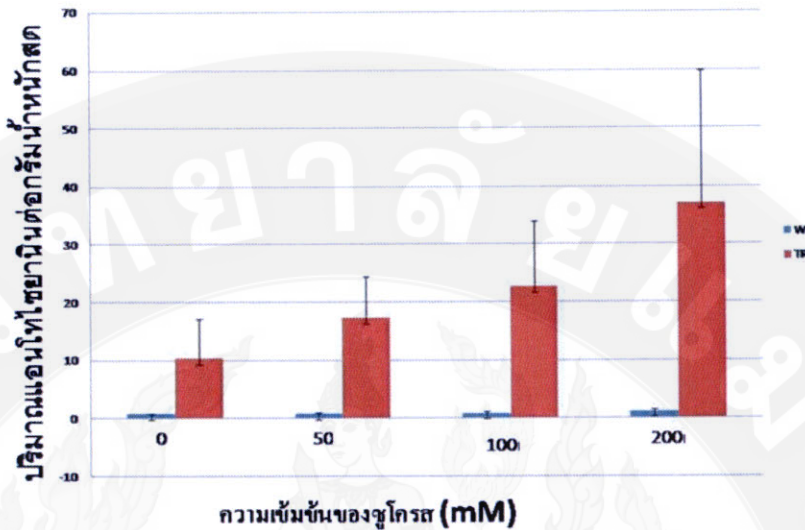
เมื่อทำการวัดค่าการดูดกลืนแสงด้วยเครื่อง spectrophotometer โดยวัดค่า A_{530} และ A_{657} (ตารางที่ 4) ซึ่งแสดงค่าเฉลี่ยของปริมาณแอนโทไซyanin เมื่อระดับความเข้มข้นของน้ำตาลซูโครัสเพิ่มขึ้นพบว่าปริมาณแอนโทไซyanin เพิ่มขึ้น (ภาพที่ 16)



ภาพที่ 15 ลักษณะสีของแอนโทไไซยานินที่สกัดจากต้น WT และต้น TR ที่เพาะเลี้ยงบนอาหารสูตร MS ที่มีความเข้มข้นของน้ำตาลชูโกรสระดับต่างๆ

ตารางที่ 4 ปริมาณแอนโทไไซยานินที่สกัดจากต้น WT และ TR ที่เพาะเลี้ยงบนอาหารสูตร MS ที่มีความเข้มข้นของน้ำตาลชูโกรสระดับต่างๆ โดยการวัดค่าดูดกลืนแสง (A_{530} และ A_{657})

ความเข้มข้นของชูโกรส (mM)	ค่าเฉลี่ยของปริมาณแอนโทไไซยานินต่อกรัมน้ำหนักสดของ WT	ค่าเฉลี่ยของปริมาณแอนโทไไซยานินต่อกรัมน้ำหนักสดของ TR
0	0.858	10.383
50	0.897	17.292
100	0.981	22.700
200	1.332	37.124



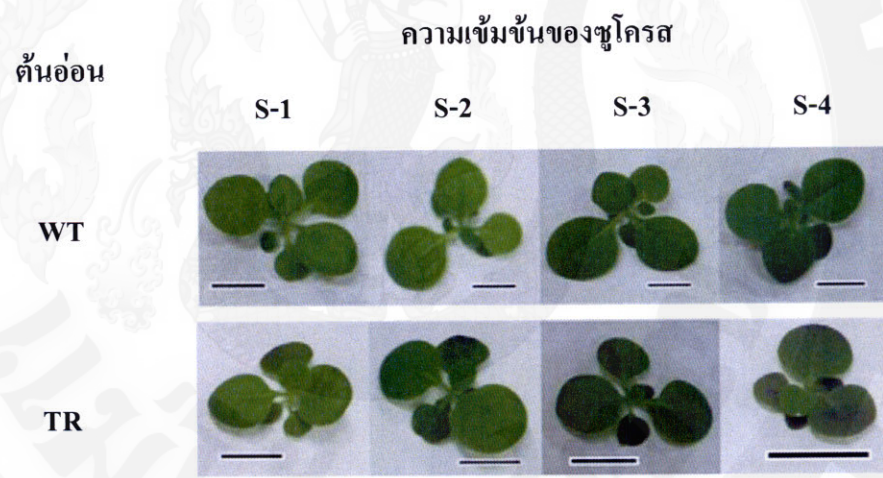
ภาพที่ 16 ค่าเฉลี่ยของปริมาณแอนโトイไซยานินของต้น WT และต้น TR ที่เพาะเลี้ยงบนอาหารสูตร MS ที่มีน้ำตาลชูโกรสความเข้มข้นต่างๆ

การวิเคราะห์การแสดงออกของยีนที่เกี่ยวข้องกับการสังเคราะห์แอนโトイไซยานิน

เมื่อเพาะเลี้ยงต้นอ่อนของยาสูบอายุได้ 4 สัปดาห์ นำมาเพาะเลี้ยงในขาดอาหารสูตร MS ที่มีความเข้มข้นของชูโกรส S-1 (0 mM), S-2 (50 mM), S-3 (100 mM) และ S-4 (200 mM) เป็นเวลา 2 สัปดาห์ นำมาสักด้าร์เอ็นเอเพื่อตรวจสอบการแสดงออกของยีนที่เกี่ยวข้องในการสังเคราะห์แอนโトイไซยานิน (ภาพที่ 17) นำอาร์เอ็นเอมาทำการสังเคราะห์ cDNA เพื่อนำไปเป็นแม่พิมพ์ในการวิเคราะห์การแสดงออกของยีน *pap1*, *CHS*, *CHI*, *F3H*, *F3'H*, *DFR* และ *ANS* ด้วยเทคนิค semi-quantitative RT-PCR โดยใช้ยีน *actin* เป็น internal control พบร่วมกับต้นยาสูบ TR ที่ได้รับการถ่ายยีน *pap1* ทุกต้น ไม่ว่าจะเดิมในอาหารที่มีความเข้มข้นของชูโกรสในระดับใดก็ตามยีน *pap1* มีการแสดงออกที่เท่ากัน และการแสดงออกของยีนโครงสร้างที่เกี่ยวข้องกับการสังเคราะห์แอนโトイไซยานิน พบร่วมกับต้นยาสูบ TR มีการแสดงออกของยีน *CHS*, *CHI*, *F3H*, *DFR* และ *ANS* มีระดับการแสดงออกมากกว่าต้น WT โดยเฉพาะต้นยาสูบที่เพาะเลี้ยงบนอาหารที่มีชูโกรส S-4 มีการแสดงออกของยีนมากที่สุด (ภาพที่ 18) การแสดงออกของยีน *CHI* มีการแสดงออกใกล้เคียงกันระหว่างต้น WT และต้น TR แต่ในต้น TR มีการแสดงออกของยีนมากกว่า ส่วนยีน *CHS*, *F3H*, *DFR* และ *ANS* มีการแสดงออกใกล้เคียงกันแต่ในต้น WT มีการแสดงออกของยีน *CHS*, *F3H*, *DFR* และ *ANS* น้อยมาก แต่ระดับความเข้มข้นของน้ำตาลชูโกรส S-4 มีการแสดงออกของยีนมาก

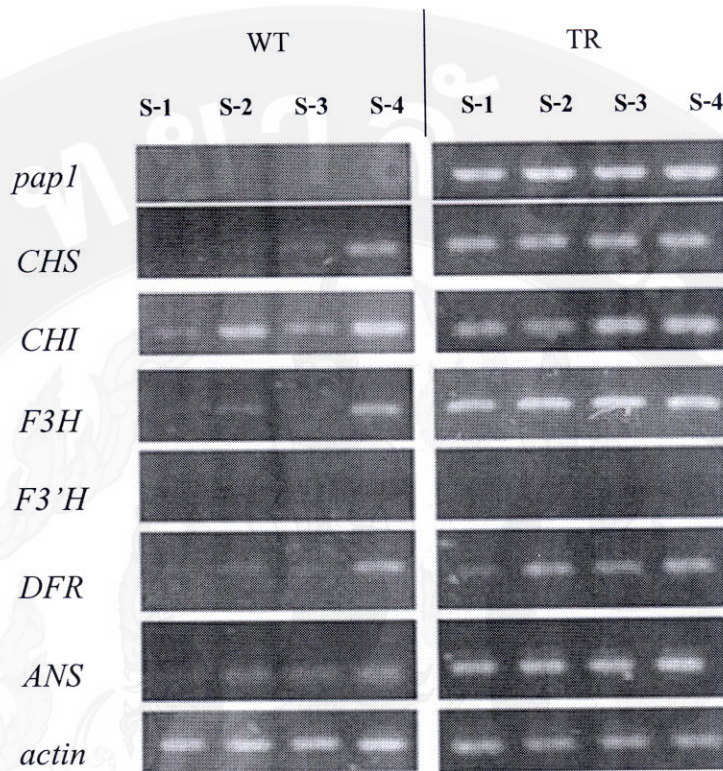
ที่สุด นอกจานนี้ในการตรวจสอบการแสดงออกของยีน *F3'H* ไม่พบการแสดงออกทั้งต้น WT และต้น TR

ถึงแม้ว่าต้น WT ที่ไม่มียีน *pap1* แต่พบการแสดงออกของยีน *CHS, CHI, F3H, DFR* และ *ANS* ซึ่งมีการแสดงออกมากเมื่อเพาะเลี้ยงในชูโกรส S-4 ดังนั้นคาดว่าความเข้มข้นของชูโกรสที่ต่างกันสามารถชักนำให้เกิดการแสดงออกของยีนโกรงสร้างเหล่านี้ไม่ว่าเป็นต้น WT และต้น TR แต่ในต้น TR ที่มียีน *pap1* การแสดงออกของยีนโกรงสร้างเหล่านี้ พบมากกว่าต้น WT ซึ่งแสดงให้เห็นว่ายีน *pap1* และชูโกรสมิผลกระตุนให้ยีนที่เกี่ยวข้องในการสังเคราะห์แอนโทไซยานินเพิ่มมากขึ้นและส่งผลให้ต้นยาสูบมีสีแดงเข้มขึ้น



ภาพที่ 17 ต้น WT และต้น TR ที่ใช้ในการสกัดอาร์เอ็นเอ อายุ 6 สัปดาห์ เพาะเลี้ยงบนอาหารสูตร MS 4 สัปดาห์และข้ายเพาะเลี้ยงในขวด 2 สัปดาห์ ที่อาหารสูตร MS ความเข้มข้นของน้ำตาลชูโกรสระดับต่างๆ

หมายเหตุ: bar คือ ขนาดความยาว 1 เซนติเมตร



ภาพที่ 18 การวิเคราะห์การแสดงออกของยีนที่เกี่ยวข้องในการสังเคราะห์แอนโทไซยานินโดยเทคนิค semi-quantitative RT-PCR ในต้นยาสูบ WT และต้น TR ที่เพาะเลี้ยงบนอาหารที่มีความเข้มข้นของน้ำตาลซึ่งปรับระดับต่างๆ

ผลการทดลองที่ 3

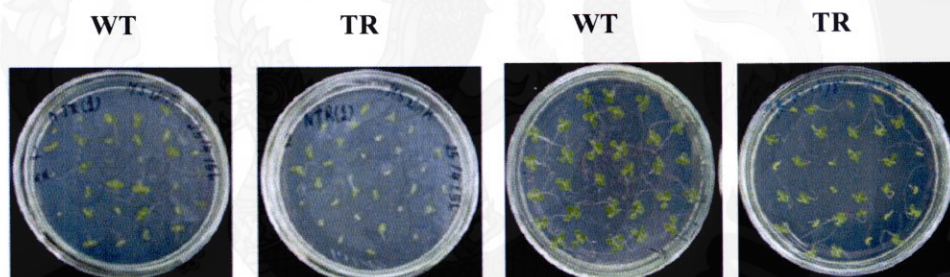
การเพาะเมล็ดยาสูบ wild-type (WT) และเมล็ดยาสูบ transgenic (TR) บนอาหารสูตร MS ปกติ เป็นเวลา 4 สัปดาห์ (เพาะใน Petri dish) จากนั้นข้ายต้นอ่อนเลี้ยงบนอาหารใหม่ที่มีระดับความเข้มข้นของฟอสฟอรัสต่าง ๆ คือ K-1 (0 mM), K-2 (0.625 mM) และ K-3 (1.25 mM) เป็นเวลา 2 สัปดาห์ (ในวด 12 օนซ์)

พืชโนไทป์ของยาสูบ

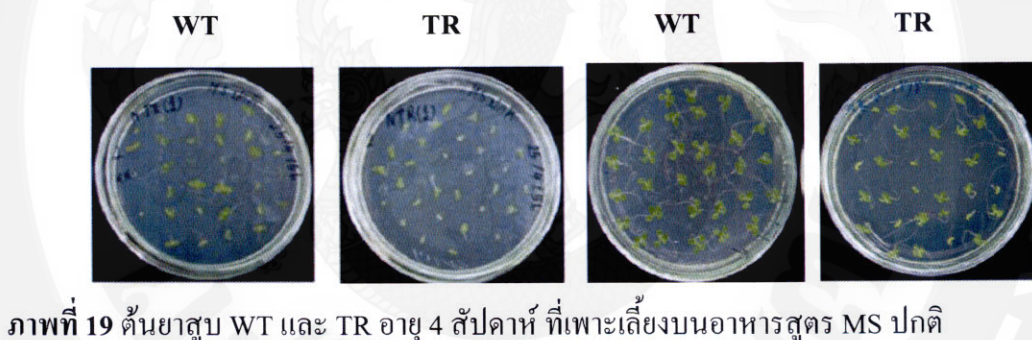
การเกิดสีแดงที่เกิดจากการสังเคราะห์แอนโทไซยานินของต้นยาสูบ WT และ TR เพาะเมล็ดบนอาหารที่มีระดับความเข้มข้นของฟอสฟอรัสที่แตกต่างกัน โดยเริ่มน้ำสีแดงเกิดขึ้นตั้งแต่ต้น

มีอายุประมาณ 2 สัปดาห์ แต่การแสดงออกไม่มากนัก เกิดสีแดงเป็นจุดบนส่วนของใบ บางต้นก็ยังไม่มีการแสดงออกของสีแดง (ภาพที่ 19) และเมื่อครบ 4 สัปดาห์ ทำการข้ามต้นยาสูบ WT และ TR ที่เพาะเลี้ยงบนอาหาร MS ปกติ ไปเลี้ยงบนอาหารที่มีความเข้มข้นของฟอสฟอรัสระดับต่าง ๆ พบว่าต้นยาสูบ WT ที่เพาะเลี้ยงบนอาหารที่มีความเข้มข้นของฟอสฟอรัสระดับต่าง ๆ ไม่มีการเกิดสีแดง (ภาพที่ 20) ส่วนต้นยาสูบ TR ที่เพาะเลี้ยงบนอาหารที่มีความเข้มข้นของฟอสฟอรัส K-1 ในมีการสร้างสีแดงเกิดขึ้นมากที่สุด รองลงมาคือ ต้นยาสูบที่เพาะเลี้ยงบนอาหารที่มีความเข้มข้นของฟอสฟอรัส K-2 และ K-3 ตามลำดับ

ต้นยาสูบ อายุ 2 สัปดาห์



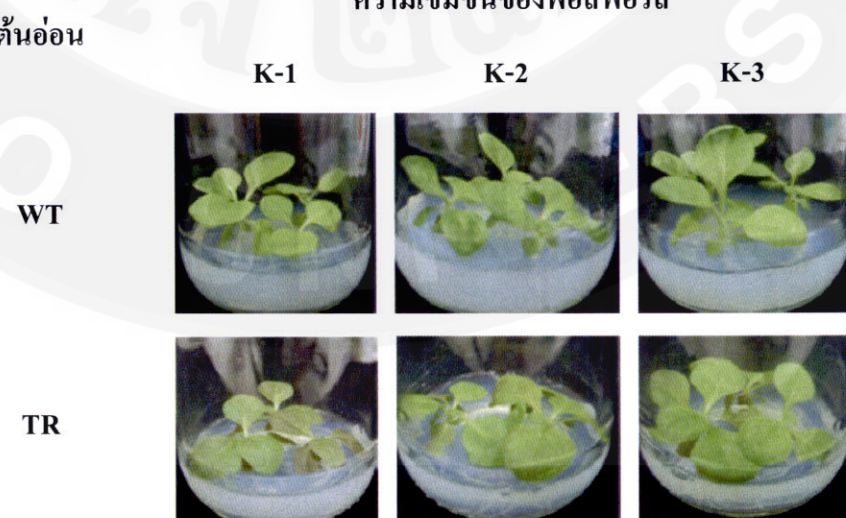
ต้นยาสูบ อายุ 4 สัปดาห์



ภาพที่ 19 ต้นยาสูบ WT และ TR อายุ 4 สัปดาห์ ที่เพาะเลี้ยงบนอาหารสูตร MS ปกติ

ความเข้มข้นของฟอสฟอรัส

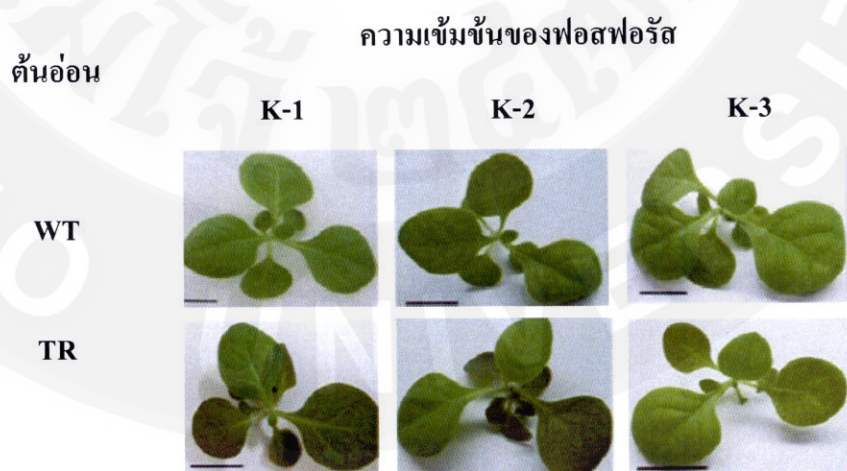
ต้นอ่อน K-1 K-2 K-3



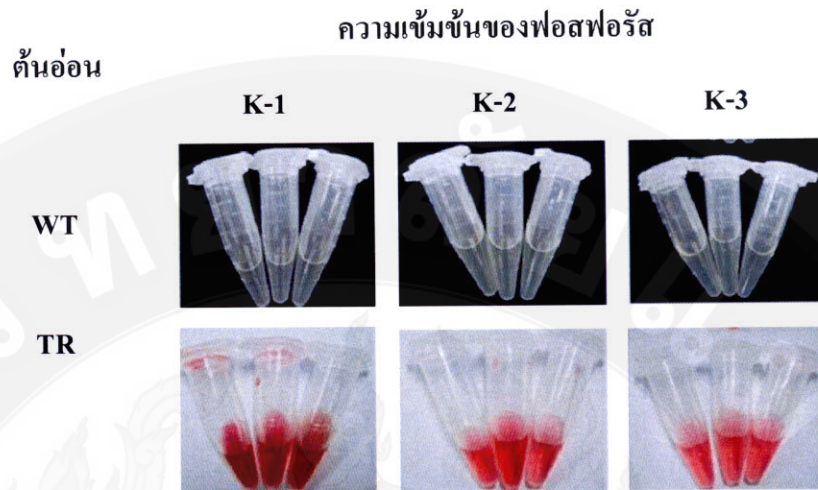
ภาพที่ 20 การแสดงออกของสีแดงในต้นและใบของต้นยาสูบ WT และ TR อายุ 4 สัปดาห์ เมื่อเพาะเลี้ยงบนอาหาร MS

ปริมาณแอนโทไซยานินที่สะสมในต้นยาสูบ

การวัดปริมาณแอนโทไซยานินที่สะสมในต้นยาสูบ หลังจากข้ายไปเลี้ยงบนอาหารในสภาวะเครียดที่มีความเข้มข้นของฟอสฟอรัสระดับต่าง ๆ โดยต้นยาสูบ WT และ TR ที่นำมาสกัด และวัดปริมาณแอนโทไซยานินมีอายุ 6 สัปดาห์ (ภาพที่ 21) ความเข้มของสีแดงที่สังเกตได้จากสายตาหลังจากทำการสกัด (ภาพที่ 22) พบว่าต้นยาสูบ WT ไม่มีสีแดงเกิดขึ้นทั้ง 3 ระดับของความเข้มข้นของฟอสฟอรัสที่เพาะเลี้ยง ส่วนต้นยาสูบ TR เกิดสีแดงทั้ง 3 ระดับของความเข้มข้นของฟอสฟอรัสที่เพาะเลี้ยง คือ ต้นยาสูบ TR ที่เพาะเลี้ยงบนอาหารที่มีความเข้มข้นของฟอสฟอรัส K-1 มีสีแดงมาก รองลงมาคือ ต้นยาสูบ TR ที่เพาะเลี้ยงบนอาหารที่มีความเข้มข้นของฟอสฟอรัส K-2 และ K-3 ตามลำดับ เมื่อสกัดแล้วนำไปวัดปริมาณแอนโทไซยานินที่สะสมอยู่ในต้นยาสูบ ด้วยเครื่องสเปกโตรโฟโตเมเตอร์ (spectrophotometer) พบว่า ต้นยาสูบ TR ที่เพาะเลี้ยงบนอาหารที่มีความเข้มข้นของฟอสฟอรัส K-1 มีค่าเฉลี่ยของปริมาณแอนโทไซยานินปริมาณสูงมากที่สุด เท่ากับ 42.135 ต่อกรัมน้ำหนักสด รองลงมาคือ ต้นยาสูบ TR ที่เพาะเลี้ยงบนอาหารที่มีความเข้มข้นของฟอสฟอรัส K-2 และ K-3 มีค่าเฉลี่ยแอนโทไซยานิน เท่ากับ 20.633 และ 12.768 ต่อกรัมน้ำหนักสด ตามลำดับ (ตารางที่ 5 และ ภาพที่ 23)



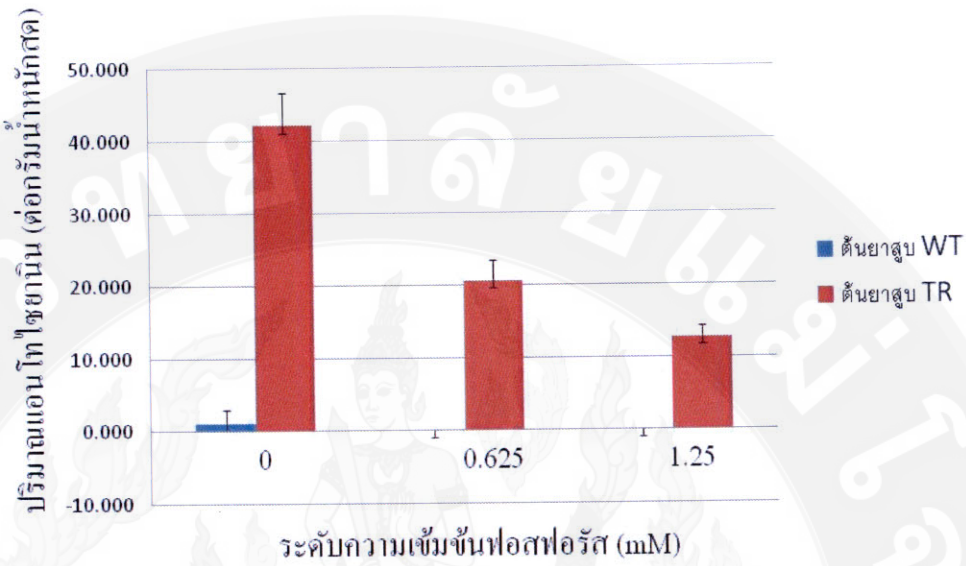
ภาพที่ 21 การแสดงออกของสีแดงของต้นและใบของต้นยาสูบ WT และ TR อายุ 6 สัปดาห์ ที่เพาะเลี้ยงบนอาหารที่มีความเข้มข้นของฟอสฟอรัสระดับต่าง ๆ ที่นำไปสกัดและวัดปริมาณแอนโทไซยานิน (bar เท่ากับ 1 cm)



ภาพที่ 22 ความเข้มข้นของสีที่ได้จากสกัดแอนโกลิไซดานิจิต์ที่ต้นยาสูบ WT และ TR ที่เพาะเลี้ยงบนอาหารที่มีความเข้มข้นของฟอสฟอรัสระดับต่างๆ (การทดลองทำ 3 ชุด ชุดละ 1 ต้น)

ตารางที่ 5 ค่าเฉลี่ยปริมาณแอนโกลิไซดานิจิต์ที่สะสมในต้นยาสูบ WT และ TR ที่เพาะเลี้ยงบนอาหารที่มีความเข้มข้นของฟอสฟอรัสระดับต่างๆ

ความเข้มข้นของฟอสฟอรัส (mM)	ปริมาณแอนโกลิไซดานิจิต์ต่อกิโลกรัมน้ำหนักสด	
	WT	TR
0	1.121	42.135
0.625	0.021	20.633
1.25	0.008	12.768

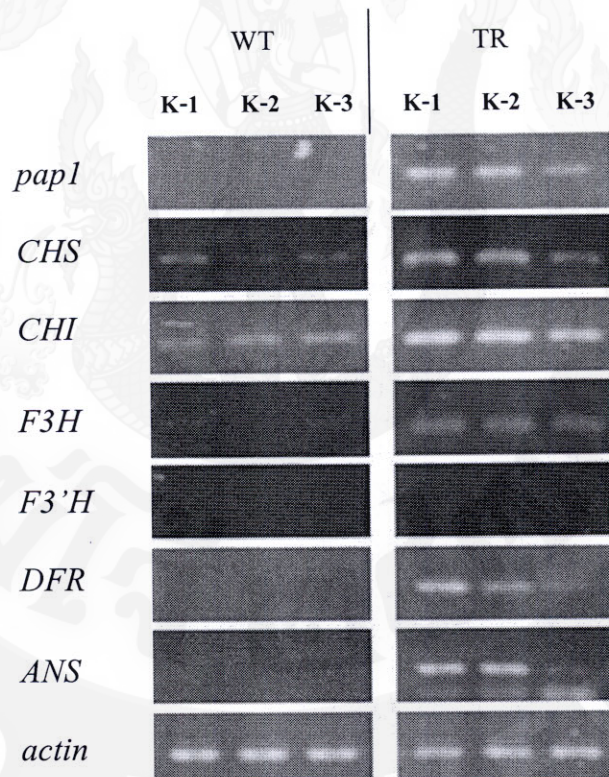


ภาพที่ 23 ปริมาณแอนโไทไซน์ที่สะสมของต้นยาสูบ WT และ TR ที่เพาะเลี้ยงบนอาหารที่มีความเข้มข้นของฟอสฟอรัสระดับต่างๆ

การวิเคราะห์การแสดงออกของยีนโดยเทคนิค semi – quantitative RT – PCR

การสกัดอาร์เอ็นเอของต้นยาสูบ WT และ TR ต้นยาสูบที่นำมาสกัดมีอายุ 6 สัปดาห์ จากนั้นนำอาร์เอ็นเอที่ได้มาสังเคราะห์ให้เป็น cDNA เพื่อตรวจสอบการแสดงออกของยีน *pap1* ที่เป็นยีนควบคุมการสร้างแอนโไทไซน์ที่ทำให้เกิดสีแดงในต้นยาสูบ รวมถึงยีนโครงสร้างอื่น ๆ ได้แก่ ยีน *CHS, CHI, F3H, F3'H, DFR* และ *ANS* ที่เกี่ยวข้องกับ pathway การสังเคราะห์แอนโไทไซน์ ในต้นยาสูบ WT และ TR ที่ทำการเพาะเลี้ยงบนอาหารที่มีระดับความเข้มข้นของฟอสฟอรัสต่างๆ การตรวจสอบการแสดงออกของยีน *pap1* พบว่า ต้นยาสูบ WT ถึงแม่ทำการเลี้ยงบนอาหารที่มีความเข้มข้นของฟอสฟอรัสต่าง ๆ ก็ไม่มีการเกิดสีแดงและการสังเคราะห์แอนโไทไซน์ ในขณะที่ต้นยาสูบ TR มีการแสดงออกของยีน *pap1* และเกิดสีแดง และมีการสะสมของแอนโไทไซน์เกิดขึ้น โดยต้นยาสูบ TR ที่เพาะเลี้ยงบนอาหารที่มีความเข้มข้นของฟอสฟอรัส K-1 มีการแสดงออกของยีน *pap1* มากที่สุด รองลงมา คือ ต้นยาสูบ TR ที่เพาะเลี้ยงบนอาหารที่มีความเข้มข้นของฟอสฟอรัส K-2 และ K-3 ตามลำดับ และต้นยาสูบ TR ที่เพาะเลี้ยงบนอาหารที่มีความเข้มข้นของฟอสฟอรัส K-3 มีการแสดงออกของยีน *pap1* น้อยที่สุด และจากการตรวจสอบการ

แสดงออกของยีนโครงสร้าง ได้แก่ ยีน *CHS*, *CHI*, *F3H*, *DFR* และ *ANS* มีการแสดงออกของยีน เช่นเดียวกับยีน *pap1* ซึ่งต้นที่เพาะเลี้ยงบนอาหารที่มีความเข้มข้นของฟอสฟอรัสต่ำ มีการแสดงออกของยีน *CHS*, *CHI*, *DFR* และ *ANS* มาก แต่ยีน *F3H* มีการแสดงออกที่เท่ากันทุกระดับ ความเข้มข้นของฟอสฟอรัส สำหรับต้นยาสูบ WT ที่เพาะเลี้ยงบนอาหารที่มีความเข้มข้นของฟอสฟอรัสระดับต่างๆ มีการแสดงออกของยีน *CHS*, *CHI* และ *F3H* ที่มีการแสดงออกในระดับที่น้อยมากสอดคล้องกับการแสดงออกของสีแดงในใบของต้นยาสูบ TR ซึ่งยังมีการแสดงออกของยีน *pap1* มากเท่าไร ทำให้เกิดสะสมแอนโทไซยานินมากเช่นเดียวกัน (ภาพที่ 24)



ภาพที่ 24 ผลการตรวจสอบการแสดงออกของยีนต่าง ๆ โดยเทคนิค semi – quantitative RT – PCR ของต้นยาสูบ WT และ TR ที่เพาะเลี้ยงบนอาหารที่มีความเข้มข้นของฟอสฟอรัสระดับต่าง ๆ คือ K-1 (0 mM), K-2 (0.625 mM) และ K-3 (1.25 mM)

ผลการวิจัยข้าว

ผลการทดลองที่ 1

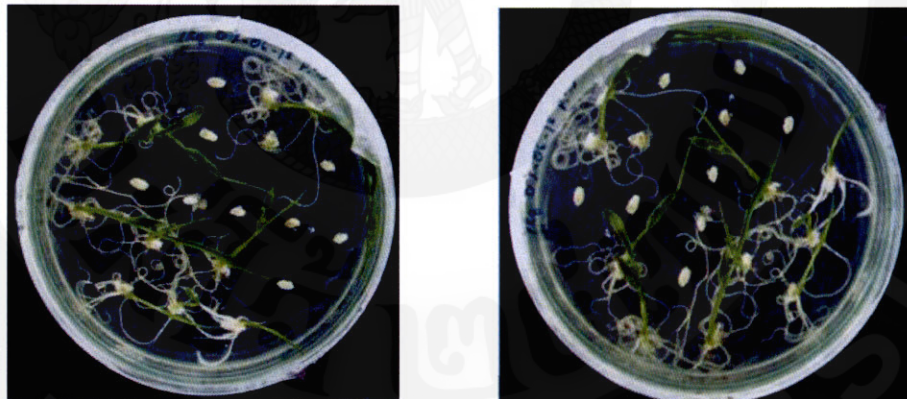
การเพาะเลี้ยงเมล็ดข้าวบนอาหารสูตร MS เป็นเวลาครบ 2 สัปดาห์ และข้ายตื้นอ่อนไปเพาะเลี้ยงบนอาหารสูตร MS ที่มีความเข้มข้นในโตรเจนแตกต่างกัน เป็นเวลา 3 สัปดาห์

พืโนไทป์ของข้าว

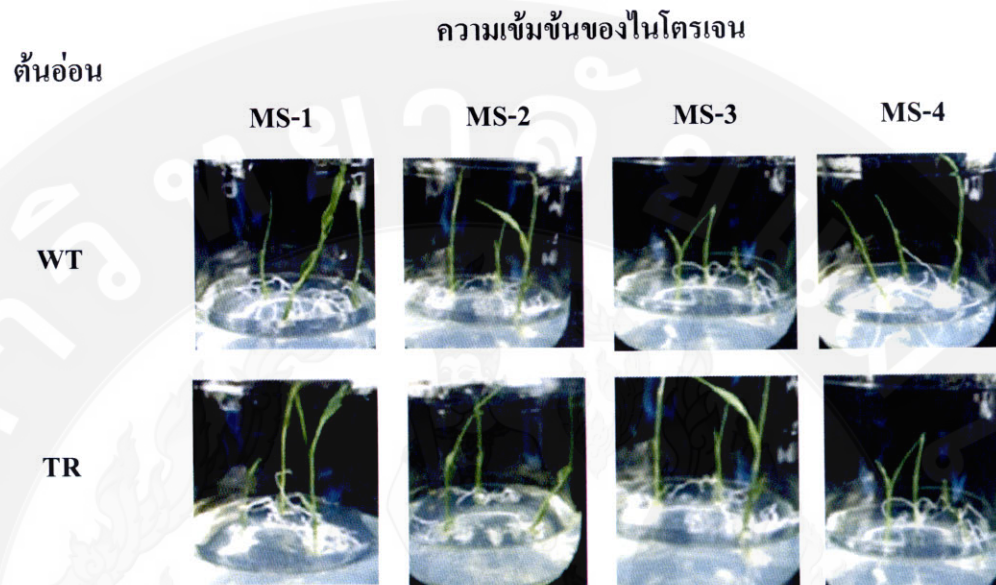
เมื่อเพาะเลี้ยงเมล็ดข้าวบนอาหารสูตร MS-1 เป็นเวลา 2 สัปดาห์ (ภาพที่ 25) แล้วทำการข้ายตื้นอ่อนไปเพาะเลี้ยงในขวดอาหารสูตร MS ที่มีระดับความเข้มข้นของโตรเจน 4 ระดับ (ภาพที่ 26) คือ MS-1 ($1\text{ NH}_4\text{NO}_3$: 1 KNO_3), MS-2 ($1/2\text{ NH}_4\text{NO}_3$: $1/2\text{ KNO}_3$), MS-3 ($0\text{ NH}_4\text{NO}_3$: $1/2\text{ KNO}_3$) และ MS-4 ($0\text{ NH}_4\text{NO}_3$: 0 KNO_3) เป็นเวลา 3 สัปดาห์ พบว่าต้น WT และต้น TR ที่ขายลงอาหารความเข้มข้นต่างๆ ในมีสีเหลืองซีดและมีต้นเล็กลงมากขึ้นตามระดับความเข้มข้นของโตรเจนที่ลดลง โดยพบว่า MS-1 ในมีสีเหลืองซีดมากที่สุด และมีการแตกกอจำนวนมากที่สุด และ MS-4 ในมีสีเหลืองซีดมากที่สุด และไม่มีการแตกกอ (ภาพที่ 27)

WT

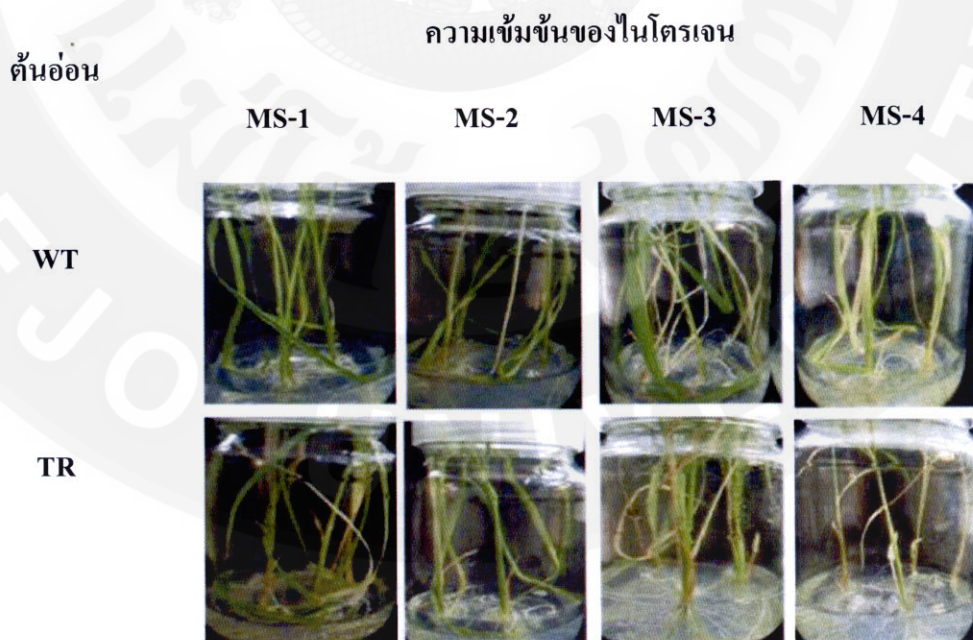
TR



ภาพที่ 25 การเจริญเติบโตของต้น WT และต้น TR เพาะเลี้ยงเมล็ดข้าวบนอาหารสูตร MS เป็นเวลา 2 สัปดาห์



ภาพที่ 26 การเจริญเติบโตของต้น WT และ ต้น TR เมื่อเริ่มเพาะเลี้ยงในขวดอาหารสภาระเครียดที่มีความเข้มข้นของไนโตรเจนแตกต่างกัน (MS-1, MS-2, MS-3 และ MS

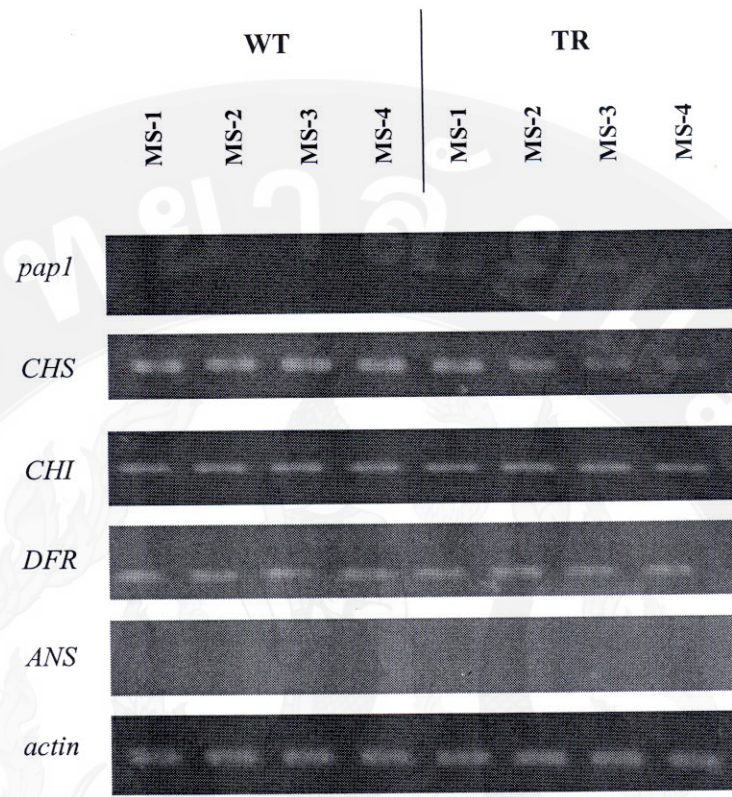


ภาพที่ 27 เปรียบเทียบการเจริญเติบโตของต้น WT และ ต้น TR เพาะเลี้ยงในขวดอาหารสภาระเครียดที่มีความเข้มข้นของไนโตรเจนแตกต่างกัน (MS-1, MS-2, MS-3 และ MS-4) เป็นเวลา 3 สัปดาห์

การวิเคราะห์การแสดงออกของยีนโดยเทคนิค semi-quantitative RT-PCR

การวิเคราะห์การแสดงออกของยีนในต้นข้าวที่เพาะเลี้ยงบนอาหารที่มีระดับความเข้มข้นของไนโตรเจนที่แตกต่างกันคือ MS-1 ($1\text{ NH}_4\text{NO}_3$: 1 KNO_3), MS-2 ($1/2\text{ NH}_4\text{NO}_3$: $1/2\text{ KNO}_3$), MS-3 ($0\text{ NH}_4\text{NO}_3$: $1/2\text{ KNO}_3$) และ MS-4 ($0\text{ NH}_4\text{NO}_3$: 0 KNO_3) เป็นเวลา 3 สัปดาห์ นำต้น WT และต้น TR มาทำการสกัดอาร์เอ็นเอลักษณะของต้นข้าวที่ใช้สกัดอาร์เอ็นเอ (ภาพที่ 27)

นำอาร์เอ็นเอทั้งหมดมาสังเคราะห์ cDNA เพื่อเป็นแม่พิมพ์ในการตรวจสอบการแสดงออกของยีนด้วยเทคนิค semi-quantitative RT-PCR และใช้ยีน *actin* เป็นยีนเปรียบเทียบ การตรวจสอบระดับการแสดงออกของยีน *pap1* ในต้นข้าว TR ซึ่งยีน *pap1* เป็นยีนควบคุมการสังเคราะห์เอนโซโลชีนิน แต่ต้นข้าว TR มีฟีโนไทป์ที่ปราฏมีลักษณะต้นสีเขียว จึงทำการตรวจสอบการแสดงออกของยีนโครงสร้างที่เกี่ยวข้องกับการสังเคราะห์เอนโซโลชีนิน พนว่า ต้น TR และต้น WT มีระดับการแสดงออกของยีนโครงสร้าง ได้แก่ ยีน *CHS*, *CHI* และ *DFR* แต่ยีน *ANS* ไม่มีการแสดงออกทั้งต้น WT และ TR การแสดงออกของยีนดังกล่าวสอดคล้องกับลักษณะทางฟีโนไทป์ที่มีลักษณะต้นสีเขียวที่ปราฏในต้น TR ยีน *pap1* ไม่สามารถส่งเสริมการแสดงออกของยีนโครงสร้างในข้าวได้ ทำให้ไม่มีการสังเคราะห์เอนโซโลชีนินในข้าวถึงแม้ว่าจะอยู่ในสภาพแวดล้อมจากการขาดไนโตรเจน (ภาพที่ 28)



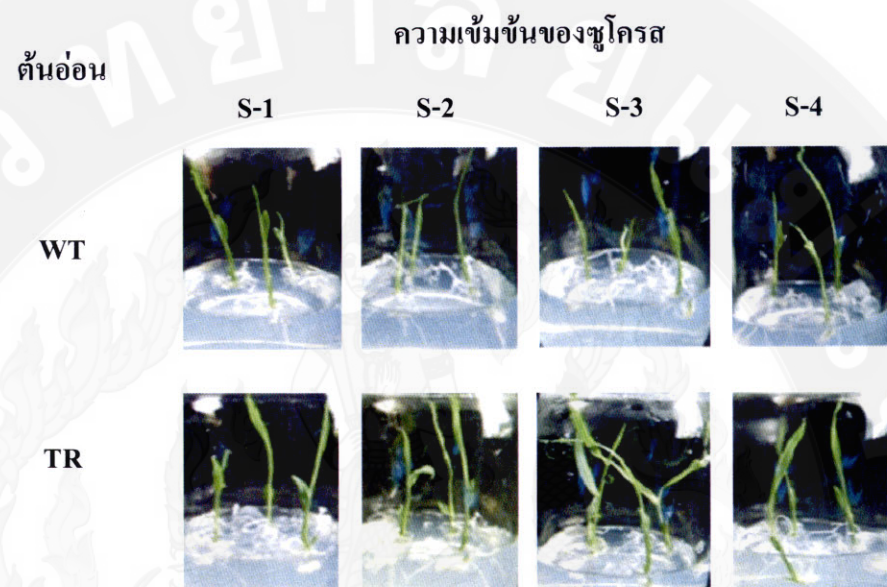
ภาพที่ 28 ผลการตรวจสอบการแสดงออกของยีน *pap1*, *CHS*, *CHI*, *DFR* และ *ANS*โดยเทคนิค semi-quantitative RT-PCR ของต้น WT และต้น TR เพาะเลี้ยงต้นอ่อนอายุ 2 สัปดาห์ บนอาหารสูตร MS ที่มีความเข้มข้นของไนโตรเจนแตกต่างกัน (MS-1, MS-2, MS-3 และ MS-4) เป็นเวลา 3 สัปดาห์

ผลการทดลองที่ 2

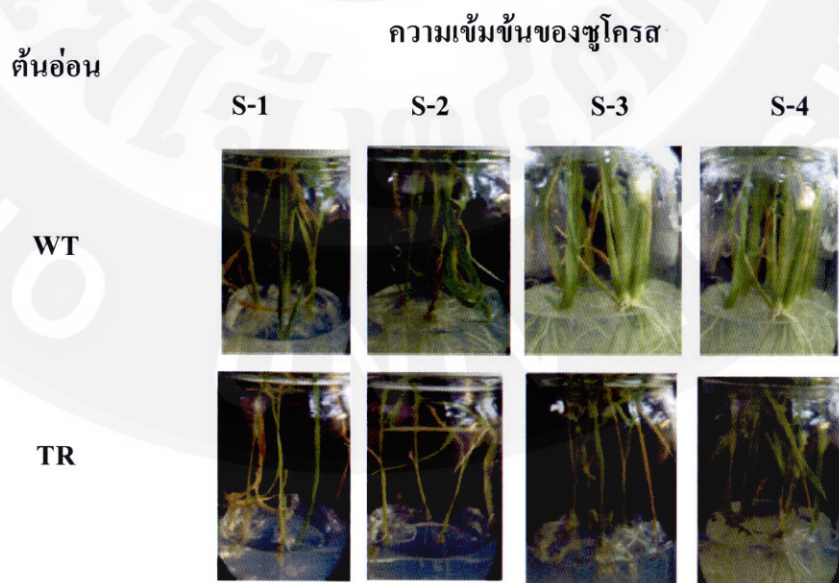
การเพาะเลี้ยงเมล็ดข้าวบนอาหารสูตร MS เป็นเวลากลาง 2 สัปดาห์ และย้ายต้นอ่อนไปเพาะเลี้ยงบนอาหารสูตร MS ที่มีความเข้มข้นซัลโตรสแตกต่างกัน ฟโนไทป์ของข้าว

จากการเพาะเลี้ยงต้นข้าวในสภาวะปกติอายุ 2 สัปดาห์ ทำการย้ายต้นอ่อนไปเพาะเลี้ยงในขวดอาหารที่มีความเข้มข้นของน้ำตาลซัลโตรส 4 ระดับ (ภาพที่ 29) คือ S-1 (0 mM), S-2 (50 mM), S-3 (100 mM) และ S-4 (200 mM) เป็นเวลา 3 สัปดาห์ ต้นที่ได้รับการถ่ายยีน *pap1* (TR) ที่ทำการเพาะเลี้ยงในระดับความเข้มข้นซัลโตรสต่างๆ เริ่มต้นมีลักษณะใบสีเขียว เมื่อเพาะเลี้ยงเป็นเวลา 3 สัปดาห์ ความเข้มข้นของสีบนใบและการแตกกอเพิ่มขึ้นตามระดับความเข้มข้นของซัลโตรสที่เพิ่มขึ้นตาม

ไปด้วย โดยพบว่า S-1 ในมียังสีเขียวน้อยที่สุด และ S-4 ในมีสีเขียวมากที่สุด เมื่อความเข้มข้นของชูโกรสเพิ่มขึ้น ข้าวมีใบสีเขียวเข้มขึ้นและแตกกอจำนวนมากขึ้น (ภาพที่ 30)



ภาพที่ 29 การเจริญเติบโตของต้น WT และ TR เมื่อเริ่มเพาะเลี้ยงบนอาหารสูตร MS ที่มีความเข้มข้นของน้ำตาลชูโกรสระดับต่างๆ

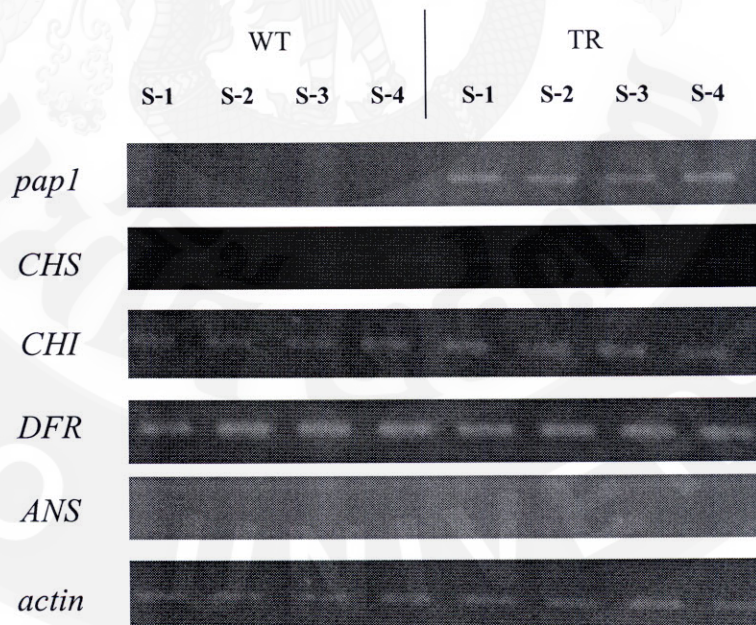


ภาพที่ 30 ต้น WT และต้น TR เพาะเลี้ยงบนอาหารสูตร MS ที่มีความเข้มข้นของน้ำตาลชูโกรสระดับต่างๆ เป็นเวลา 3 สัปดาห์

การวิเคราะห์การแสดงออกของยีนโดยเทคนิค semi – quantitative RT – PCR

เมื่อเพาะเลี้ยงต้นอ่อนของข้าวในขวดอาหารสูตร MS ที่มีความเข้มข้นของซูโครัส คือ S-1 (0 mM), S-2 (50 mM), S-3 (100 mM) และ S-4 (200 mM) เป็นเวลา 3 สัปดาห์ นำมาสกัดอาร์เอ็นเอเพื่อตรวจสอบการแสดงออกของยีนที่เกี่ยวข้องในการสังเคราะห์แอนโทไซยานิน (ภาพที่ 30)

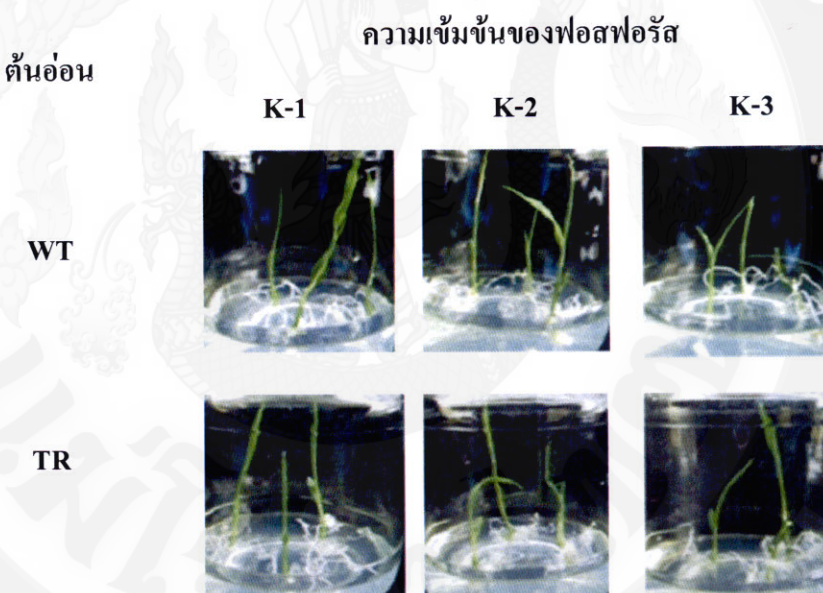
นำอาร์เอ็นเอที่สกัดได้มาทำการสังเคราะห์ cDNA เพื่อนำไปเป็นแม่พิมพ์ในการวิเคราะห์การแสดงออกของยีน *pap1*, *CHS*, *CHI*, *DFR* และ *ANS* ด้วยเทคนิค semi-quantitative RT-PCR โดยใช้ยีน *actin* เป็น internal control พบว่า ต้นข้าว TR ที่ได้รับการถ่ายยีน *pap1* ทุกต้น ไม่ว่าจะเลี้ยงในอาหารที่มีความเข้มข้นของซูโครัสในระดับใดก็ตามยีน *pap1* มีการแสดงออกที่เท่ากัน และการแสดงออกของยีนโกรงสร้างที่เกี่ยวข้องกับการสังเคราะห์แอนโทไซยานินพบว่าต้นข้าว TR มีการแสดงออกของยีน *CHS*, *CHI* และ *DFR* มีระดับการแสดงออกเท่ากับต้น WT แม้ว่าต้น WT ไม่มียีน *pap1* แต่พบการแสดงออกของยีน *CHS*, *CHI* และ *DFR* ส่วนยีน *ANS* ไม่พบการแสดงออก (ภาพที่ 31)



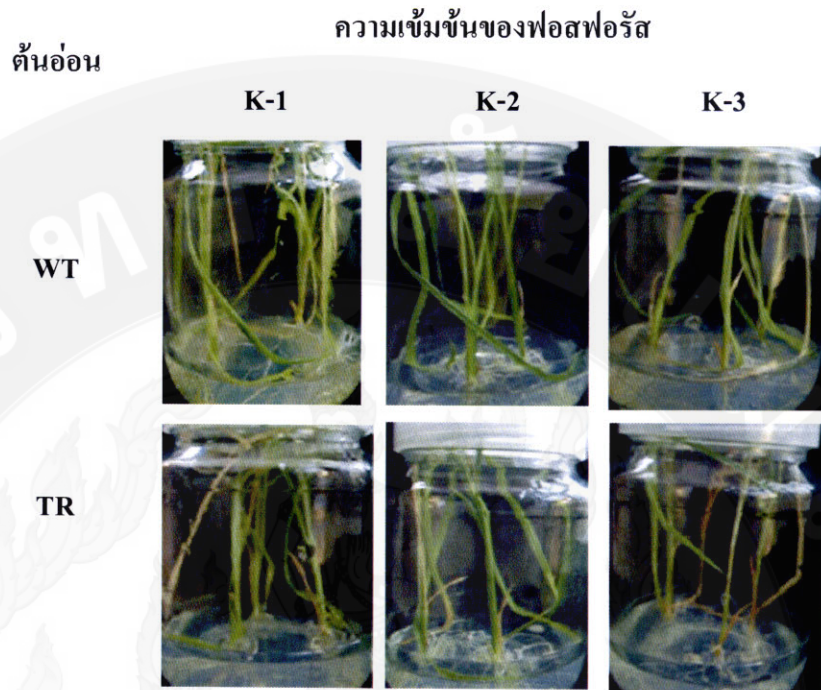
ภาพที่ 31 การวิเคราะห์การแสดงออกของยีนที่เกี่ยวข้องในการสังเคราะห์แอนโทไซยานินโดยเทคนิค semi-quantitative RT-PCR ในต้นข้าว WT และต้น TR ที่เพาะเลี้ยงบนอาหารที่มีความเข้มข้นของน้ำตาลซูโครัสระดับต่างๆ

ผลการทดลองที่ 3

จากการเพาะเมล็ดข้าว WT และเมล็ดข้าว TR บนอาหารสูตร MS เป็นเวลา 2 สัปดาห์ จากนั้นนำต้นอ่อนเลี้ยงบนอาหารใหม่ที่มีระดับความเข้มข้นของฟอสฟอรัสต่าง ๆ (ภาพที่ 32) คือ K-1(0 mM), K-2 (0.625 mM) และ K-3 (1.25 mM) เป็นเวลา 3 สัปดาห์ ทั้งต้น WT และ TR ในฟอสฟอรัสระดับต่าง ๆ การเจริญเติบโตที่ K-1 มีการแตกกอที่เพิ่มขึ้นมากกว่า K-2 และ K-3 ขณะที่ในเมล็ดข้าว TR ซึ่งไม่เกิดการสังเคราะห์แอนโ陶ไซด์ ตามระดับความเข้มข้นของฟอสฟอรัสลดลง (ภาพที่ 33)



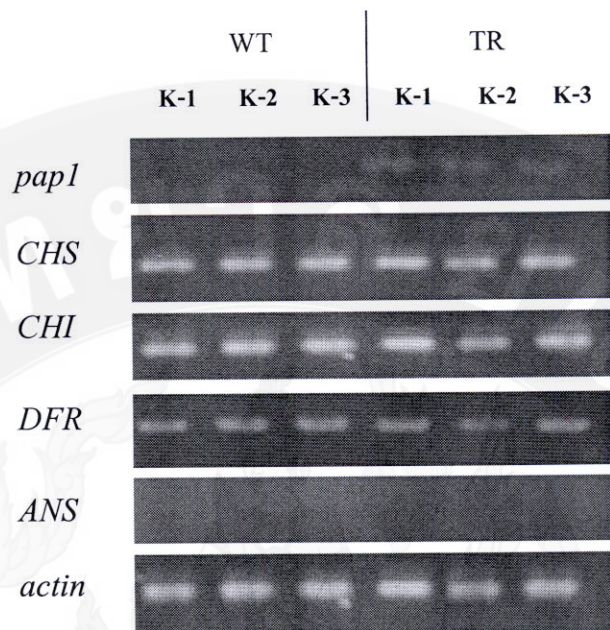
ภาพที่ 32 การเจริญเติบโตของต้น WT และ TR เมื่อเริ่มเพาะเลี้ยงบนอาหารสูตร MS ที่มีความเข้มข้นของฟอสฟอรัสระดับต่างๆ



ภาพที่ 33 ต้น WT และต้น TR เพาะเลี้ยงบนอาหารสูตร MS ที่มีความเข้มข้นของฟอสฟอรัสระดับต่างๆ เป็นเวลา 3 สัปดาห์

การวิเคราะห์การแสดงออกของยีนโดยเทคนิค semi – quantitative RT - PCR

การสกัดอาร์เอ็นเอของต้นข้าว WT และ TR ต้นข้าวที่นำมาสกัดมีอายุ 4 สัปดาห์ จากนั้นนำอาร์เอ็นเอที่ได้มาสังเคราะห์ให้เป็น cDNA แล้วใช้เป็นแม่พิมพ์ในการเพิ่มปริมาณด้วยเทคนิคพีซีอาร์ จำนวน 28 รอบ เพื่อตรวจสอบการแสดงออกของยีน *pap1* ที่เป็นยีนควบคุมการสร้างแอนโทไซyaninรวมถึงยีนโครงสร้างอื่น ๆ ที่เกี่ยวข้องกับการสร้างแอนโทไซyanin ยีนโครงสร้างที่ทำการตรวจสอบมีดังนี้คือ *CHS*, *CHI*, *DFR* และ *ANS* ในการสังเคราะห์แอนโทไซyaninของต้นข้าว WT และ TR ที่ทำการเพาะเลี้ยงบนอาหารที่มีระดับความเข้มข้นของฟอสฟอรัส คือ K-1 (0 mM), K-2 (0.625 mM) และ K-3 (1.25 mM) พบว่าต้นข้าว TR มีการแสดงออกของยีน *pap1* แต่ไม่พบในต้น WT การตรวจสอบการแสดงออกของยีนโครงสร้างต่างๆ ในต้นมีการแสดงออกเท่ากันกับต้นข้าว WT ยกเว้น ยีน *ANS* ที่ไม่มีการแสดงออกทั้งต้น WT และ TR (ภาพที่ 34)



ภาพที่ 34 ผลการตรวจสอบการแสดงออกของยีนต่าง ๆ โดยเทคนิค semi – quantitative RT – PCR ของต้นข้าว WT และ TR ที่เพาะเลี้ยงบนอาหารที่มีความเข้มข้นของฟอสฟอรัสระดับต่าง ๆ คือ K-1(0 mM), K-2 (0.625 mM) และ K-3 (1.25 mM)

สรุปผลการทดลอง

สรุปผลการวิจัยยาสูบ

ผลของไนโตรเจน

เมื่อเพาะเลี้ยงเม็ดยาสูบ WT และ TR ในขวดอาหาร MS ที่มีในไนโตรเจนระดับความเข้มข้นต่างๆ ต้น WT ขนาดของต้นเล็กและความเข้มข้นของสีบันใบลดลงตามระดับความเข้มข้นของไนโตรเจนที่ลดลง ส่วนต้น TR มีการเจริญเติบโตเพิ่มขึ้น ใบมีสีแดงเพิ่มขึ้น แต่ขนาดของต้นเล็กลง ในขณะที่ความเข้มข้นของสีบันใบแดงเพิ่มขึ้นตามระดับความเข้มข้นของไนโตรเจนที่ลดลง จากการสกัดหาปริมาณแอนโทไซานิน ต้น TR ใบมีสีแดงและแดงเพิ่มขึ้น เมื่อระดับความเข้มข้นของไนโตรเจนลดลง ในสภาวะขาดไนโตรเจนต้น TR มีปริมาณแอนโทไซานินเฉลี่ยมากที่สุดเท่ากับ 26.25 ต่อกรัมน้ำหนักสด และเมื่อทำการวิเคราะห์การแสดงออกของยีน *pap1* ที่ใกล้เคียงกัน และเมื่อทำการวิเคราะห์ยีน *CHS*, *CHI*, *F3H*, *DFR* และ *ANS* พบว่ามีการแสดงออกของยีนนี้อยู่หรือไม่มีการแสดงออกโดยของยีน *CHS*, *CHI*, *F3H*, *DFR* และ *ANS* ส่วนยีน *F3'H* ไม่มีการแสดงออกทั้งต้น WT และต้น TR

ดังนั้น ยีน *pap1* มีผลต่อการสร้างแอนโทไซานิน เมื่อสภาวะเครียดที่การขาดไนโตรเจนต้นยาสูบ TR มีการสร้างสีแดงเพิ่มขึ้น การแสดงออกของยีน *pap1* สามารถกระตุ้นการแสดงออกของยีนโครงสร้าง *CHS*, *CHI*, *F3H*, และ *DFR* ที่เกี่ยวข้องใน pathway การสังเคราะห์แอนโทไซานิน เนื่องจากยีน *pap1* เป็น transcription factor ที่ไปกระตุ้นการแสดงออกของยีนโครงสร้าง ได้มากขึ้นในสภาวะเครียดจากการขาดไนโตรเจน

ผลของน้ำตาลซูโครส

การเพาะเลี้ยงต้นยาสูบดัดแปลงพันธุกรรมที่มียีน *pap1* (ต้นTR) บนอาหารสูตร MS ที่มีระดับความเข้มข้นของน้ำตาลซูโครสต่างๆ พบร้า เมื่อความเข้มข้นของน้ำตาลซูโครสเพิ่มขึ้นมีผลทำให้ต้นยาสูบ TR มีสีแดงมากขึ้น โดยสังเกตเห็นจากใบเป็นสีแดง-ผลการวิเคราะห์ปริมาณแอนโทไซานินที่แสดงให้เห็นว่าเมื่อเพาะเลี้ยงต้นยาสูบ TR บนอาหารที่มีความเข้มข้นของซูโครส 200 mM ทำให้มีลักษณะใบที่มีสีแดงเข้มที่สุด เพราะมีปริมาณแอนโทไซานินมากที่สุด

เมื่อทำการทดสอบการแสดงออกของยีนที่เกี่ยวข้องใน pathway ในกระบวนการสังเคราะห์แอนโทไซyaninพบว่าต้น TR มีระดับการแสดงออกของยีน *papI* เท่ากันทุกต้น และการทดสอบยีนโครงสร้างคือยีน *CHS, CHI, F3H, DFR* และ *ANS* ต้น TR มีการแสดงออกของยีนมากกว่าต้น WT โดยเฉพาะในการเพาะเลี้ยงในอาหารที่ซูโครสมีความเข้มข้น 200 mM

ดังนั้น เมื่อความเข้มข้นของน้ำตาลซูโครสเพิ่มขึ้น มีผลส่งเสริมการแสดงออกของยีน *CHS, CHI, F3H, DFR* และ *ANS* ที่เกี่ยวข้องในการสังเคราะห์แอนโทไซyaninในต้นยาสูบดัดแปลงพันธุกรรมที่มียีน *papI* อาจเกิดจากสภาวะเครียดจากการเพิ่มขึ้นของน้ำตาลซูโครส มีผลทำให้ยีน *papI* ซึ่งเป็นยีนสร้าง transcription factor ไปกระตุ้นการแสดงออกของยีนโครงสร้างทำให้แสดงออกและมีการสังเคราะห์แอนโทไซyaninมากขึ้นจึงทำให้ต้นยาสูบที่เพาะเลี้ยงบนอาหารที่มีซูโครส 200 mM มีการแสดงออกของสีที่เดงเข้มและมีปริมาณแอนโทไซyaninมากขึ้น ผลของฟอสฟอรัส

การเพาะเลี้ยงต้นยาสูบในสภาวะเครียดโดยเพาะเลี้ยงบนอาหารที่มีความเข้มข้นของฟอสฟอรัสระดับต่างๆ พบว่า ต้นยาสูบ TR ซึ่งมียีน *papI* เมื่อทำการเพาะเลี้ยงบนอาหารที่มีความเข้มข้นของฟอสฟอรัส 0 mM มีการแสดงออกของสีแดงและการสะสมของปริมาณแอนโทไซyanin มากที่สุด ส่วนต้นยาสูบ WT ไม่มีการเกิดสีแดงและไม่พบการสะสมของปริมาณแอนโทไซyanin

การแสดงออกของยีน *papI* ซึ่งเป็นยีนที่ควบคุมการสังเคราะห์แอนโทไซyanin มีการแสดงออกเฉพาะในต้นยาสูบ TR มีการแสดงออกมาก เมื่อเพาะเลี้ยงบนอาหารที่มีความเข้มข้นของฟอสฟอรัสต่ำ ซึ่งสอดคล้องกับลักษณะพืชในไทย (สีแดง) และปริมาณแอนโทไซyaninที่เกิดขึ้นในต้นยาสูบ TR ที่เพาะเลี้ยงบนอาหารที่มีความเข้มข้นของฟอสฟอรัสต่ำ จากการตรวจสอบการแสดงออกของยีนต่างๆ ดังนี้ *CHS, CHI, F3H, DFR* และ *ANS* ต้น TR ที่เพาะเลี้ยงบนอาหารที่มีความเข้มข้นของฟอสฟอรัสต่ำมีการแสดงออกของยีน *CHS, CHI, DFR* และ *ANS* มากที่สุด แต่ยีน *F3H* มีการแสดงออกที่เท่ากันทุกระดับความเข้มข้นของฟอสฟอรัส สำหรับต้นยาสูบ WT ที่เพาะเลี้ยงบนอาหารที่มีความเข้มข้นของฟอสฟอรัสระดับต่างๆ มียีนที่แสดงออก คือยีน *CHS, CHI* และ *F3H* ซึ่งมีการแสดงออกในระดับที่น้อย เนื่องจากต้นยาสูบ WT ไม่มียีน *papI* ที่จะควบคุมและส่งเสริมที่จะทำให้เกิดการแสดงออกของยีนเหล่านี้

ดังนั้น การขาดฟอสฟอรัสซึ่งทำให้เกิดสภาวะเครียดแก่ต้นยาสูบ TR มีผลทำให้เกิดการแสดงออกของยีน *pap1* เพิ่มมากขึ้น และเมื่อการแสดงออกของยีน *pap1* เพิ่มมากขึ้นนั้นอาจจะไปควบคุมและส่งเสริมทำให้ยีน *CHS*, *CHI*, *DFR* และ *ANS* มีการแสดงออกเพิ่มมากขึ้นเช่นกัน ซึ่งสอดคล้องกับต้นที่เพาะเลี้ยงบนอาหารที่มีความเข้มข้นของฟอสฟอรัส 0 mM ทำให้ต้นยาสูบมีสีแดงเกิดขึ้นมาก และมีการสะสมของปริมาณแอนโ陶ไไซยานินที่เพิ่มสูงขึ้น แต่สำหรับยีน *CHI* และ *CHS* ก็มีการแสดงออกในต้นยาสูบ WT อาจ เพราะเป็นยีนที่มีการแสดงออกอยู่แล้วเพียงแต่การแสดงออกไม่มาก และเมื่อยีน *pap1* แสดงออกมากในต้นยาสูบ TR ที่เพาะเลี้ยงบนอาหารที่มีความเข้มข้นของฟอสฟอรัสต่ำ จะไปควบคุมและส่งเสริมทำให้ยีน *CHI*, *CHS*, *DFR* และ *ANS* มีการแสดงออกที่เพิ่มมากขึ้น

สรุปผลการวิจัยข้าว

ผลของในโตรเจน

เมื่อเพาะเลี้ยงต้นข้าวในอาหารสูตร MS ที่มีระดับความเข้มข้นของในโตรเจนต่างๆ กันพบว่า ต้น WT และต้น TR ที่ขายลงอาหารความเข้มข้นต่างๆ มีการแสดงออกใบมีสีเหลืองซีดและมีต้นเล็กลงมากขึ้น เมื่อตามระดับความเข้มข้นของในโตรเจนที่ลดลง และตรวจสอบการแสดงออกของยีนด้วยเทคนิค semi-quantitative RT-PCR พบว่า ต้น TR และต้น WT มีระดับการแสดงออกของยีน โครงสร้าง ได้แก่ ยีน *CHS*, *CHI* และ *DFR* แต่ยีน *ANS* ไม่มีการแสดงออกทั้งต้น WT และ TR ในต้น TR ยีน *pap1* ไม่สามารถส่งเสริมการแสดงออกของยีน โครงสร้างในข้าวได้ ถึงแม้ว่าอยู่ในสภาวะเครียดจากการขาดในโตรเจน

ผลของน้ำตาลซูโครส

การเพาะเลี้ยงต้นข้าวในอาหารที่มีความเข้มข้นของน้ำตาลซูโครสต่างๆ พบร่วมกับ ต้น TR ที่ทำการเพาะเลี้ยงในระดับความเข้มข้นซูโครสต่างๆ มีลักษณะใบสีเขียวและการแตกกอเพิ่มขึ้นตามระดับความเข้มข้นของซูโครสที่เพิ่มขึ้น ในการวิเคราะห์การแสดงออกของยีน *pap1*, *CHS*, *CHI*, *DFR* และ *ANS* ด้วยเทคนิค semi-quantitative RT-PCR พบว่า ต้นข้าว TR ที่ได้รับการถ่ายยีน *pap1* ทุกต้น ไม่ว่าจะเลี้ยงในอาหารที่มีความเข้มข้นของซูโครสในระดับใดก็ตามยีน *pap1* มีการแสดงออกที่เท่ากัน และพบว่าต้นข้าว TR มีการแสดงออกของยีน *CHS*, *CHI* และ *DFR* ซึ่งมีระดับการแสดงออกเท่ากับต้น WT แม้ว่าต้น WT ไม่มียีน *pap1* ส่วนยีน *ANS* ไม่พบการแสดงออกทั้งในต้น

WT และ TR อาจเนื่องจากยีน *pap1* ไม่สามารถส่งเสริมการแสดงออกของยีน โครงสร้างในข้าวได้ถึงแม้ว่าอยู่ในสภาวะเครียดจากการเพิ่มขึ้นของน้ำตาลซูโครัส

ผลของฟอสฟอรัส

การเพาะเลี้ยงต้นอ่อนของข้าวบนอาหารที่มีระดับความเข้มข้นของฟอสฟอรัสต่าง ๆ พบว่า ทั้งต้น WT และ TR ไม่เกิดการสังเคราะห์เอนไซม์ยานิน การตรวจสอบการแสดงออกของยีน *pap1* ที่เป็นยีนควบคุมการสร้างเอนไซม์ยานินรวมถึงยีน โครงสร้างอื่น ๆ ที่เกี่ยวข้องกับการสร้างเอนไซม์ยานิน ยีน โครงสร้างที่ทำการตรวจสอบมีดังนี้คือ *CHS*, *CHI*, *DFR* และ *ANS* พบว่า ต้นข้าว TR มีการแสดงออกของยีน *pap1* ส่วนการแสดงออกของยีน โครงสร้างต่างๆ ในต้น TR มีการแสดงออกเท่ากันกับต้นข้าว WT ยกเว้น ยีน *ANS* ที่ไม่มีการแสดงออกทั้งต้น WT และ TR คาดว่า ยีน *pap1* ในสภาวะขาดฟอสฟอรัสไม่สามารถส่งเสริมการแสดงออกของยีน โครงสร้างในข้าวได้ทำให้ต้นข้าวไม่เกิดการสังเคราะห์เอนไซม์ยานิน

เอกสารอ้างอิง

สินิค ไรซ์. ม. ป. ป. ข่าวสินิล. [ระบบออนไลน์]. แหล่งที่มา :

http://www.sininrice.com/insight_sinin.html (25 มกราคม 2554)

สุทธิพิร พิริพานิช. 2549. ประวัติยาสูบ. [ระบบออนไลน์]. แหล่งที่มา :

<http://kanchanapisek.or.th/kp6/BOOK15/chapter3/t15-3-11.htm>.

(23 ธันวาคม 2553)

ธรรมนูญ สุทธิเมธี. 2550. ประวัติยาสูบ. [ระบบออนไลน์]. แหล่งที่มา :

<http://www.ubon.ricethailand.org/document/warapong/gep.htm>.

(23 ธันวาคม 2553)

อุทิศ เกตุหัต. 2542. สารานุกรมไทยสำหรับเยาวชนฯ เล่มที่ 25 ประวัติยาสูบ.

[ระบบออนไลน์]. แหล่งที่มา :

<http://kanchanapisek.or.th/kp6/New/sub/book/book.php?book=15&chap=3&page=chap3.htm>. (23 ธันวาคม 2553)

สารานุกรมไทยสำหรับเยาวชน เล่ม 3. 2556. [ระบบออนไลน์]. แหล่งที่มา :

<http://kanchanapisek.or.th/kp6/BOOK3/chapter1/chap1.htm>. (23 ธันวาคม 2553)

ตัดดาวัลย์ กรรมนุช. ข้าวเหนียวดำ. 2553. [ระบบออนไลน์]. แหล่งที่มา :

<http://www.rakbankerd.com/> preview. (23 ธันวาคม 2553)

สมวงศ์ ตระกูลรุ่ง. ยืนความหอมของข้าวหอมมะลิ. 2546. Lab Today 9, 66-69.

Teltathum, T. Gamma oryzanal quantity in plant product. 2004. **Journal of Agriculture**. 20 (2): 111-119.

Borevitz J. O., Xia Y. Blount J., Dixon R. A. and Lamb C. 2000. Activation Tagging Identifies a Conserved MYB Regulator of Phenylpropanoid Biosynthesis. **The Plant Cell**. 12: 2383–2393.

Geekiyangage S., Takase T., Ogura Y. and Kiyosue T. 2007. Anthocyanin production by over-expression of grape transcription factor gene VlmybA2 in transgenic tobacco and Arabidopsis. **Plant Biotech Rep**. 1:11–18

Kim B. G., Kim J. H., Min S. Y., Shin K., Kim J. H., Kim H. Y., Ryu S. N. and Ahn J. 2007. Anthocyanin Content in Rice Is Related to Expression Levels of Anthocyanin Biosynthetic Genes. **Journal of Plant Biology**. 50(2) : 156-160

- Kwon Y., J.H. Oh, H.Noh, S. W. Hong, S.H. Bhoo and H. Lee. 2011. The ethylene signaling pathway has a negative impact on sucrose-induced anthocyanin accumulation in *Arabidopsis*. **J Plant Res** 124: 193–200.
- Lea U.S., R.Slimestad, P. Smedvig and C. Lillo. 2007. Nitrogen deficiency enhances expression of specific MYB and bHLH transcription factors and accumulation of end products in the flavonoid pathway . **Planta** 225: 1245–1253.
- Teng. S, J. Keurentjes, L. Bentsink, M. Koornneef and S. Smeekens. 2005 Sucrose-Specific Induction of Anthocyanin Biosynthesis in *Arabidopsis* Requires the MYB75/PAP1 Gene. **Plant Physiology** 139:1840–1852.
- Toki S. 1997. Rapid and Efficient Agrobacterium-Mediated Transformation in Rice. **Plant Molecular Biology Reporter**.15 (1): 16 – 21.
- Xie, D.Y., S.B. Shashi, e. Wright, Z.Y. Wang and R.A.Dixon. 2006. Metabolic engineering of proanthocyanidins through co-expression of anthocyanidin reductase and the PAP1 MYB transcription factor. **The Plant Journal** 45: 895-907.
- Yin.Y,G. Borges, M. Sakuta, A. Crozie, H. Ashihara. 2012. Effect of phosphate deficiency on the content and biosynthesis of anthocyanins and the expression of related genes in suspension- cultured grape (*Vitis sp.*) cells. **Plant Physiology and Biochemistry** 55:77-84.
- Zhang W., Ning G., Lv H., Liao. And Bao M. 2009. Single MYB – type transcription factor AtCAPRICE: A new efficiirnt tool to engineer the production of anthocyanin in tobacco. **Biochemical and Biophysical Research**. 742 – 747.
- Zhou L., Zeng H., Shi M. and Xie D. 2008. Development of tobacco callus cultures over expressing *Arabidopsis* PAP1/MYB75 transcription factor and characterization of anthocyanin biosynthesis. **Planta**. 229: 37–51.
- Zuluaga D. L., Gonzali S., Loreti G. S., Pucciariello C., Innocentic E. D., Guidic L., Alpi A. and Perata P. 2008. *Arabidopsis thaliana* MYB75/PAP1 transcription factor induces anthocyanin production in transgenic tomato plants. **Functional Plant Biology**. 35: 606 – 618.